

Optičko mjerjenje geometrije elastično deformabilnih proizvoda

Lukačić, Luka

Master's thesis / Diplomski rad

2020

Degree Grantor / Ustanova koja je dodijelila akademski / stručni stupanj: **University North / Sveučilište Sjever**

Permanent link / Trajna poveznica: <https://urn.nsk.hr/um:nbn:hr:122:769576>

Rights / Prava: [In copyright/Zaštićeno autorskim pravom.](#)

Download date / Datum preuzimanja: **2024-08-05**



Repository / Repozitorij:

[University North Digital Repository](#)



SVEUČILIŠTE SJEVER
SVEUČILIŠNI CENTAR VARAŽDIN
Studij STROJARSTVO



DIPLOMSKI RAD br. 020/STR/2020

**OPTIČKO MJERENJE GEOMETRIJE ELASTIČNO
DEFORMABILNIH PROIZVODA**

Student:
Luka Lukačić, 0035194308

Mentor:
dr. sc. Tomislav Veliki

Varaždin, rujan 2020.

Predgovor

Ovaj diplomski rad rezultat je mog trogodišnjeg iskustva u optičkom mjeriteljstvu. U svakoj grani strojarstva, student koji se prvi put susreće s određenom problematikom kreće od osnova. Moj put u optičko mjeriteljstvo započeo je stručnom praksom u tvrtci Topomatika gdje sam nakon uspješno završene stručne prakse pisao završni rad pod nazivom „Postupak mjerjenja odljevka manualnim i automatiziranim 3D optičkim sustavima ATOS“. Nakon uspješne obrane završnog rada, zaposlio sam se u Topomatici gdje sam naredne dvije godine skupljaо iskustvo i širio znanje uz nesebičnu pomoć kolega od kojih svakako moram spomenuti direktora Tomislava Hercigonju, dr.sc. Nenada Drvara, Marka Horvata, Josipa Kosa, Danijela Ivšaca te ostale suradnike.

Zahvaljujem se mentoru dr.sc. Tomislavu Velikom na znanstvenoj i stručnoj potpori tijekom rada te što mi je omogućio izradu ovog rada.

Najveće hvala mojoj djevojci Evi, roditeljima i obitelji na konstantnoj potpori, velikom odricanju te stalnom motiviranju tijekom školovanja i izrade ovog rada.

Prijava diplomskog rada

Definiranje teme diplomskog rada i povjerenstva

ODJEL Odjel za strojarstvo

STUDIJ diplomski sveučilišni studij Strojarstvo

PRIступник Luka Lukačić | **MATIČNI BROJ** 0035194308

DATUM | **KOLEGIJ** Procesna mjerena

NASLOV RADA Optičko mjerjenje geometrije elastično deformabilnih proizvoda

NASLOV RADA NA ENGL. JEZIKU Optical measurement of the geometry of elastically deformable products

MENTOR Doc.dr.sc. Tomislav Veliki | **ZVANJE** dr. sc.

ČLANOVI POVJERENSTVA 1. Doc.dr.sc. Zlatko Botak, predsjednik povjerenstva

2. Doc.dr.sc. Tomislav Veliki, mentor, član

3. Doc.dr.sc. Matija Bušić, član

4. Izv.prof.dr.sc. Sanja Šolić, zamjenska članica

5. _____

Zadatak diplomskog rada

BROJ 020/STR/2020

OPIS

U sklopu diplomskog rada potrebno je obraditi slijedeće teme:

Teoretski uvod u optičko mjeriteljstvo

Opisati optičko pozicioniranje naprave

Mjerjenje deformacije krutih i deformabilnih proizvoda.

Razraditi metodu virtualnog strezanja, te kod deformabilnih proizvoda kompenzirati utjecaj gravitacije

Rezultati mjerena i zaključak.

ZADATAK URUČEN

POTPIS MENTORA

SVEUČILIŠTE
SJEVER

Sažetak

Ovaj rad prikazuje inovativan način mjerjenja relativno krutih i deformabilnih proizvoda. Rad se sastoji od uvida i tri praktična primjera na kojima je prikazana primjena optičkog pozicioniranja, virtualnog sticanja i virtualnog sticanja s kompenzacijom gravitacije.

Na početku rada napravljen je uvod u optičko mjeriteljstvo. Prikazani su osnovni podaci za ATOS 5 optički 3D skener, automatiziranu čeliju ScanBox 5120 i PlusBox koji su korišteni u praktičnom dijelu rada. Navedena su područja primjene rezultata 3D skeniranja kao i osnovni principi rada ATOS 3D skenera.

Prvi praktični dio prikazuje optičko pozicioniranje naprave za 3D skeniranje. Cilj je smanjiti odstupanja stvarne naprave od idealnog CAD modela. Optičko pozicioniranje koristi se za preciznu montažu komponenti u prostoru. Praćenjem pozicije komponente u odnosu na referencu moguće je uživo vidjeti odstupanja u mapi boja kao i odstupanje normala točaka čije odstupanje želimo namjestiti u definiranu tolerancijsku zonu.

Drugi dio praktičnog rada prikazuje mjerjenje proizvoda od čeličnog lima u napravi za 3D skeniranje. Pretpostavka je da na geometriju proizvoda nema značajnog utjecaja temperature ili gravitacije zbog debljine čeličnog lima i geometrije proizvoda. Postupkom virtualnog sticanja odstupanje normale stezne točke, u RPS poravnjanju, simulacijom se dovodi unutar tolerancijske zone stezne točke. Simulacijom je dobivena sila sticanja te je za kontrolu simulacije sila sticanja primjenjena na čelični lim pomoću opružnog dinamometra.

Treći dio praktičnog rada bavi se problematikom mjerjenja deformabilnih proizvoda. Relativno veliki i tanki limovi te polimerni proizvodi prilikom mjerjenja se oslanjaju na napravu za mjerjenje ili kontrolnik. Sila gravitacije uzrokuje deformaciju takvih proizvoda. Virtualnim sticanjem s kompenzacijom gravitacije proizvod se mjeri u slobodnom stanju. Zatim se simulacijom oduzima utjecaj gravitacije. Potom se proizvod translatira u montažnu poziciju te se dodaje utjecaj gravitacije. Na poslijetku se simulacijom odstupanje steznih točaka dovodi u nominalno stanje.

Ključne riječi: 3D skeniranje, ATOS, optičko pozicioniranje, virtualno sticanje, kompenzacija gravitacije, naprava za 3D skeniranje, kontrolnik, mjerjenje deformabilnih proizvoda, simulacija

Abstract

This paper shows innovative way of measuring rigid and deformable products. It consists of introduction and three practical examples. Practical part shows workflow for optical positioning, virtual clamping and virtual clamping with gravity compensation.

Introduction into optical metrology informs reader about basic working principles of ATOS 3D scanner and other measuring systems that were used in practical part of this paper.

First practical part shows optical positioning of fixture used for 3D scanning. The goal of optical positioning is reducing deviation of real fixture compared with CAD data. Optical positioning is used for precise assembly of the parts in space. Tracking position of component in respect to reference, in live view, deviation of the real part in respect to nominal data can be visualised in a color plot. Also, deviation of surface points is shown in real time so position of each component can be adjusted according to nominal data.

Second practical part shows measuring rigid sheet metal part in 3D scanning fixture. Main assumption in this part is that temperature and gravity does not have significant influence on geometrie of the part. Procedure called virtual clamping is used to reduce deviation of clamping point to zero using FEM simulation. Holding points are defined as RPS points of the part. Result of the simulation is deviation of clamping point inside iteration tolerance and clamping force. To verify results of virtual clamping, clamping force was applied on the sheet metal and the part was measured to compare virtually and mechanically clamped part.

Third practical part shows solution from GOM for measuring deformable parts. Relatively large and thin sheet metal parts, as well as plastic parts, are usually measured on fixtures for measuring or gauges. While part is being measured, influence of gravity can cause deformation of the part. Using procedure called virtual clamping with gravity compensation, part is measured in the free state. After measuring in free state, influence of gravity is removed using FEM simulations. Next step is translating the part into RPS alignment and adding influence of gravity in assembly situation. Final step is virtual clamping using predefined clamping points and reducing deviation of clamping points inside iteration tolerance zone.

Keywords: 3D scanning, ATOS, optical positioning, virtual clamping, gravity compensation, fixture, gauge, measuring of deformable parts, FEM simulation

Popis korištenih kratica

3D	Trodimenzionalni prikaz
GOM	Društvo za optičko mjeriteljstvo njem. Gesellschaft für optische messtechnik
ATOS	Napredni topometrički senzor eng. Advanced TOpometric Sensor
CMM	Koordinatni mjerni uređaj engl. Coordinate measuring machine
CAD	dizajn potpomognut računalom engl. Computer Aided Design
GD&T	Tolerancija oblika i položaja engl. Geometric Dimensioning and Tolerancing
RPS	Sustav referentnih točaka engl. Reference Point System
PMI	Informacije o procesu proizvodnje integrirane u CAD model engl. Process Manufacturing Information
MSA	Analiza greške mjernog sustava i mjeritelja engl. Measurement System Analysis

Sadržaj

1.	Uvod u optičko mjeriteljstvo	1
1.1.	Bezkontaktna mjerna metoda	1
1.2.	ATOS optički 3D skener	4
1.2.1.	<i>3D skener ATOS 5</i>	5
1.2.2.	<i>Tritop CMM</i>	6
1.2.3.	<i>ATOS ScanBox mjerna čelija</i>	7
2.	Optičko pozicioniranje naprave	8
2.1.	Naprava za 3D skeniranje lima	9
2.2.	Priprema dijelova naprave za optičko pozicioniranje	11
2.3.	Praktični dio	12
2.3.1.	<i>Pozicioniranje pravokutne baze</i>	12
2.3.2.	<i>Pozicioniranje stupova naprave</i>	14
2.3.3.	<i>Pozicioniranje pokrova profila</i>	14
2.3.4.	<i>Pozicioniranje magnetnih sfera</i>	15
2.3.5.	<i>Rezultat optičkog pozicioniranja</i>	16
3.	Mjerenje geometrije krutih proizvoda	17
3.1.	Virtualno stezanje limenog proizvoda	18
3.1.1.	<i>Mjerenje u napravi za 3D skeniranje</i>	19
3.1.2.	<i>Virtualno stezanje</i>	20
3.1.3.	<i>Kontrola simulacije</i>	21
4.	Mjerenje geometrije deformabilnih proizvoda	23
4.1.	Virtualno stezanje s kompenzacijom gravitacije	23
4.1.1.	<i>Mjerenje u horizontalnom položaju</i>	24
4.1.2.	<i>Oduzimanje utjecaja gravitacije</i>	26
4.1.3.	<i>Translacija u montažno stanje i dodavanje utjecaja gravitacije</i>	28
4.1.4.	<i>Virtualno stezanje u montažnom stanju</i>	29
5.	Zaključak	30

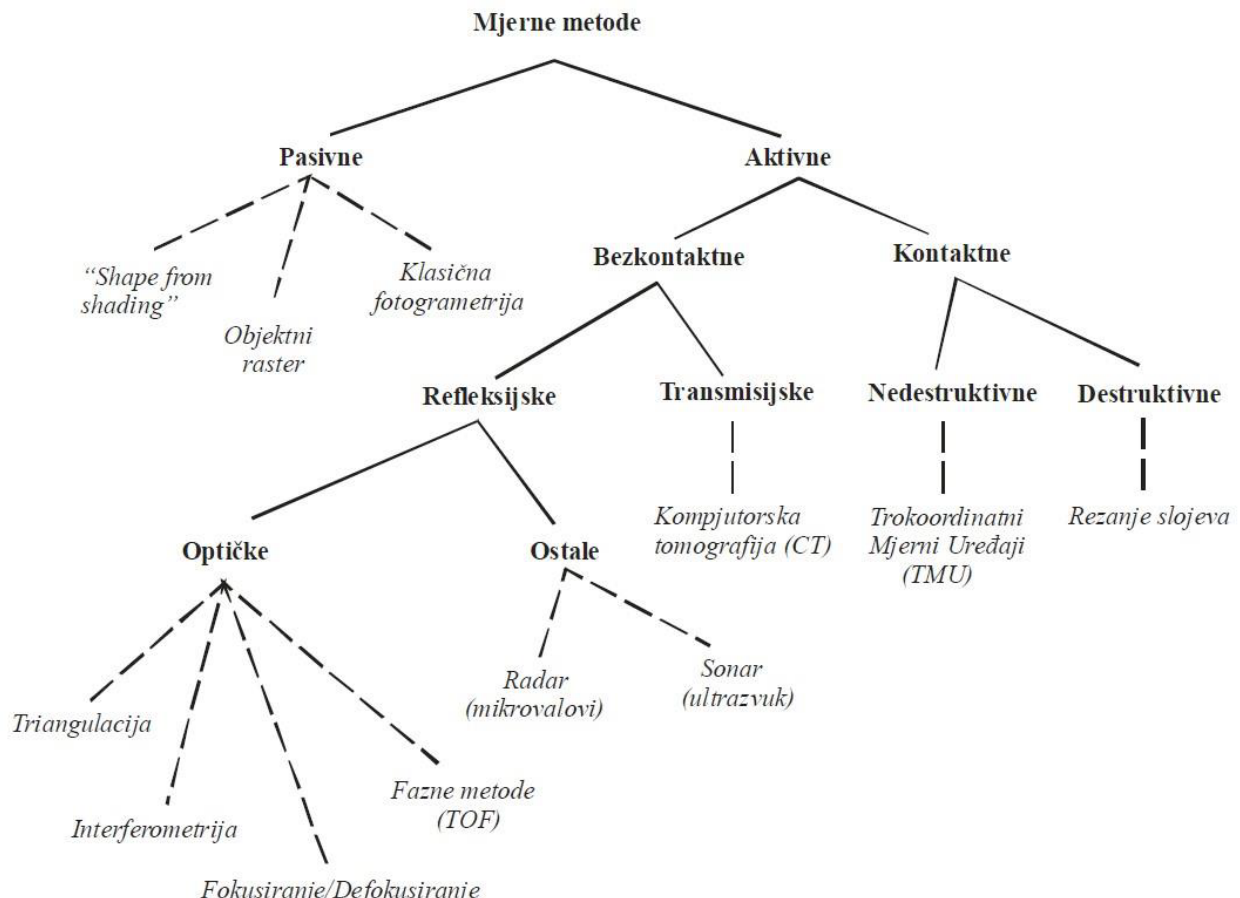
1. Uvod u optičko mjeriteljstvo

Razvoj računalne i digitalne tehnologije omogućio je korištenje principa fotogrametrije u svrhu digitalizacije oplijivih predmeta. Digitalizacija, odnosno 3D skeniranje, je postupak pretvaranja geometrije mjerjenog predmeta u računalni zapis. Računalni zapis dobiven skeniranjem u strojarstvu se koristi za kontrolu kvalitete, reverzno inženjerstvo, brzu izradu prototipa proizvoda, glodanje i izradu alata te digitalno modeliranje i montažu.

1.1. Bezkontaktna mjerna metoda

Mjerne metode moguće je podjeliti na aktivne i pasivne (Slika 1-1). Aktivne mjerne metode moguće je podjeliti na kontaktne i bezkontaktne. Kod kontaktnih metoda dolazi do kontakta mernog alata i predmeta mjerena. Npr. kod trokoordinatnih mernih uređaja dolazi do kontakta mernog ticala s površinom mernog predmeta.

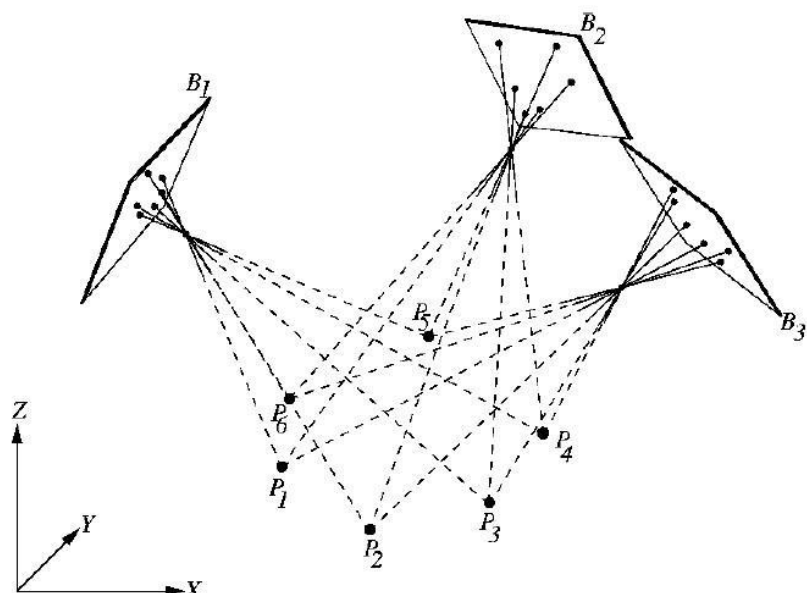
Kod bezkontaktnih metoda nema fizičkog kontakta između mernog alata i predmeta mjerena. Informacije o položajima i pomacima točaka dobivaju se snimanjem pomoću kamere koristeći se pritom specifičnim oznakama na površini mjerjenog predmeta.



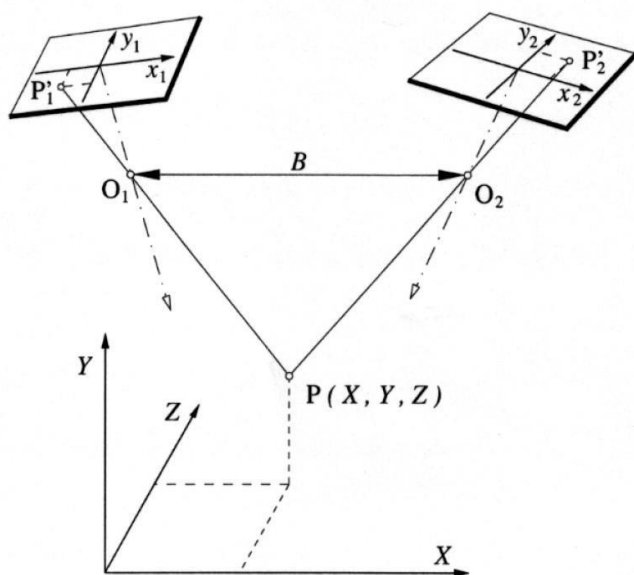
Slika 1-1 Podjela mernih metoda s obzirom na način definiranja mjerne točke [1]

Rad optičkog skenera temeljen je na principima fotogrametrije koji su poznati još od kraja 19. stoljeća. Optičko mjeriteljstvo je u industriji bilo u drugom planu sve do devedesetih godina 20. stoljeća. Razvojem digitalne fotografije i sve snažnijih računala koja vrše kompleksne kalkulacije, optičko mjerjenje je postalo izvedivo kako hardverski tako i softverski. ATOS optički 3D skener iz GOM-a koji je korišten u praktičnom djelu ovog rada definira mjernu točku metodom triangulacije.

Položaj točke u prostoru moguće je odrediti triangulacijom više snopova zraka (Slika 1-2). Ukoliko je poznata orientacija svakog snopa zraka u koordinatnom sustavu objekta, koordinata objekta može se izračunati presijecanjem dviju zraka u prostoru. Model triangulacije točke pomoću dvije kamere prikazan je na slici 1-3.

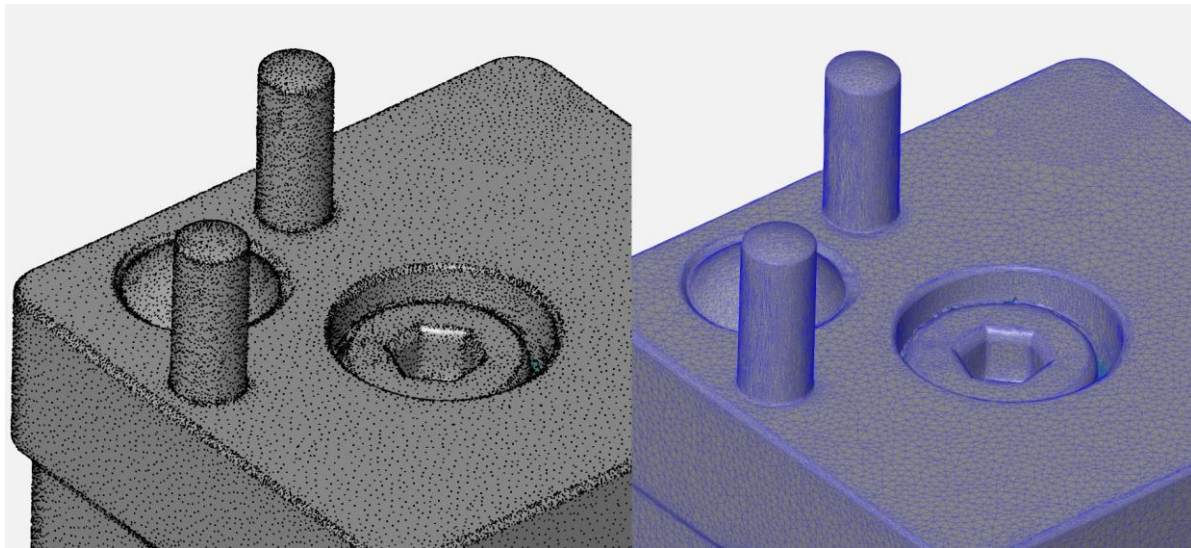


Slika 1-2 Određivanje točke P_i triangulacijom snopova zraka iz različitih pogleda B_i [1]



Slika 1-3 Triangulacija položaja točke P primjenom dvije kamere [1]

Oblak točaka kojima su poznate koordinate X, Y i Z spajaju se u poligone, odnosno trokute minimalne površine između tri mjerne točke. Na taj način dobiva se poligonizirana mreža objekta s vrlo visokom rezolucijom. Veličina površine trokuta ovise o zakrivljenosti mjerene površine. Površinom veći trokuti se nalaze na ravnoj površini, dok se na zakrivljenoj površini nalaze manji trokuti (Slika 1-4).



Slika 1-4 Prikaz oblaka točaka i poligonizirane mreže trokuta

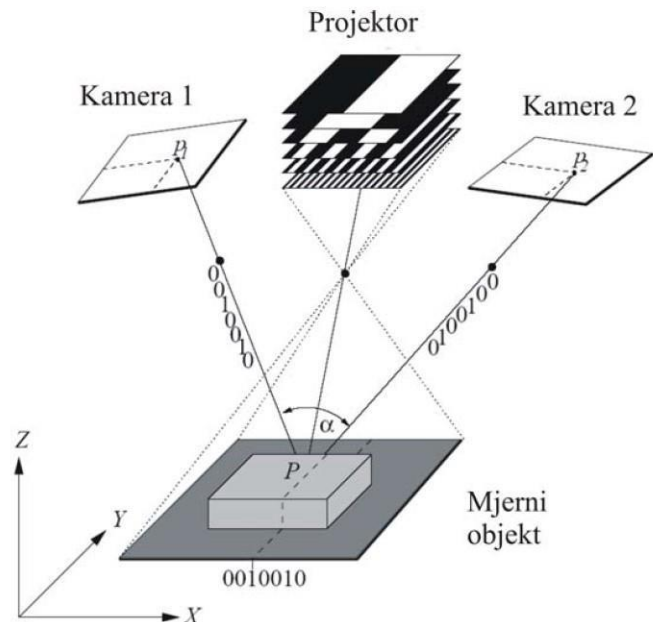
Poligonizirane mreže mogu se sastojati od nekoliko milijuna poligona i na taj način vrlo detaljno opisuju objekt mjerena. Dalnja obrada podataka uvelike ovisi o potrebama i zadacima za analizu i primjenu rezultata mjerena.

3D skeniranje je proces kojim se stvarni objekt preslikava u digitalni oblik. Tehnologija 3D skeniranja ima primjenu u industrijskom dizajnu, reverznom inženjeringu i izradi prototipova, kontroli kvalitete, dokumentaciji kulturnih artefakata, stomatologiji, filmskoj industriji, izradi virtualnog svijeta u računalnim igrama i sl.

3D skener je uređaj koji prema navedenim principima analizira stvarni objekt da bi prikupio informaciju o njegovom obliku. Svjetlost koja se projicira na objekt mjerena se reflektira i detektira pomoću dvije kalibrirane kamere. Kod prozirnih, refleksnih i objekata s efektom ogledala reflektirana svjetlost se od objekta odbija u svim smjerovima ili svjetlost prolazi kroz objekt mjerena te je nije moguće detektirati. U tom slučaju potrebna je priprema površine na način da se nanosi tanak sloj mješavine titanijevog oksida (TiO_3) i etilnog alkohola (C_2H_6O) u propisanoj mjeri. Tanki sloj titanijevog oksida se zadržava na površini objekta, dok alkohol ishlapi. Na taj način moguće je digitalizirati objekte čija površina nije pogodna za optičko mjerjenje.

1.2. ATOS optički 3D skener

Tvrta GOM proizvodi optičku mjernu opremu za analizu geometrije, tolarancije oblika i položaja (ATOS) te pomaka i deformacija (Aramis). 3D skeneri iz GOM-a koriste tehnologiju plavog svjetla iz razloga što je valna duljina plavog svjetla najmanje zastupljena u prirodi. 3D skener ATOS koristi stereo postavu kamera i projektor koji na mjereni objekt projicira paralelne uzorke linija (Slika 1-5). Pomoću dvije kalibrirane kamere snima se svaki pojedini piksel te računalo s visokom točnošću određuje 3D koordinate za svaki od 12 milijuna piksela koji se nalaze u mernom volumenu skenera.



Slika 1-5 Princip rada ATOS projekcijskog skenera [1]

Da bi se mjereni objekt potpuno digitalizirao potrebno je napraviti više pojedinačnih mjerjenja sa različitim strana. Za spajanje skenova koriste se unaprijed postavljene nekodirane referentne točke koje se nalaze na mjerrenom objektu ili na posebno konstruiranoj napravi. Referentne točke postavljaju se u zajednički koordinatni sustav i omogućavaju spajanje skenova. Korištenje referentnih točaka i smještanje istih u zajednički koordinatni sustav eliminira potrebu za korištenje posebnih uređaja za pozicioniranje ili optičkih sustava za praćenje. Sustav također ima ugrađen sistem detekcije pokreta. Ukoliko se skener ili mjereni objekt pomaknu jedan u odnosu na drugi sustav automatski ponavlja mjerjenje.

ATOS sustav ima širok spektar mernih volumena. Tako se u jednom trenutku može mjeriti automobil u mjerilu 1:1, a za samo 15-tak minuta sustav se može prilagoditi za mjerjenje manjih objekata kao što su plastična boca, gipsani model zubala ili kućište nekakvog električnog sklopa. Merna nesigurnost sustava ovisi o veličini objekta.

1.2.1. 3D skener ATOS 5

ATOS 5 (Slika 1-6) dizajniran je za industrijsku uporabu. Brzo i precizno mjeri i pod otežanim uvjetima. 3D mjerenje cijelih površina omogućuju sveobuhvatnu kontrolu proizvodnih procesa i kvalitete proizvoda, vizualizira skrivenе pogreške i time ubrzava proizvodne procese.



Slika 1-6 Optički 3D skener ATOS 5 [2]

Opremljen snažnim izvorom svjetlosti, ATOS 5 daje vrlo precizne podatke za širok spektar ručnih i automatiziranih aplikacija: od alata i kalupa do polimernih proizvoda i metalnih dijelova. Kvaliteta podataka GOM-ovog sustava pogotovo je vidljiva u oštini detalja 3D modela, na primjer, u preciznom prikazu najmanjih detalja, malih radijusa ili oštrih rubova.

Inovativne tehnologije skenera:

- Ekvalizator plavog svjetla
 - Jedinstvena nekoherentna svjetlost bez pojavljivanja "speckle" efekta
- Niska razina šumova
- Precizno skeniranje složenih geometrija
- Visoka razlučivost detalja
- Projekcija vrlo malog uzorka linija po jedinici površine
- Intenzivan LED izvor svjetlosti
- Brza obrada podataka
- Industrijsko povezivanje optičkim kabelima i robusnim priključcima
- Otporan na okolna elektromagnetska polja
- Visoki protok podataka
- Aktivna regulacija temperature [2]

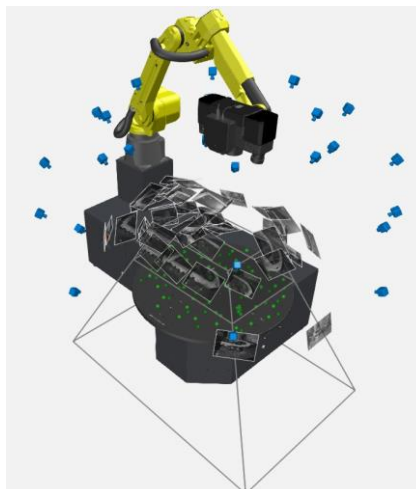
1.2.2. TRITOP CMM

TRITOP je mobilni optički mjerni sustav koji s visokom preciznošću određuje 3D položaj markera i drugih karakterističnih elemenata s površine mjernoga objekta i omogućava brza i efikasna mjerena na licu mjesta. [2]

PlusBox (Slika 1-7) je fotogrametrijski, TRITOP dodatak na skener koji se koristi u automatiziranim ćelijama ScanBox. Za dobivanje 3D koordinata referentnih točaka, adaptera i linija potrebno je fotografirati pripremljen objekt iz više različitih pozicija koje tvore kupolu oko objekta (Slika 1-8). Za određivanje skale objekta koriste se umjerene i certificirane mjerne motke.



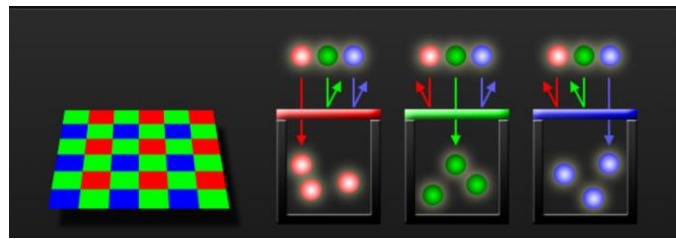
Slika 1-7 PlusBox



Slika 1-8 Prikaz mjernih pozicija za dobivanje slika koje tvore kupolu oko objekta mjerena

Za 3D skeniranje proizvoda koji su više od tri puta veći od mjernog volumena skenera potrebno je koristiti TRITOP kako bi se izbjeglo nagomilavanje greške transformacije svakog pojedinog skena. Kamere ATOS senzora snimaju bezbojne slike dok su TRITOP fotografije u boji. Razlog bezbojnih slika je način tvorenja piksela kod slika u boji.

Velika većina današnjih kamera koristi Bayer filter (Slika 1-9) za snimanje slika u boji. Bayer filter ima oblik matrice gdje je svako polje veličine piksela i propušta jednu od tri boje, crvenu, plavu ili zelenu (RGB). Dobivena slika sastoji se od piksela koji sadrže informaciju o samo jednoj od tri boje. Takva slika se šalje iz senzora prema sustavu za obradu. Zbog najveće osjetljivosti ljudskog oka na zelenu boju, matrica sadrži 50% polja koji propuštaju zelenu boju i po 25% polja koju propuštaju plavu i crvenu boju. [4]



Slika 1-9 Bayer-ov filter

1.2.3. ATOS ScanBox mjerna ćelija

ATOS ScanBox je serija automatiziranih ćelija za serijsko mjerjenje komada različitih dimenzija (Slika 1-10). ATOS ScanBox omogućuje potpuno mjerjenje površina objekata svih dimenzija, lako razumljivu vizualizaciju rezultata, jednostavno pronalaženje problema, potpuno izvještavanje te iznimno velik broj mjernih točaka [2].



Slika 1-10 ATOS ScanBox mjerne ćelije [3]

Svaka merna ćelija sastoji se od nekoliko modula. Kućište u kojem se mjeri, robotska ruka koja premješta skener u zadane pozicije, optički skener te rotacijski stol na kojem se mjeri komadi. Svi moduli su povezani u program ATOS Professional Live VMR. Interakcija među navedenim modulima mjerne ćelije osigurava sigurnost i bezbjedno rukovanje sustavom bez straha od kolizije robota ili skenera.

Prednosti ScanBox mernih ćelija:

- Efektivno smanjenje utjecaja operatera na rezultate mjerjenja
- Statističko praćenje i analiza rezultata
- Ciljana optimizacija u proizvodnim procesima s manje ponavljanja
- Minimalizirana upotreba mernih instrumenata i kontrolnih naprava
- Stalna dostupnost digitaliziranih podataka

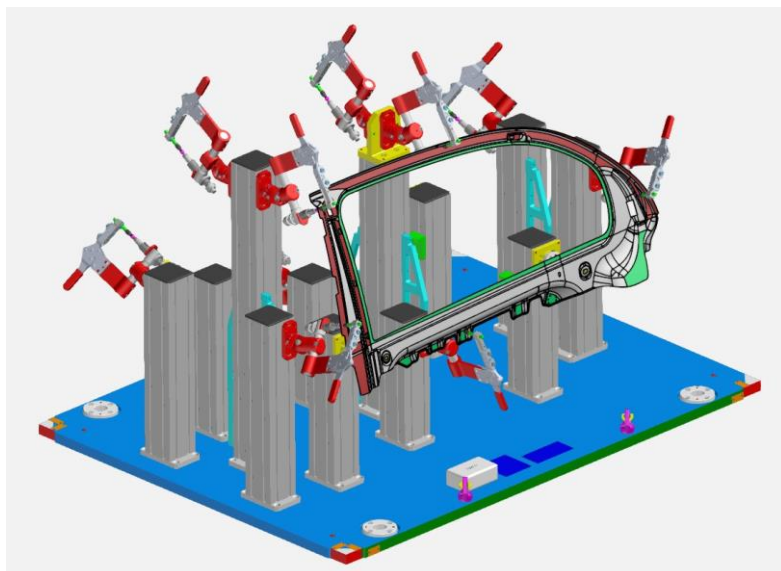
2. Optičko pozicioniranje naprave

Naprava prikazana u ovom dijelu rada koristi se za 3D skeniranje lima. Najvažnija funkcija naprave za 3D skeniranje je eliminacija pomaka komada u napravi prilikom mjerena. Na napravu se postavljaju referentne točke i na taj način se smanjuje vrijeme pripreme proizvoda za 3D skeniranje. Kod izrade naprava za 3D skeniranje vrlo često se koriste standardizirani aluminijski profili i prihvati koji su prilagođeni geometriji proizvoda. Za magnetične komade koriste se prihvati izrađeni od magneta. Za polimerne proizvode sve češće se koriste prihvati izrađeni aditivnim tehnologijama zbog mogućnosti izrade vrlo kompleksne geometrije prihvata u relativno kratkom vremenu.

Kada govorimo o napravama za kontroliranje (engl. Gauge, Slika 2-1), one moraju biti izrađene u točnosti koja ovisi o tolerancijskoj zoni koja se kontrolira. Manja tolerancijska zona kontroliranog proizvoda znači povećanje troškova izrade kontrolnika, posljedično tome povećava se cijena proizvoda i smanjuje konkurentnost. Kada rezultat kontroliranja neke geometrijske značajke dobivamo pomoću kontrolnika to izaziva niz problema i utjecaja na rezultat kontrole.

Nedostaci kontrolnika:

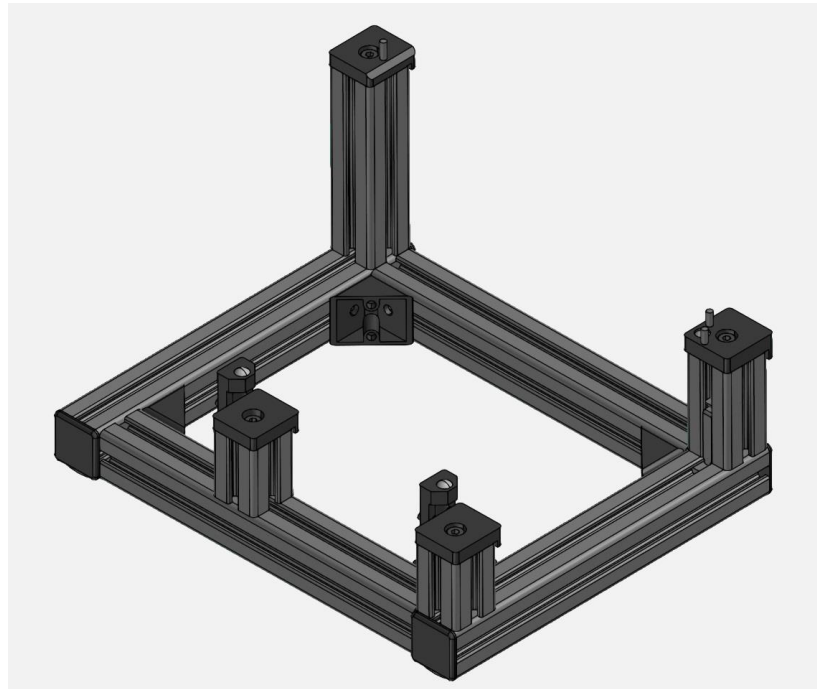
- masivna izvedba za veće proizvode
- kompleksna konstrukcija prilikom većeg broja kontrolnih točki
- umjeravanje i recertifikacija kontrolnika
- promjena CAD modela zahtjeva modifikacije kontrolnika
- skladištenje i cijena



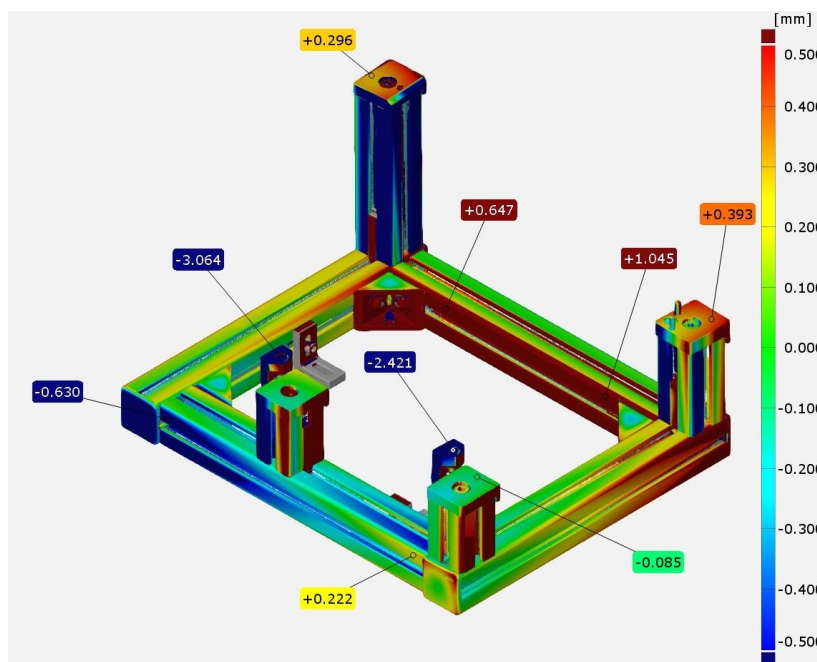
Slika 2-1 Prikaz kontrolnika i dijela karoserije prednjih vrata automobila

2.1. Naprava za 3D skeniranje lima

Cilj optičkog pozicioniranja naprave za 3D skeniranje je smanjenje odstupanja stvarne naprave od idealnog CAD modela (Slika 2-2). Naprava je bila korištena na raznim sajmovima, radionicama i prezentacijama mjerne opreme tvrtke Topomatika d.o.o. Iz tog razloga došlo je do raznih odstupanja naprave u odnosu na nominalno stanje (Slika 2-3).



Slika 2-2 CAD model naprave za 3D skeniranje lima



Slika 2-3 Prikaz odstupanja postojecog stanja u odnosu na CAD model

3D skeneri iz GOM-a imaju mogućnost praćenja točaka u definiranom koordinatnom sustavu. Program ATOS Professional u kombinaciji s ATOS skenerom može uživo pratiti referentne točke. Tijekom praćenja točaka program kontinuirano prati i mjeri pomake nekog predmeta te prikazuje odstupanja u odnosu na definirani koordinatni sustav ili nominalno stanje.

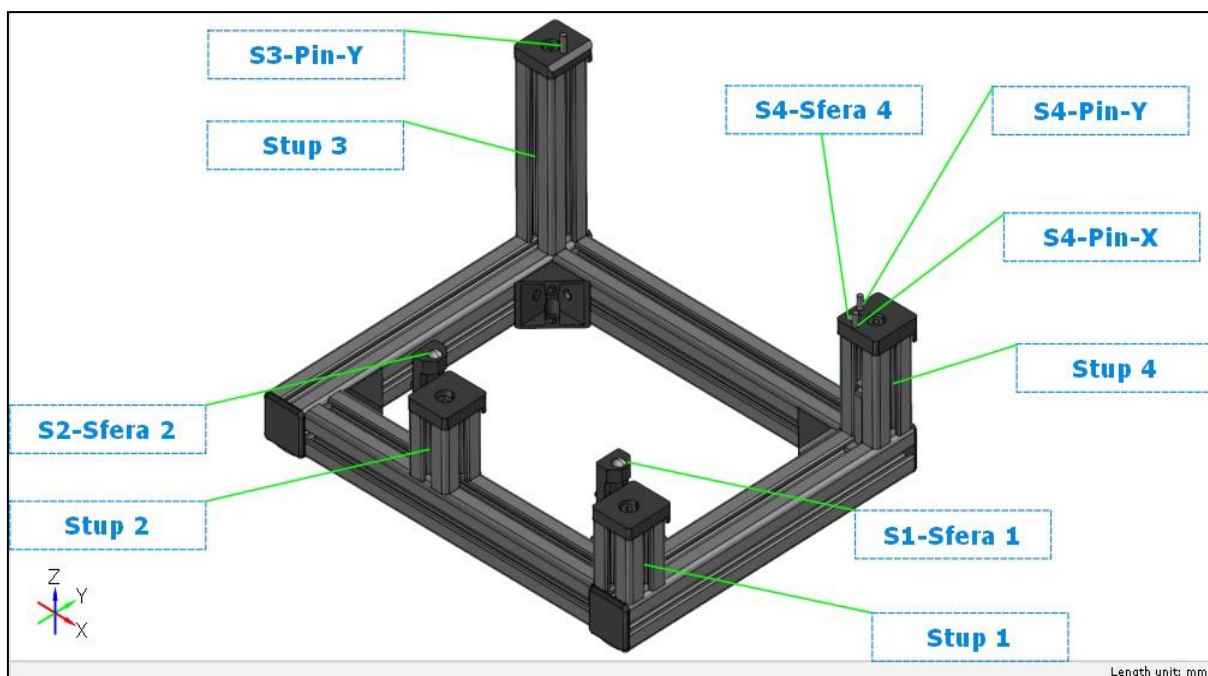
Optičko praćenje koristi se za:

- raspodjelu i preciznu montažu objekata
- prikaz i analizu deformacija
- mjerjenje geometrijskih elemenata pomoću mjernog ticala
- mjerjenje geometrijskih elemenata pomoću adaptera



Slika 2-4 Mjerna ticala i adapteri za optičko praćenje [3]

U ovom dijelu rada naglasak je stavljen na preciznu montažu naprave za 3D skeniranje. Općenito, optičko pozicioniranje koristi se za preciznu montažu proizvoda te pozicioniranje komponenti na radni stol obradnih strojeva.

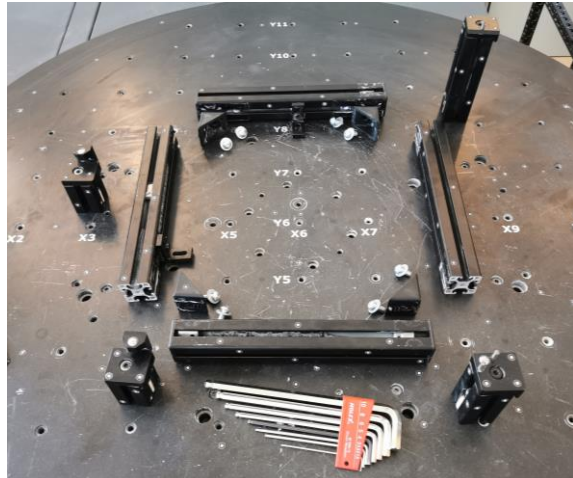


Slika 2-5 Oznake i dijelovi naprave

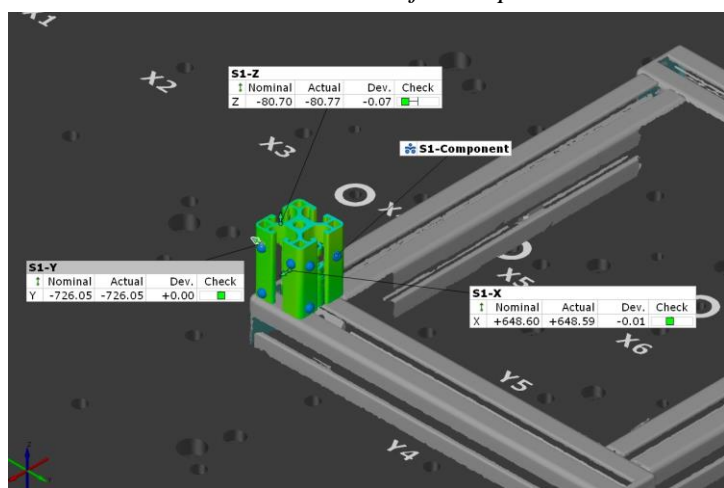
Naprava (Slika 2-5) je sastavljena od aluminijskih profila, magnetnih sfera te pinova. Na pravokutnu bazu montirana su četiri stupa. Tri magnetne sfere spriječavaju pomak lima u smjeru Z osi koordinatnog sustava. S3 i S4-Pin-Y spriječava gibanje lima u Y smjeru osi koordinatnog sustava, dok S4-Pin-X spriječava gibanje lima u X smjeru osi koordinatnog sustava. Na taj način oduzeto je šest stupnjeva slobode gibanja tijela u prostoru te je osigurano mjerjenje bez pomaka komada u napravi.

2.2. Priprema dijelova naprave za optičko pozicioniranje

Naprava je najprije 3D skenirana kako bi se ustanovilo postojeće stanje, odnosno odstupanje u odnosu na CAD model. Nakon toga naprava je rastavljena i na svaki element postavljene su referentne točke čija će se pozicija pratiti prilikom ponovne montaže (Slika 2-6). Svaki od dijelova je zasebno skeniran te je napravljena komponenta preklopljena prema CAD modelu naprave. Nadalje, napravljene su površinske točke na skeniranoj geometriji čije će odstupanje biti prikazano uživo prilikom optičkog pozicioniranja kao i odstupanje u mapi boja (Slika 2-7).



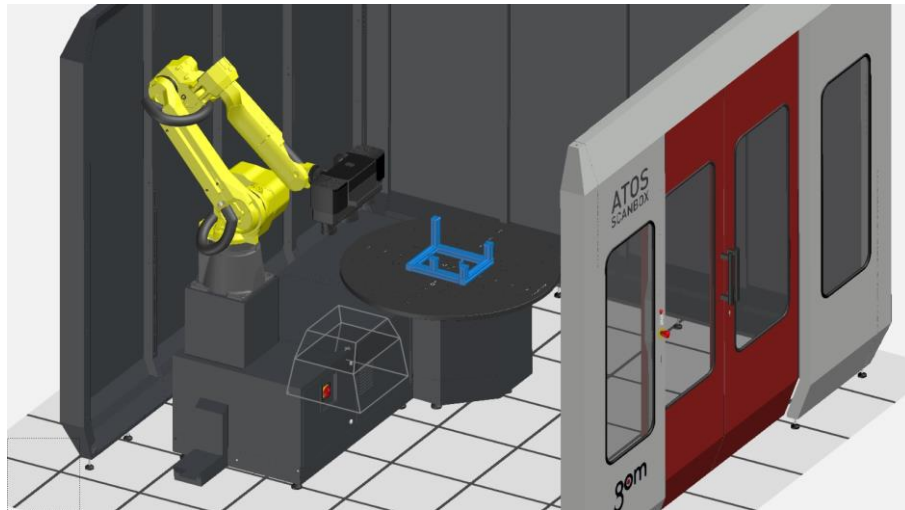
Slika 2-6 Rastavljena naprava



Slika 2-7 Komponenta stupa S1 s pripadajućim kontrolnim površinskim točkama i prikazanim odstupanjem od referente pozicije u mapi boja

2.3. Praktični dio

Za optičko pozicioniranje optimalno je korištenje mjernog volumena koji je nešto veći od objekta koji se prati. Mjerna postava (Slika 2-8) korištena za optičko pozicioniranje je ScanBox 5120 te ATOS 5 skener s mjernim volumenom 500 mm.

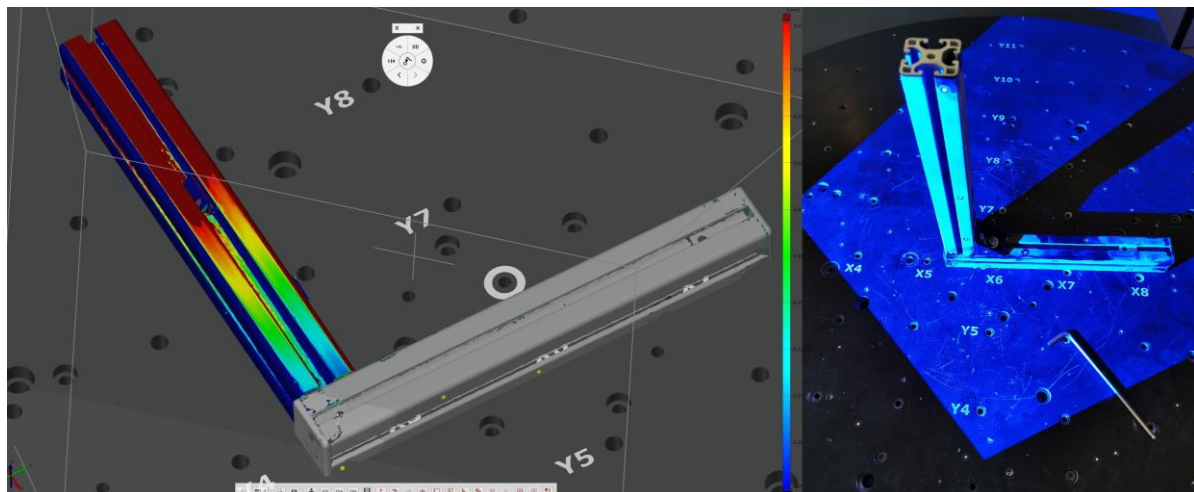


Slika 2-8 Mjerna postava – ScanBox 5120 i ATOS 5 MV500

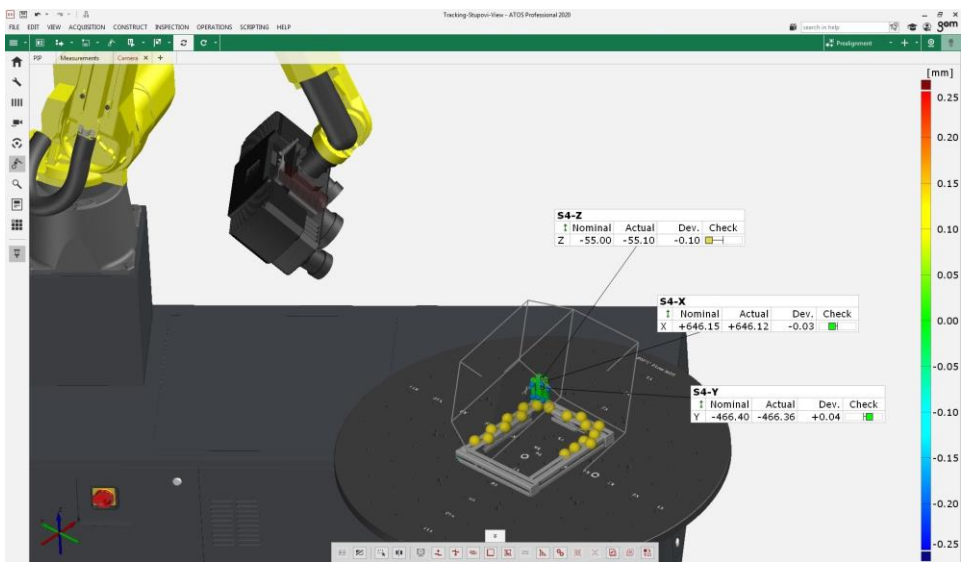
Pozicioniranje naprave napravljeno je u četiri koraka. Najprije je pozicionirana pravokutna baza. Zatim su namješteni stupovi na ispravnu poziciju. Potom su namješteni pokrovi profila na kojima se nalaze sfere i pinovi. Na poslijetku su namještene S1 i S2 sfere. Svaka prethodno namještena komponenta služi kao referenca za pozicioniranje sljedeće.

2.3.1. Pozicioniranje pravokutne baze

Pogled uživo prilikom optičkog pozicioniranja, osim položaja točaka uživo pratiti odstupanja u mapi boja (Slika 2-9). Kada stavimo komad koji želimo pozicionirati u mjerni volumen skenera, uživo se izračunavaju odstupanja točaka (Slika 2-10).

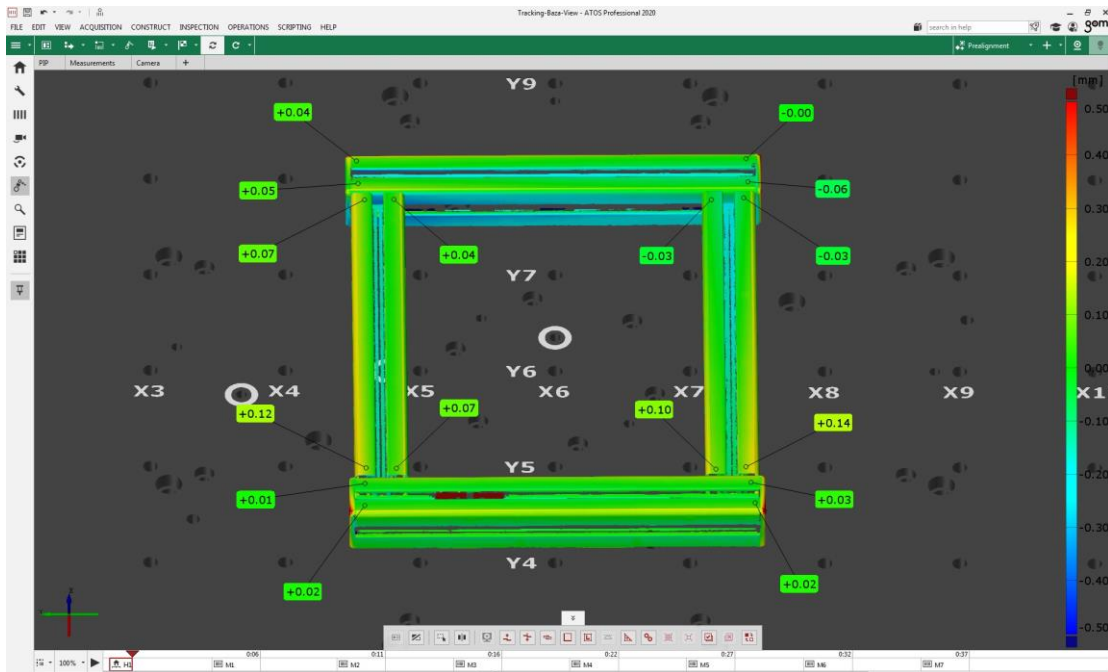


Slika 2-9 Live prikaz odstupanja u mapi boja



Slika 2-10 Prikaz odstupanja površinskih točaka

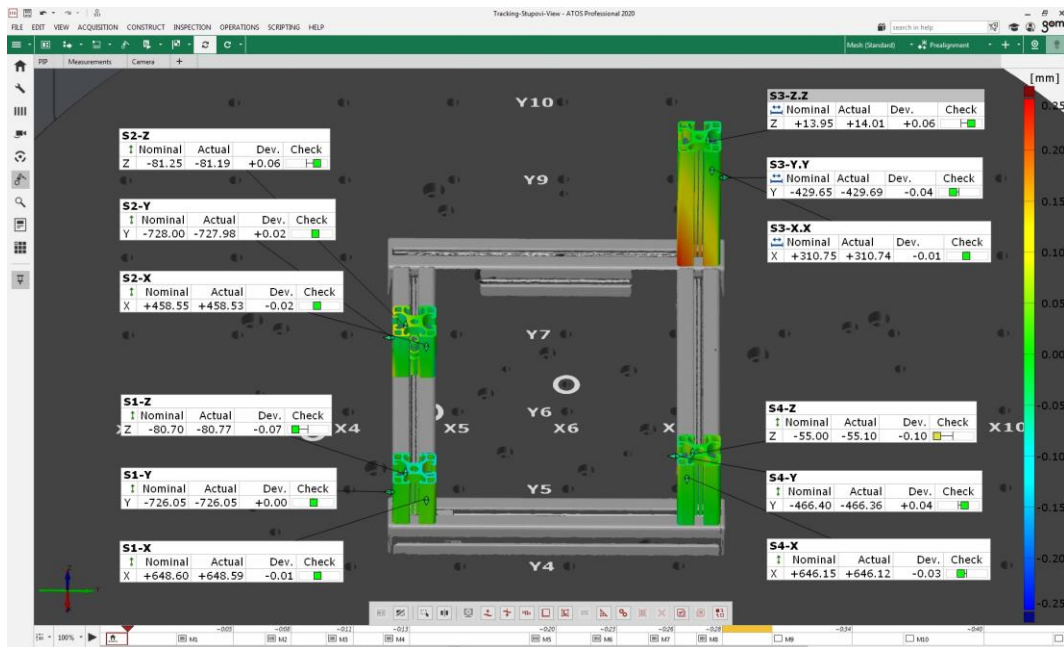
Optičkim pozicioniranjem želimo pozicije određenih točaka što više približiti nominalnom stanju CAD modela. Pomicanjem jedne komponente u odnosu na drugu prikazuju se odstupanja te nam je cilj smanjiti ta odstupanja u određenu toleransijsku zonu. Optimalan rezultat je postignut kada nam se u prikazu uživo pojavi zelena boja. Problem koji se javio prilikom pozicioniranja baze vezan je uz stezanje vijaka kutnika aluminijskih profila. U pogledu uživo pozicija komponente odgovara nominalnom stanju, no nakon stezanja vijaka javlja se pomak koji se desio pod utjecajem momenta stezanja od 3 Nm. Iznos odstupanja dobiven stezanjem zatim je kompenziran na način da je namješteno odstupanje u suprotnom smjeru te je nakon stezanja vijaka odstupanje bilo zadovoljavajuće (Slika 2-11).



Slika 2-11 Rezultat optičkog pozicioniranja baze

2.3.2. Pozicioniranje stupova naprave

Prethodno namještena baza korištena je kao referenca za pozicioniranje stupova. Namještena je tolerancijska zona +/- 0.1 mm na površinske točke. Zelena boja u Check koloni rezultata prikazuje da je vrijednost unutar postavljene tolerancijske zone. Žuta boja označava vrijednost na gornjoj ili donjoj granici tolerancijske zone, dok nam crvena oznaka govori da je točka izvan granica tolerancije (Slika 2-12).



Slika 2-12 Rezultat optičkog pozicioniranja stupova

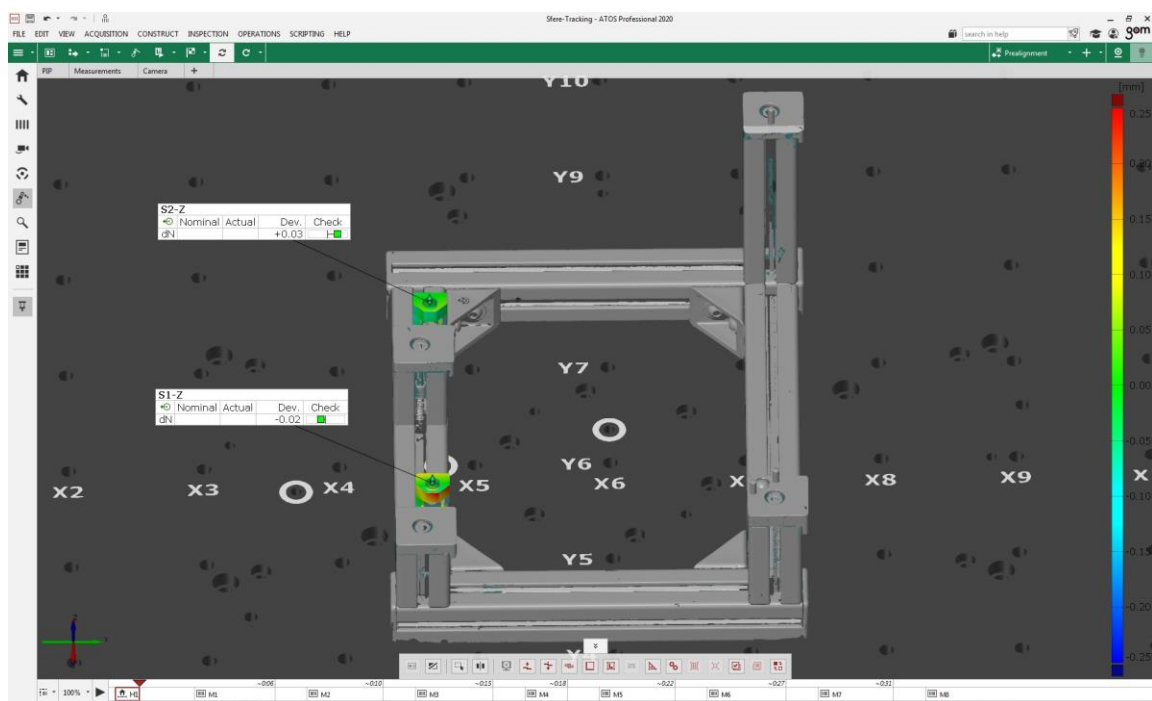
2.3.3. Pozicioniranje pokrova profila



Slika 2-13 Rezultat optičkog pozicioniranja pokrova aluminijskih profila

Slika 2-13 prikazuje rezultate pozicioniranja pokrova aluminijskih profila. Na pokrov 1 i 2 se montiraju preostale dvije sfere. Svaka sfera se montira pomoću dva vijka te je moguća njihova translacija u smjeru Y i Z osi. Iz tog razloga pokrovi 1 i 2 ne moraju biti ispravno podešeni jer možemo regulirati visinu sfera 1 i 2 pomoću montaže na različite visine (vidi sljedeće potpoglavlje). Na pokrovu 3 nalazi se S3-Pin-Y, a na pokrovu 4 se nalazi S4-Sfera, S4-Pin-X i S4-Pin-Y. Svim elementima dodjeljene su tri površinske točke s tolerancijskom zonom +/- 0.05 mm te je prikazano odstupanje od nominalne geometrije u mapi boja.

2.3.4. Pozicioniranje magnetnih sfera

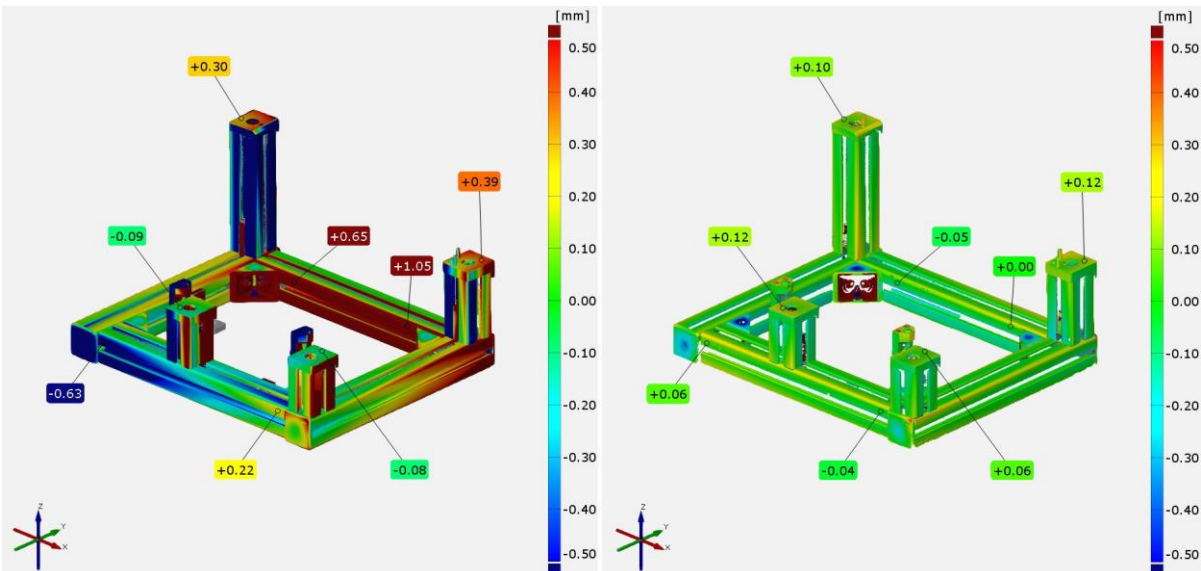


Slika 2-14 Rezultat optičkog pozicioniranja magnetnih sfera

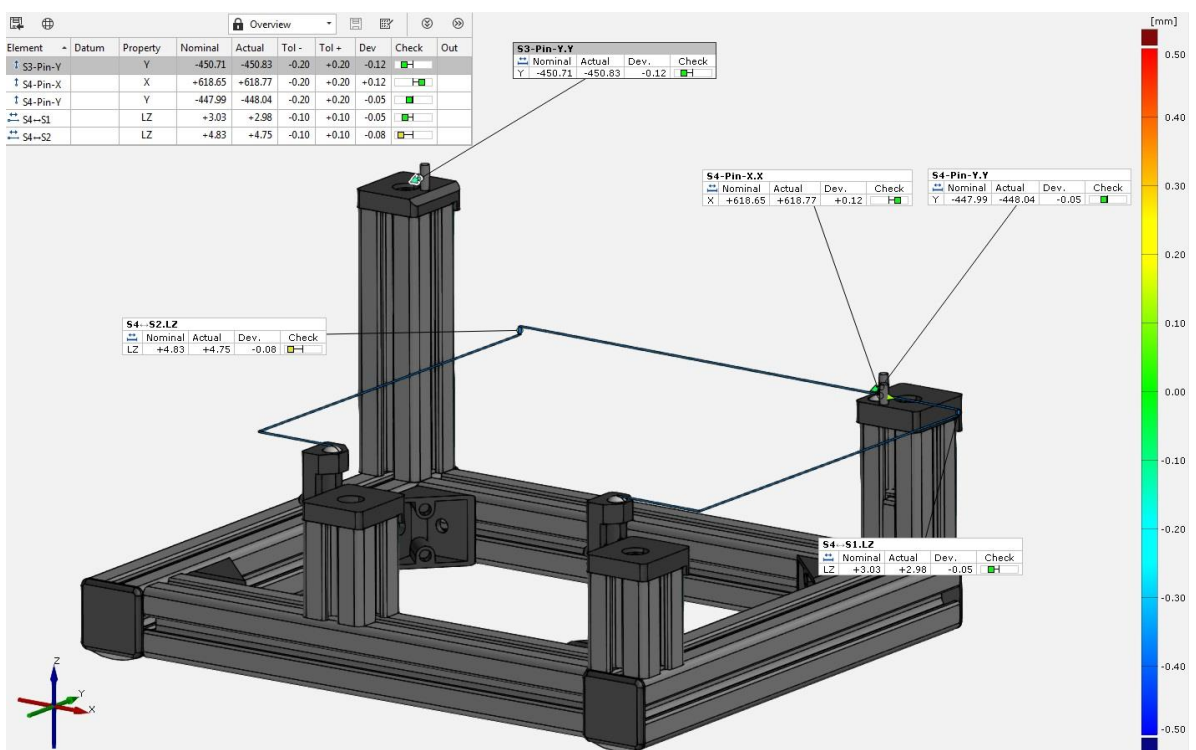
Referenca za pozicioniranje sfera korišten je rezultat prethodnog namještanja pokrova aluminijskih profila. Na slici (2-13) prikazan je rezultat pozicioniranja sfera. Prikazano je odstupanje površinske točke sfera u smjeru normale osi Z koordinatnog sustava. Odstupanje u mapi boja za S1-Sferu prikazuje crvenu boju. Razlog tome je oštećeni dio, no za primjenu ove naprave važnije je odstupanje normale točke jer se na tu točku oslanja lim koji se mjeri u napravi.

2.3.5. Rezultat optičkog pozicioniranja

Rezultat odstupanja skenirane geometrije od CAD modela prikazan je na slici 2-15. Također prikazano je stanje prije i nakon optičkog pozicioniranja. Prikaz u mapi boja vrlo zorno i intuitivno prikazuje rezultate te se iz njih može vidjeti na koji način optičkim pozicioniranjem možemo smanjiti odstupanja stvarne naprave. Slika 2-16 prikazuje odstupanja magnetnih sfera i pinova koji ograničavaju gibanje lima u napravi. Svi ostali rezultati i mjere dostupni su u prilogu ovog rada. Izvještaj je izdan prema predlošku za pdf izvještaje koje koristi Topomatika d.o.o. kao rezultat usluga skeniranja i mjerena.



Slika 2-15 Prikaz odstupanja početnog i korigiranog stanja u mapi boja



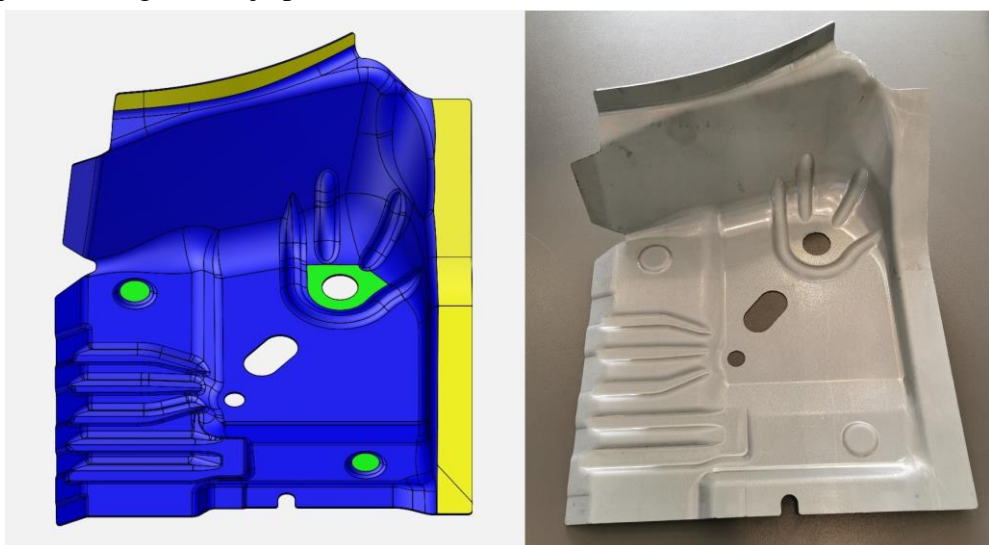
Slika 2-16 Odstupanje magnetnih sfera i pinova nakon optičkog pozicioniranja

3. Mjerenje geometrije krutih proizvoda

Kruto tijelo je idealizirano tijelo nepromjenljiva oblika i volumena. Pod utjecajem vanjskih sila može mu se promijeniti gibanje, ali uzajamni razmak između bilo kojih dviju čestica ostaje nepromjenjen. U stvarnosti kruto tijelo ne postoji, ali su promjene oblika stvarnih tijela često tako male da se mogu zanemariti i stvarno se tijelo može proučavati kao kruto tijelo.[8]

Najznačajniji utjecaj na promjenu oblika tijela prilikom mjerenja ima temperatura i gravitacija. Ukoliko prilikom mjerenja proizvoda održavamo stalnu temperaturu te imamo sustav kalibriran na istoj temperaturi možemo zanemariti utjecaj toplinskog širenja tijela.

U ovom dijelu rada bit će prikazano mjerjenje lima na koji gravitacija ima zanemariv utjecaj zbog debljine lima i geometrije proizvoda (Slika 3-1).



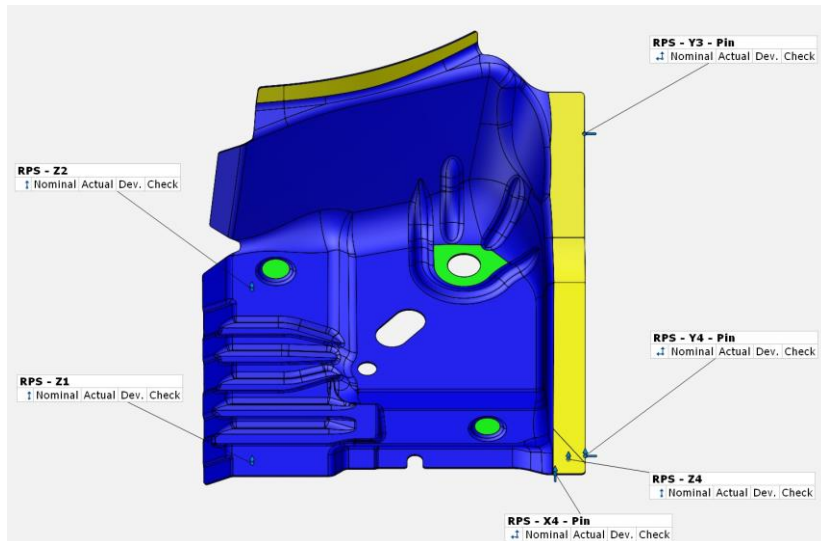
Slika 3-1 CAD model i proizvod od čeličnog lima

U travnju 2019. godine GOM je predstavio inovativan način mjerjenja proizvoda nazvan virtualno stezanje. Virtualno stezanje je postupak kod kojeg se komad mjeri u slobodnom stanju ili u napravi za 3D skeniranje te se nakon toga virtualnim stezanjem (korištenjem FEM simulacija) odstupanje steznih točaka dovodi u nulu. Na taj način se nastoji ukloniti kontrolnike (engl. Gauge) iz kontrole kvalitete finalnih proizvoda zbog njihovih ranije spomenutih nedostataka.

Metoda konačnih elemenata je najraširenija metoda za rješavanje problema u strojarstvu korištenjem matematičkih modela. Tipični problemi koji se rješavaju su modalna analiza, prijenos topline, strujanje fluida, problemi prilikom transporta te elektromagnetski potencijal. Za rješavanje problema koriste se diferencijalne parcijalne jednadžbe. Metoda konačnih elemenata podijeli jedan veliki sistem na puno manje i jednostavnije dijelove koji se zovu konačni elementi. Diskretizacijom CAD modela dobiva se simulacijski model koji ima konačan broj točaka, čvorova ili poligona. Definiranjem rubnih uvjeta dobiva se sistem algebarskih jednadžbi čija se rješenja koriste za analizu rezultata. [5]

3.1. Virtualno stezanje limenog proizvoda

Lim koji će se mjeriti u ovom dijelu rada ima definiran sistem referentnih točaka (RPS) (Slika 3-2). Za individualne djelove i sklopove u automobilskoj industriji definiraju se referentne točke u odnosu na koordinatni sustav CAD modela cijelog vozila. Cilj sistema referentnih točaka je pozicioniranje komponente ili sklopa u prostoru u odnosu na globalni koordinatni sustav. RPS točke trebale bi se koristiti u stabilnim područjima i njihova normala bi morala biti paralelna u odnosu na osi globalnog koordinatnog sustava. RPS točke su baza za kreiranje tolerancijskih tablica, planiranje mjerenja i montažnih postupaka.



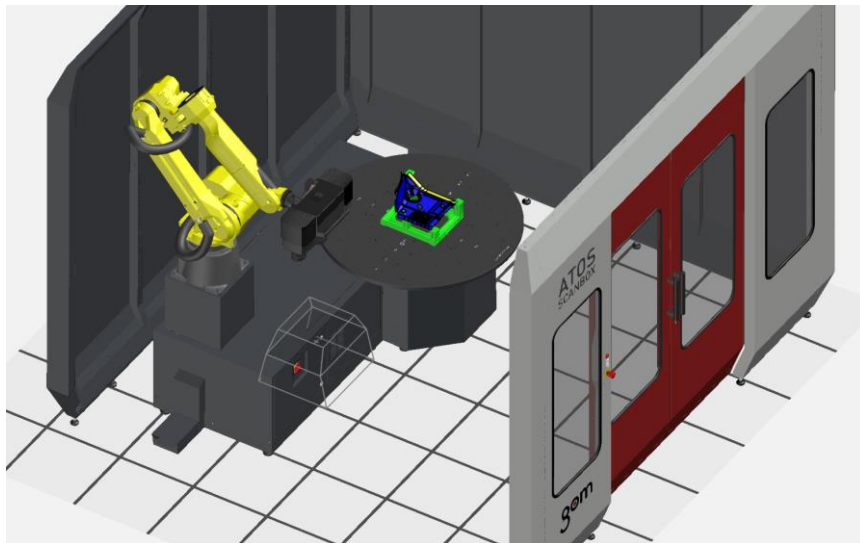
Slika 3-2 RPS točke limenog proizvoda

Postupak virtualnog stezanja je prikazan na slici 3-3. Najprije se lim skenira u napravi za 3D skeniranje ili u slobodnom stanju. Obrada rezultata radi se na osnovu nacrta ili CAD modela (PMI) na kojem su definirane značajke koje se mjeri. Zatim se rezultat tog mjerjenja virtualno steže. Poligonizirana mreža skeniranog proizvoda združuje se sa simulacijskim modelom. Postavljaju se granični uvjeti simulacije te računalo izračunava pomake točaka. Kontrolu rezultata simulacije moguće je napraviti na način da se proizvod mjeri na kontrolniku te se zatim usporede rezultati mjerjenja simulacijom i rezultati mjerjenja na kontrolniku.



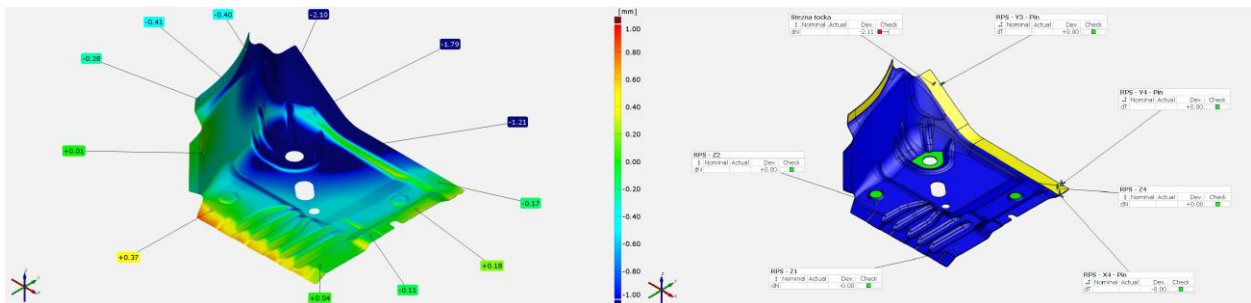
Slika 3-3 Postupak praktičnog dijela rada

3.1.1. Mjerenje u napravi za 3D skeniranje



Slika 3-4 Mjerna postava – ScanBox 5120 i ATOS 5 MV500

Postava mjerenja u napravi za 3D skeniranje prikazana je na slici 3-4. Programiranje pozicija mjerena je napravljeno funkcijom „Smart Teach“ koja automatski određuje optimalne pozicije skeniranja prema prethodno napravljenoj obradi rezultata i značajkama koje se mjeri. Detaljnije informacije o samom procesu skeniranja, izradi programa za automatiziranu čeliju te konstrukciji naprave za 3D skeniranje moguće je pronaći u radovima navedenim u literaturi [9,10].



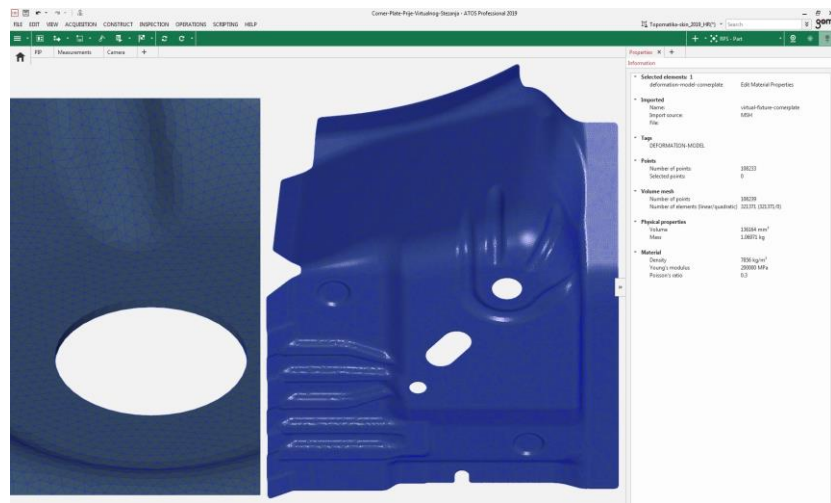
Slika 3-5 Rezultat skeniranja u mapi boja i prikaz odstupanja stezne točke

U RPS poravnjanju program odstupanje odabranih točaka svodi na najmanju moguću mjeru. Usporedba u mapi boja prikazuje odstupanje skenirane geometrije od CAD modela u RPS poravnjanju. Područja bliska sustavu referentnih točaka odstupaju vrlo malo od CAD modela.

Stezna točka je mjesto koje se u kontrolniku treba dovesti u određenu poziciju kako bi se proizvod mjerio u montažnoj poziciji ili kako bi se optimizirao proces proizvodnje (Slika 3-5). Važno je naglasiti da proizvod opterećujemo u elastičnom području dijagrama naprezanja za materijal proizvoda koji kontroliramo. Svi ostali rezultati mjerena u napravi za 3D skeniranje nalaze se u prilogu ovog rada.

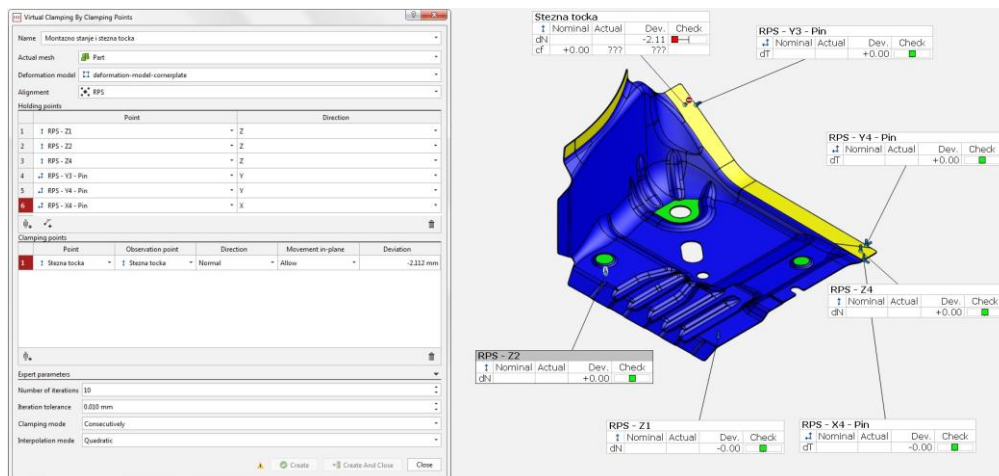
3.1.2. Virtualno stezanje

Preduvjet za virtualno stezanje je rezultat mjerjenja proizvoda u slobodnom stanju ili napravi prikazanoj u prethodnom poglavljiju. Također potreban je simulacijski model proizvoda.



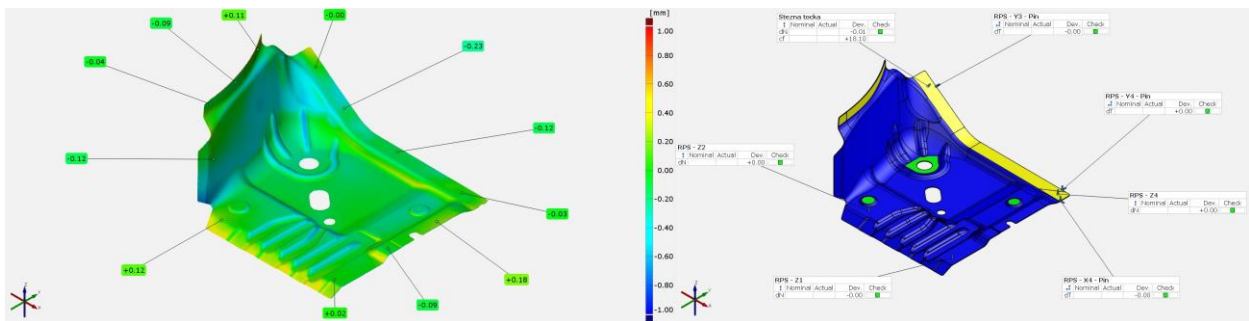
Slika 3-6 Simulacijski model limenog proizvoda

Simulacijski model (Slika 3-6) sadrži diskretizirani CAD model te informacije o broju točaka (108 239), broju elemenata (321 371), fizikalnim svojstvima ($V=136\ 164\ mm^3$, $m=1.06971\ kg$), materijalu (gustoća= $7\ 856\ kg/m^3$, Youngov modul= $200\ GPa$, Poissonov koeficijent= 0.3).



Slika 3-7 Postavke simulacije – RPS točke i odstupanje stezne točke

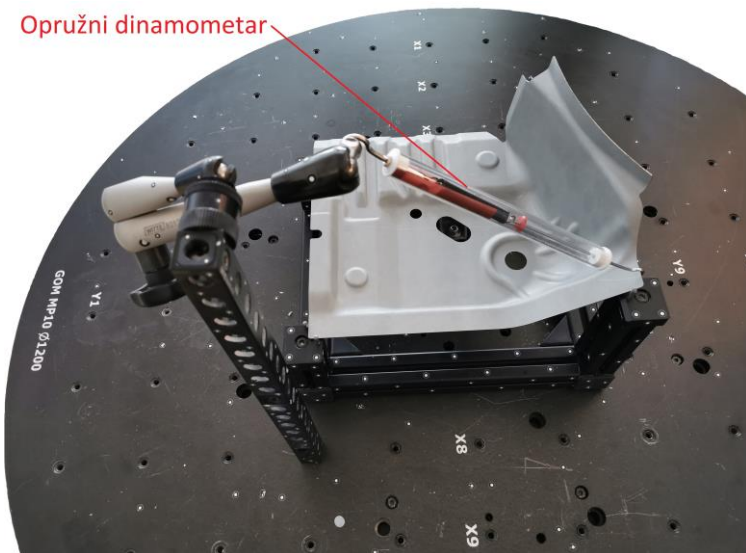
U dijalog funkcije virtualnog stezanja (Slika 3-7) u GOM Inspect programu upisuju se rubni uvjeti simulacije, odabire se rezultat skeniranja, deformacijski model, RPS točke te stezna točka. Kroz određeni broj iteracija, odstupanje stezne točke od -2.11 mm (Slika 3-7) će se smanjivati te će simulacija biti gotova kada odstupanje stezne točke bude manje od definirane iteracijske tolerancije (0.01 mm). U programu je moguće odabrati linearnu ili kvadratnu interpolaciju kao i redoslijed stezanja točaka. U ovom slučaju je jedna stezna točka, no ukoliko bi imali veći broj steznih točaka mogli bismo ih stezati simultano ili prema definiranom redoslijedu u mjernom protokolu.



Slika 3-8 Prikaz rezultata virtualnog stezanja, odstupanja stezne točke i dobivene sile stezanja (cf)

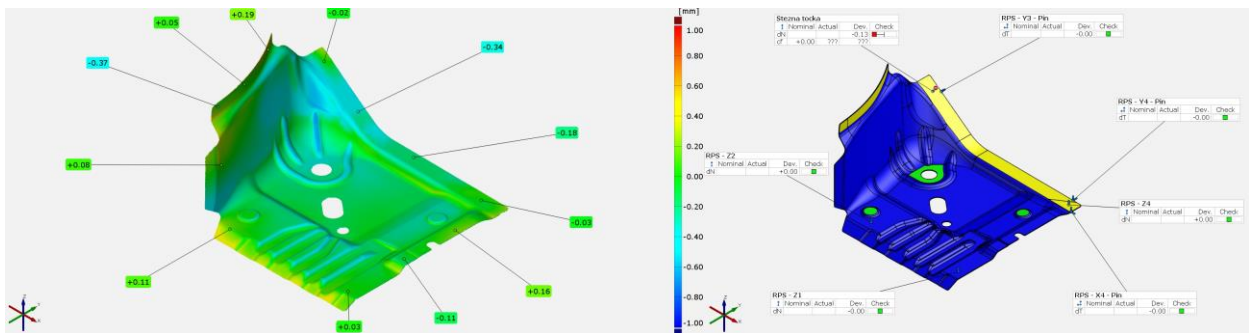
Prilikom kreiranja simulacije, program kopira originalni rezultat skeniranja te ga združuje sa simulacijskim modelom. Deformacijski model simulacijom se deformira prema prethodno namještenim rubnim uvjetima. Rezultat na slici 3-8 prikazuje odstupanja u mapi boja te odstupanje stezne točke nakon simulacije. Opširniji mjerni izvještaj dostupan je u prilogu ovog rada.

3.1.3. Kontrola simulacije



Slika 3-9 Lim opterećen dinamometrom

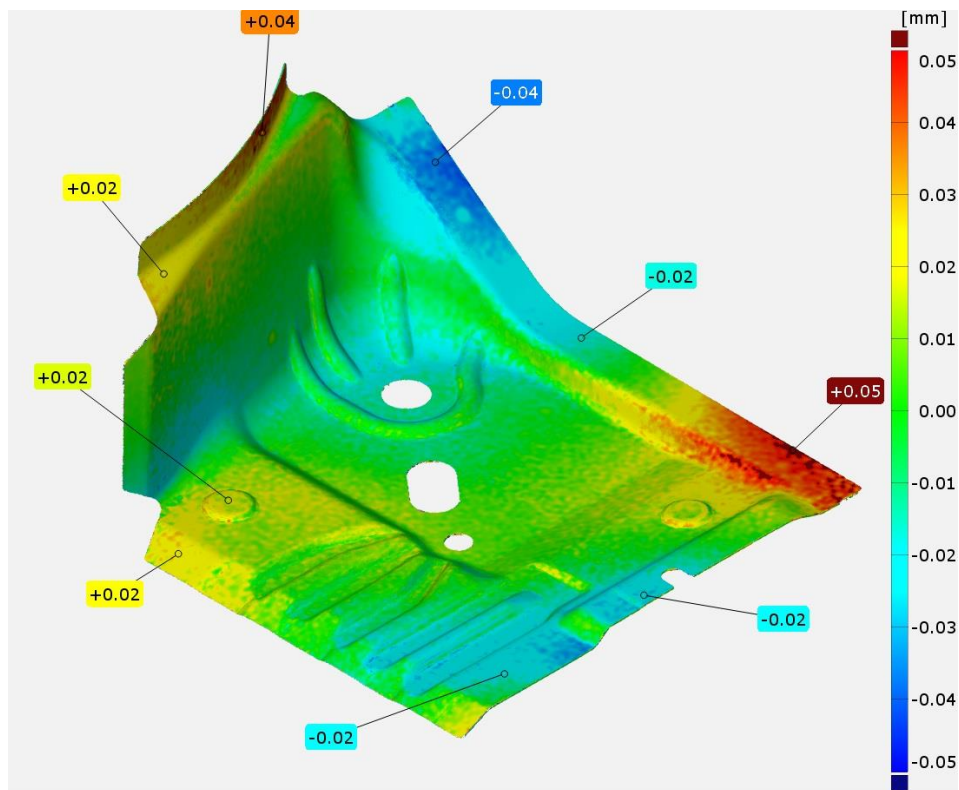
Za kontrolu simulacije idealno bi bilo korištenje kontrolnika sa svim steznim elementima. Zbog nedostupnosti kontrolnika, kontrola simulacije bit će napravljena pomoću dinamometra, aluminijskog stupa te ruke s tri koljenasta zglobova. Ovo nije optimalan način provjere simulacije zbog mogućnosti pomaka komada u odnosu na točke prihvata na napravi. Cilj nam je otkriti postoje li grube greške simulacije. Dinamometrom je lim u napravi za 3D skeniranje opterećen silom stezanja iznosa 18 N. Zatim je pokrenut predložak za mjerjenje lima u napravi za 3D skeniranje iz ranijeg poglavlja. Na ovaj način dobivene rezultate moći ćemo usporediti sa rezultatima virtualnog stezanja. Za detaljniju analizu dobivenih rezultata trebalo bi napraviti analizu mjernog sustava, odnosno greške mjernog sustava i mjeritelja (MSA).



Slika 3-10 Prikaz rezultata mehaničkog stezanja i odstupanja stezne točke

Iznos odstupanja stezne točke virtualnog stezanja i stezne točke prilikom kontrole simulacije se ne poklapaju. Postoji niz razloga zbog čega je došlo do razlike, no najvažniji razlog je skala na dinamometru s podjelom od 0.5 N i nemogućnost preciznog namještanja sile. Opterećenjem pomoću dinamometra odstupanje stezne točke iznosilo je 0.13 mm (Slika 3-10).

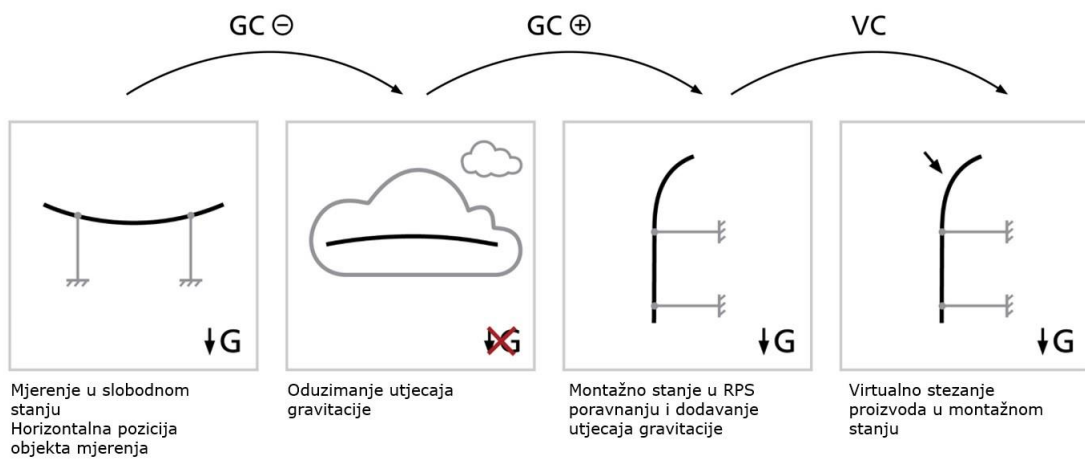
Program GOM Inspect ima mogućnost usporedbe rezultata skeniranja istih proizvoda (Trend analiza). Rezultat dobiven virtualnim stezanjem pretvoren je u CAD model, dok je rezultat mehaničkog stezanja korišten kao stvarni mesh. Ta dva modela preklopljena su pomoću metode najmanjih kvadrata. Na taj način možemo u mapi boja vidjeti odstupanja rezultata virtualnog i mehaničkog stezanja. Postavljanjem skale na +/- 0.05 mm možemo vidjeti razliku mehaničkog stezanja u odnosu na virtualno stezanje (Slika 3-11).



Slika 3-11 Usporedba mehaničkog i virtualnog stezanja u mapi boja

4. Mjerenje geometrije deformabilnih proizvoda

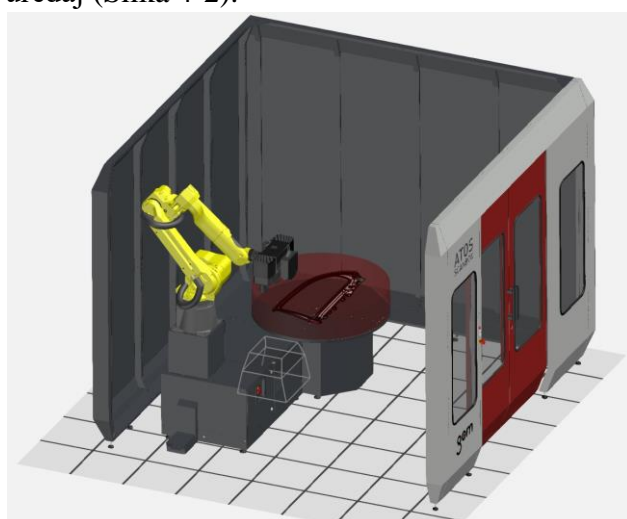
Prilikom mjerjenja relativno velikih (tankih) limova i deformabilnih polimernih proizvoda dolazi do značajnog utjecaja gravitacije na geometriju mјerenog proizvoda. Rješenje iz GOM-a za mjerjenje navedenih proizvoda je virtualno stezanje s kompenzacijom gravitacije. Proizvod se najprije mjeri u slobodnom stanju. Nakon toga simulacijom se oduzima utjecaj gravitacije. Zatim se proizvod translatira u RPS poravnanje te se dodaje utjecaj gravitacije. Na poslijetku se proizvod u montažnom stanju virtualno steže u prethodno definirane stezne točke (Slika 4-1). Na taj način jednim mjerjenjem u horizontalnom stanju simulacijom dolazi se do istih rezultata kao i na kontrolniku.



Slika 4-1 Prikaz postupka virtualnog stezanja s kompenzacijom utjecaja gravitacije

4.1. Virtualno stezanje s kompenzacijom gravitacije

Za virtualno stezanje s kompenzacijom gravitacije korištena je automatizirana čelija ScanBox 5120, senzor ATOS 5 mjernog volumena 500 mm, PlusBox mjernog volumena 1000 mm te univerzalni pneumatski uređaj (Slika 4-2).



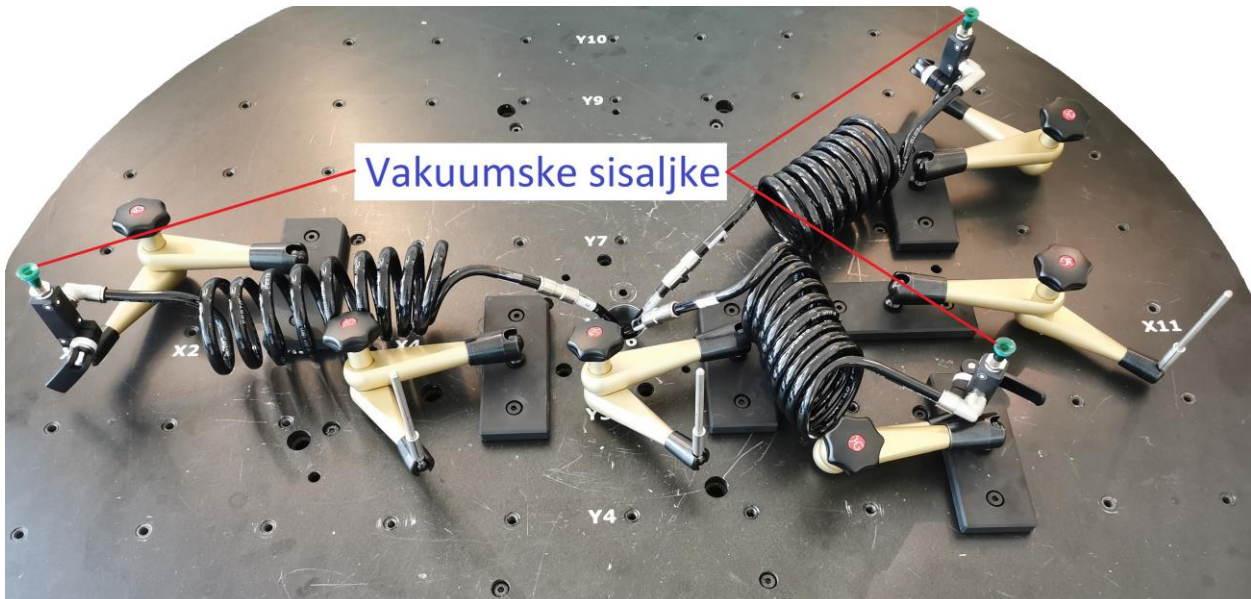
Slika 4-2 Mjerna postava

4.1.1. Mjerenje u horizontalnom položaju

Za mjerenje u horizontalnom stanju korišten je univerzalni pneumatski uređaj. Uređaj se sastoje od dva dijela. Pneumatske stanice (Slika 4-3) te univerzalne naprave za mjerenje komada u horizontalnom stanju (Slika 4-4).

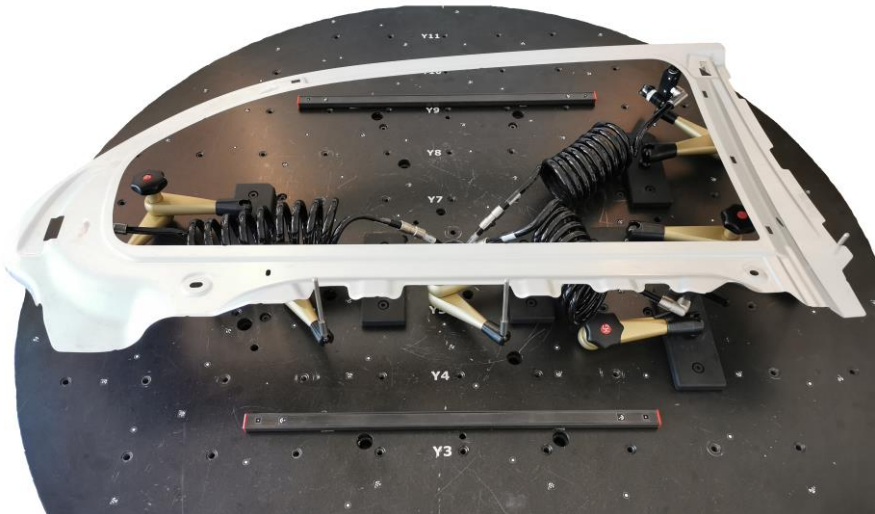


Slika 4-3 Pneumatska stanica



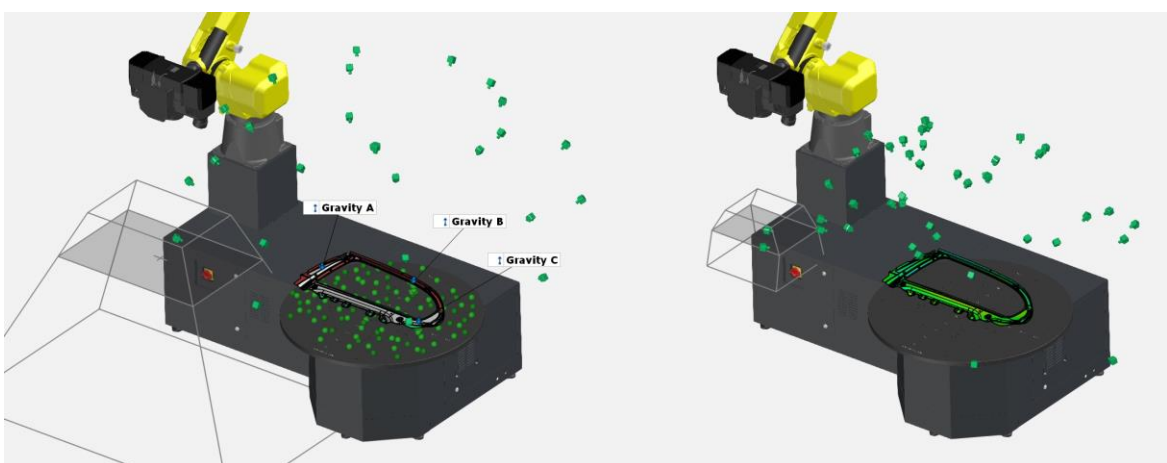
Slika 4-4 Univerzalna naprava za mjerenje proizvoda u horizontalnom položaju

Cijevi pneumatske stanice spojene su na vakuumske sisaljke na kojima se stvara podtlak od -70 KPa. Naprava je prilagodljiva proizvodu koji se mjeri iz razloga što su sisaljke postavljene na ruke s 3 zglobova. Preostale tri ruke sa zglobovima i pinovima omogućavaju ponovljivo pozicioniranje proizvoda na napravu. Sisaljke su pričvršćene na zglob ruke pomoću adaptera na kojem se nalaze referentne točke. U programu GOM Inspect, jedinstven raspored točaka moguće je prepoznati kao adapter smjera pa se na taj način dobiva normala smjera stezanja proizvoda za svaki od tri adaptera.



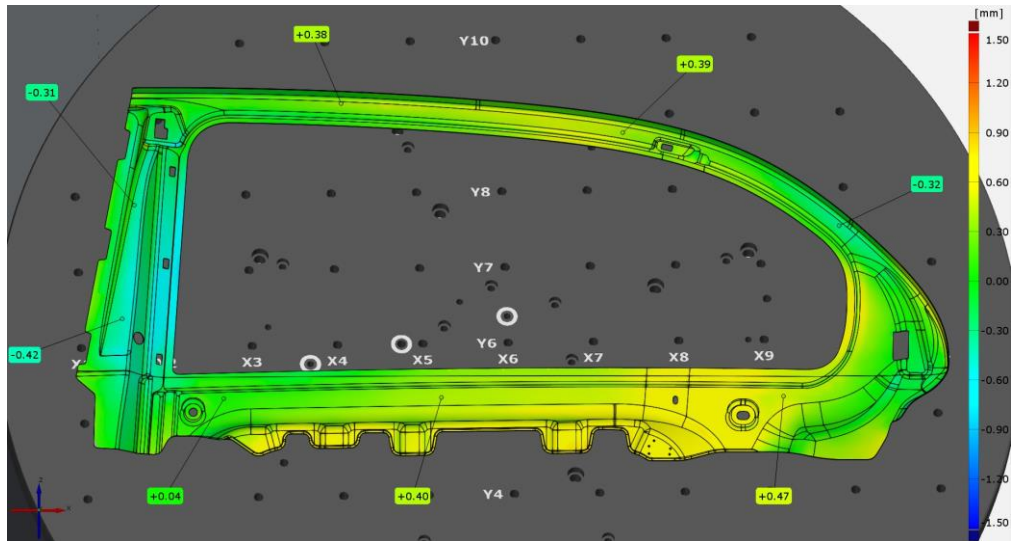
Slika 4-5 Proizvod na univerzalnoj napravi

Limeni okvir vrata 3D skenira se na univerzalnoj napravi u horizontalnom položaju (Slika 4-5). To je jedino mjerjenje, ostali postupci su obrada rezultata i izrada simulacija. Najprije se mjeri fotogrametrija mjerne postave bez proizvoda u napravi. Na taj način dobivaju se referentne točke te smjer normale sisaljki koje se nalaze na rotacijskom stolu mjerne čelije. Ovaj korak potrebno je napraviti jednom, prilikom inicijalnog podešavanja univerzalne naprave za proizvod koji se mjeri. Zatim se proizvod 3D skenira u horizontalnom stanju te se dobiveni rezultat koristi za izradu simulacija (Slika 4-6). Nakon izrade simulacija i obrade rezultata moguće je napraviti mjerni predložak koji će koristiti operateri koji moraju znati staviti proizvod u napravu, upisati serijski broj proizvoda i pokrenuti predložak u ograničenoj verziji programa nazvanoj KIOSK sučelje. Sustav pokreće mjernu seriju čiji je rezultat poligonizirana mreža iz koje će se prema mjernom predlošku rekalkulirati svi elementi koji se mjeru kao i simulacije proizvoda u različitim stanjima i pozicijama. Rezultate mjerjenja moguće je izvesti u različitim oblicima, no najčešće je to pdf izvještaj te csv format za analizu rezultata u Excelu ili nekom drugom programu za statističku analizu podataka.



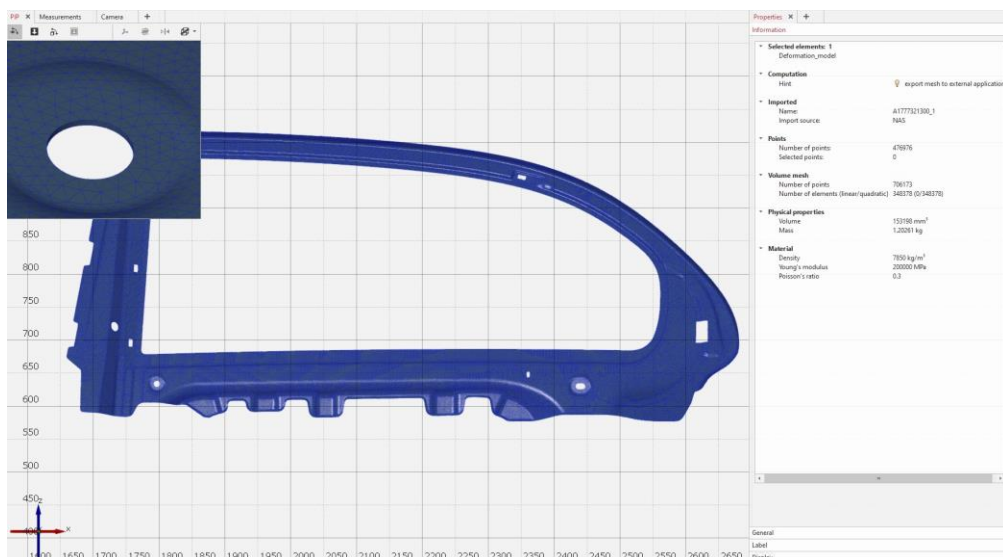
Slika 4-6 Prikaz pozicija i rezultata fotogrametrije i 3D skeniranja

4.1.2. Oduzimanje utjecaja gravitacije



Slika 4-7 Rezultat horizontalnog mjerena

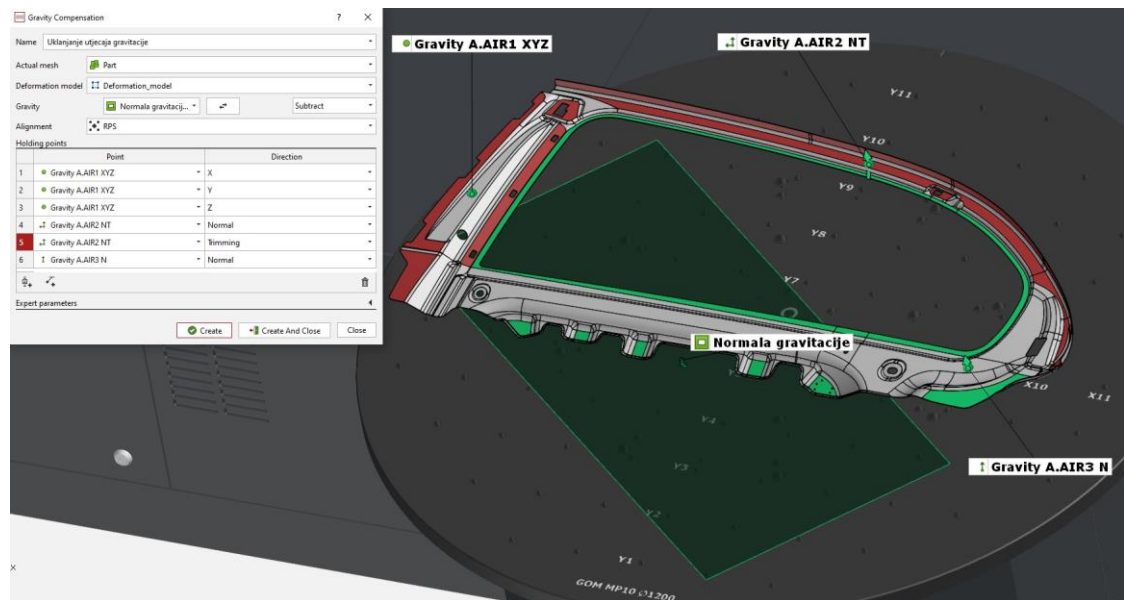
Rezultat horizontalnog mjerena (Slika 4-7) korišten je za simulaciju utjecaja gravitacije na proizvod. Za izradu simulacije potreban je simulacijski model (Slika 4-8).



Slika 4-8 Simulacijski model okvira vrata automobila

Simulacijski model (Slika 4-8) sadrži diskretizirani CAD model te informacije o broju točaka (706 173), broju elemenata (348 378), fizikalnim svojstvima ($V=153\ 198\ mm^3$, $m=1.20261\ kg$), materijalu (gustoća= $7\ 850\ kg/m^3$, Youngov modul=200 GPa, Poissonov koeficijent= 0.3).

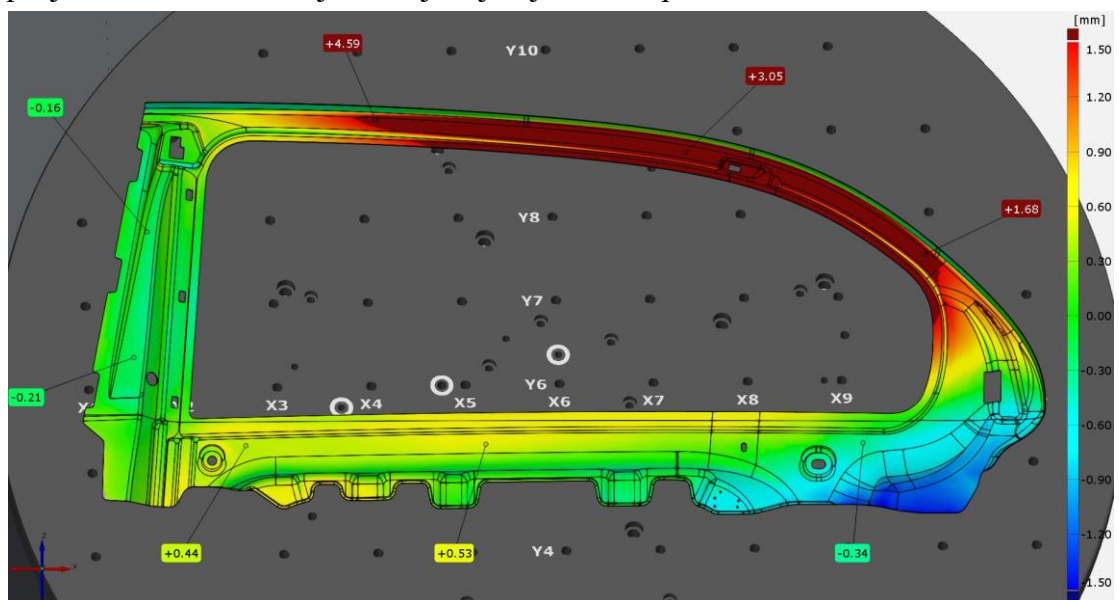
Simulacijski model preklopjen je s rezultatima mjerena u horizontalnom položaju te su ispunjeni svi uvjeti za izradu simulacije utjecaja gravitacije na mjereni proizvod.



Slika 4-9 Postavke simulacije uklanjanja utjecaja gravitacije

U dijalogu postavke simulacije (Slika 4-9) za kompenzaciju gravitacije odabire se rezultat mjerena u horizontalnoj poziciji, simulacijski model, normalna gravitacija (normala rotacijskog stola) te RPS poravnanje proizvoda. Vektori smjera pojedinog adaptera na kojem se nalaze sisaljke odabiru se kao fiksne točke.

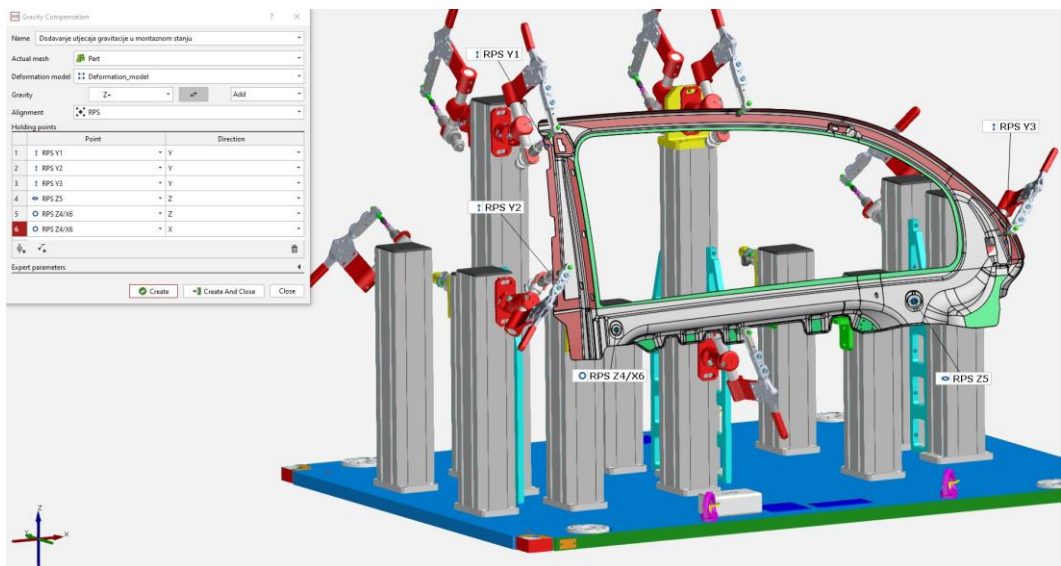
Iz rezultata simulacije uklanjanja utjecaja gravitacije možemo vidjeti kako bi odstupanje proizvoda u odnosu na CAD model izgledalo u bestežinskom stanju (Slika 4-10). Najveće odstupanje iznosi 4.6 mm što je značajn utjecaj na oblik proizvoda.



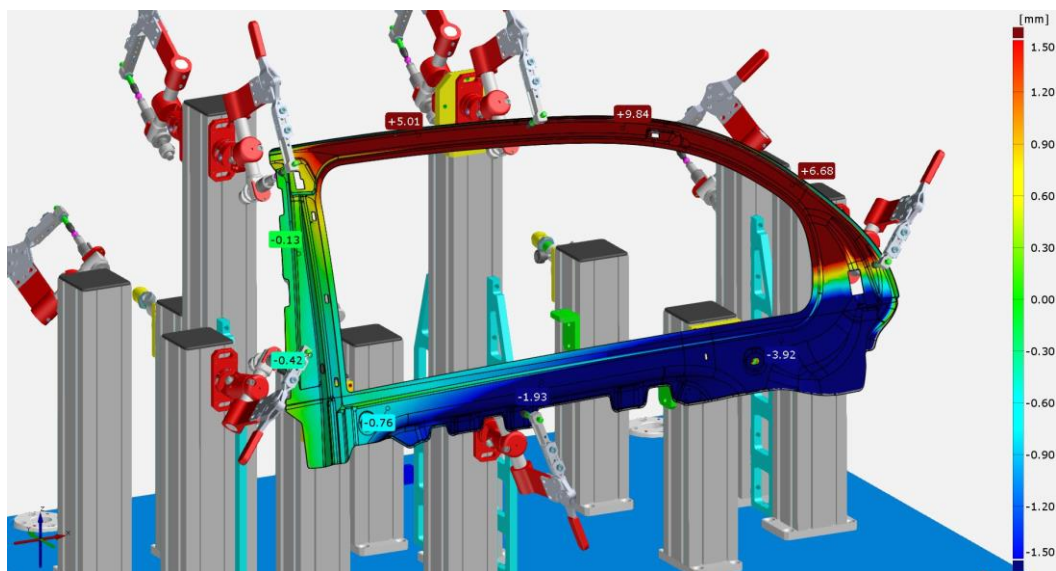
Slika 4-10 Rezultat simulacije uklanjanja djelovanja gravitacije prilikom mjerena

4.1.3. Translacija u montažno stanje i dodavanje utjecaja gravitacije

Rezultat simulacije uklanjanja gravitacije prilikom horizontalnog mjerena korišten je za izradu simulacije proizvoda u montažnom stanju i ponovnom dodavanju utjecaja gravitacije u montažnom stanju. U dijalu za kompenzaciju gravitacije odabire se rezultat koji želimo simulirati. Odabire se simulacijski model, smjer utjecaja gravitacije i RPS poravnanje. U prethodnom koraku rubni uvjet su bile točke dobivene pomoću normale adaptera. U ovom koraku odabrane su RPS točke u kojima se proizvod montira na kontrolnik (Slika 4-11). Rezultat simulacije je odstupanje u mapi boja (Slika 4-12).



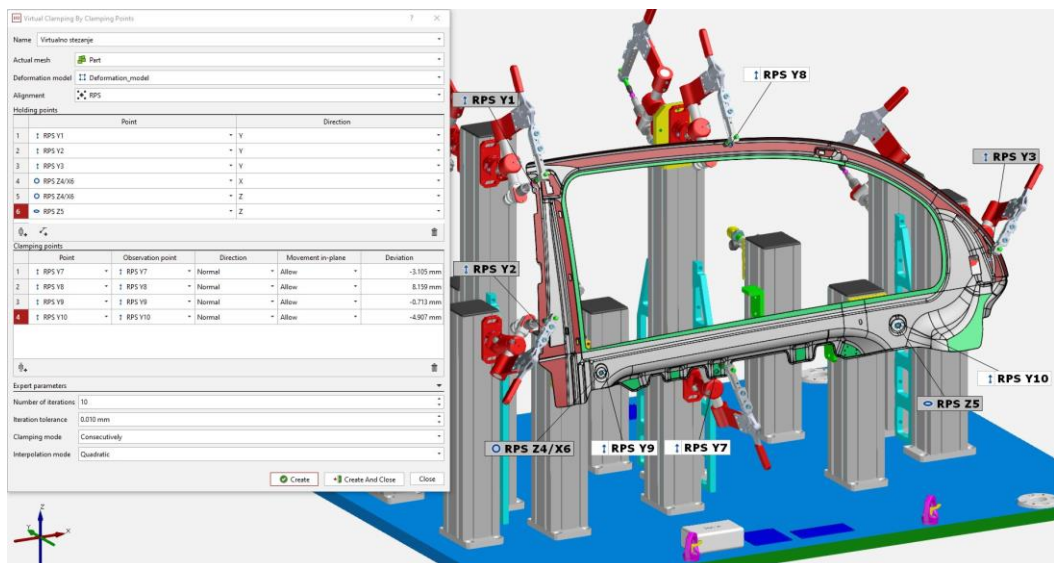
Slika 4-11 Postavke simulacije dodavanja utjecaja gravitacije u montažnom stanju



Slika 4-12 Odstupanje rezultata simulacije u montažnom stanju i dodanom utjecaju gravitacije

4.1.4. Virtualno stezanje u montažnom stanju

Rezultat prethodne simulacije korišten je za virtualno stezanje proizvoda u montažnom stanju i definiranim steznim točkama kontrolnika. U postavkama simulacije (Slika 4-13) odabire se rezultat koji želimo simulirati, deformacijski model, poravnjanje, RPS točke te stezne točke. Na stvarnom kontrolniku postoje četiri stezne točke (Y7, Y8, Y9 i Y10). Simulacijom će odstupanje steznih točaka u montažnom stanju biti dovedeno u nulu. Na taj način simuliramo stvarno stezanje proizvoda pomoću elemenata kontrolnika i odstupanje RPS steznih točaka dovodimo u nulu (Slika 4-14).



Slika 4-13 Postavke simulacije stezanja u montažnom stanju



Slika 4-14 Rezultat virtualnog stezanja s kompenzacijom gravitacije

5. Zaključak

Relativno kruti proizvodi na koje nema značajnog utjecaja gravitacije mjeru se u napravama za mjerjenje, napravama za 3D skeniranje ili kontrolnicima. Kontrolnici su podložni promjeni geometrije zbog utjecaja temperature, načina rukovanja, promjeni CAD modela proizvoda i skladištenja kontrolnika.

Optičkim pozicioniranjem je moguće precizno pozicionirati elemente u prostoru. Praćenjem odstupanja u mapi boja mogu se u ranoj fazi pozicioniranja otkriti problemi koji se javljaju prilikom montaže elemenata. Optičkim pozicioniranjem smanjuje se odstupanje praćenog sklopa u odnosu na CAD model i na taj način optimizira se pozicija funkcionalnih elemenata.

Virtualno stezanje koristi se za mjerjenje relativno krutih proizvoda. Proizvod se mjeri u slobodnom stanju te se zatim korištenjem simulacije odstupanje steznih točaka koje su definirane na nacrtu dovodi u nulu. Na taj način iz mjernog protokola je eliminiran kontrolnik.

Virtualno stezanje s kompenzacijom gravitacije uzima u obzir utjecaj djelovanja gravitacije na proizvod koji se mjeri. Simulacijom se uklanja utjecaj gravitacije. Proizvod se translatira u montažnu poziciju te se dodaje utjecaj gravitacije. Posljednji korak je virtualno stezanje kojim se odstupanje steznih točaka dovodi u nulu te se u tom stanju mjeri geometrija i oblik proizvoda.

Ovakav inovativan način mjerjenja otvara razne mogućnosti za uštedu sredstava i povećanja konkurentnosti proizvoda na tržištu. Virtualno stezanje je novi postupak na metrološkom tržištu čiji potencijal će biti vidljiv nakon izvjesnog vremena. U ovom radu prikazana je primjena virtualnog stezanja na limenim proizvodima. Postupak je moguće koristiti i na polimernim proizvodima, a posebno je zanimljiva primjena za proizvode izrađene aditivnim tehnologijama u smislu optimizacije 3D printanja metalnih i polimernih proizvoda koji postaju sve više zastupljeni u raznim granama industrije.

U Varaždinu, 16.10.2020.



Sveučilište Sjever



SVEUČILIŠTE
SJEVER

IZJAVA O AUTORSTVU

SUGLASNOST ZA JAVNU OBJAVU

Diplomski rad isključivo je autorsko djelo studenta koji je isti izradio te student odgovara za istinitost, izvornost i ispravnost teksta rada. U radu se ne smiju koristiti dijelovi tudihih radova (knjiga, članaka, doktorskih disertacija, magisterskih radova, izvora s interneta, i drugih izvora) bez navođenja izvora i autora navedenih radova. Svi dijelovi tudihih radova moraju biti pravilno navedeni i citirani. Dijelovi tudihih radova koji nisu pravilno citirani, smatraju se plagijatom, odnosno nezakonitim prisvajanjem tudeg znanstvenog ili stručnoga rada. Sukladno navedenom studenti su dužni potpisati izjavu o autorstvu rada.

Ja, **Luka Lukačić** pod punom moralnom, materijalnom i kaznenom odgovornošću, izjavljujem da sam isključivi autor diplomskog rada pod naslovom „**Optičko mjerjenje geometrije elastično deformabilnih proizvoda**“ te da u navedenom radu nisu na nedozvoljeni način (bez pravilnog citiranja) korišteni dijelovi tudihih radova.

Student:

Luka Lukačić

(vlastoručni potpis)

Sukladno Zakonu o znanstvenoj djelatnosti i visokom obrazovanju završne/diplomske radove sveučilišta su dužna trajno objaviti na javnoj internetskoj bazi sveučilišne knjižnice u sastavu sveučilišta te kopirati u javnu internetsku bazu završnih/diplomskih radova Nacionalne i sveučilišne knjižnice. Završni radovi istovrsnih umjetničkih studija koji se realiziraju kroz umjetnička ostvarenja objavljaju se na odgovarajući način.

Ja, **Luka Lukačić** neopozivo izjavljujem da sam suglasan s javnom objavom diplomskog rada pod naslovom „**Optičko mjerjenje geometrije elastično deformabilnih proizvoda**“ čiji sam autor.

Student:

Luka Lukačić

(vlastoručni potpis)

Literatura

- [1] N. Drvar, „Usporedba metoda za određivanje oblika i deformacija mehaničkih konstrukcija“ Magistarski rad, FSB Zagreb, 2004.
- [2] <https://topomatika.hr/>, dostupno 08.09.2020.
- [3] <https://support.gom.com/>, dostupno 08.09.2020.
- [4] N. Šale: Sustav za automobilsku kameru visokog dinamičkog opsega temeljen na FPGA sklopu, Diplomski rad, FER, Zagreb, 2018.
- [5] <https://meadowsanalysis.com/>, dostupno 08.09.2020.
- [6] <https://www.aukom.info/hr/aukom-tecajevi/sadrzaj-seminara/sadrzaj-razina-1.html>, dostupno 08.09.2020.
- [7] T.Ciceli: Nastajanje boje u CCD senzoru – Ekscentar 2007, br. 9, str. 30-32., <https://hrcak.srce.hr/12469> (dostupno 17.09.2020.)
- [8] <https://www.enciklopedija.hr/natuknica.aspx?ID=70273>, dostupno 08.09.2020.
- [9] D. Ivšac: Usporedba 3D mjernih postupaka u kontroli kvalitete, Diplomski rad, FSB, Zagreb, 2014.
- [10] L. Lukacić: Postupak mjerena odljevka manualnim i automatiziranim 3D otičkim sustavima ATOS, Završni rad, Svučilište Sjever, Varaždin, 2018.

Popis slika

Slika 1-1 Podjela mjernih metoda s obzirom na način definiranja mjerne točke [1]	1
Slika 1-2 Određivanje točke Pi triangulacijom snopova zraka iz različitih pogleda Bi [1]	2
Slika 1-3 Triangulacija položaja točke P primjenom dvije kamere [1]	2
Slika 1-4 Prikaz oblaka točaka i poligonizirane mreže trokuta	3
Slika 1-5 Princip rada ATOS projekcijskog skenera [1]	4
Slika 1-6 Optički 3D skener ATOS 5 [2]	5
Slika 1-8 Prikaz mjernih pozicija za dobivanje slika koje tvore kupolu oko objekta mjerena.....	6
Slika 1-7 PlusBox fotogrametrijski sustav	6
Slika 1-9 Bayer-ov filter	7
Slika 1-10 ATOS ScanBox mjerne ćelije [3]	7
Slika 2-1 Prikaz kontrolnika i dijela karoserije prednjih vrata automobila.....	8
Slika 2-2 Prikaz odstupanja postojećeg stanja u odnosu na CAD model.....	9
Slika 2-3 CAD model naprave za 3D skeniranje lima.....	9
Slika 2-4 Mjerna ticala i adapteri za optičko praćenje [3].....	10
Slika 2-5 Oznake i dijelovi naprave	10
Slika 2-6 Rastavljena naprava	11
Slika 2-7 Komponenta stupa S1 s pripadajućim kontrolnim površinskim točkama i prikazanim odstupanjem od referente pozicije u mapi boja	11
Slika 2-8 Mjerna postava – ScanBox 5120 i ATOS 5 MV500	12
Slika 2-9 Live prikaz odstupanja u mapi boja	12
Slika 2-10 Rezultat optičkog pozicioniranja baze	13
Slika 2-11 Prikaz odstupanja površinskih točaka	13
Slika 2-12 Rezultat optičkog pozicioniranja stupova	14
Slika 2-13 Rezultat optičkog pozicioniranja pokrova aluminijskih profila.....	14
Slika 2-14 Rezultat optičkog pozicioniranja magnetnih sfera	15
Slika 2-15 Prikaz odstupanja početnog i korigiranog stanja u mapi boja	16
Slika 2-16 Odstupanje magnetnih sfera i pinova nakon optičkog pozicioniranja	16
Slika 3-1 CAD model i proizvod od čeličnog lima	17
Slika 3-2 RPS točke limenog proizvoda	18
Slika 3-3 Postupak praktičnog dijela rada	18
Slika 3-4 Mjerna postava – ScanBox 5120 i ATOS 5 MV500	19
Slika 3-5 Rezultat skeniranja u mapi boja i prikaz odstupanja stezne točke	19
Slika 3-6 Postavke simulacije – RPS točke i odstupanje stezne točke	20

Slika 3-7 Simulacijski model limenog proizvoda.....	20
Slika 3-8 Prikaz rezultata virtualnog stezanja, odstupanja stezne točke i dobivene sile stezanja (cf)	21
Slika 3-9 Lim opterećen dinamometrom	21
Slika 3-10 Prikaz rezultata mehaničkog stezanja i odstupanja stezne točke	22
Slika 3-11 Usporedba mehaničkog i virtualnog stezanja u mapi boja	22
Slika 4-1 Prikaz postupka virtualnog stezanja s kompenzacijom utjecaja gravitacije	23
Slika 4-2 Mjerna postava.....	23
Slika 4-3 Univerzalna naprava za mjerjenje proizvoda u horizontalnom položaju.....	24
Slika 4-4 Pneumatska stanica	24
Slika 4-5 Prikaz pozicija i rezultata fotogrametrije i 3D skeniranja.....	25
Slika 4-6 Proizvod na univerzalnoj napravi	25
Slika 4-7 Rezultat horizontalnog mjerjenja	26
Slika 4-8 Simulacijski model okvira vrata automobila	26
Slika 4-9 Postavke simulacije uklanjanja utjecaja gravitacije	27
Slika 4-10 Rezultat simulacije uklanjanja djelovanja gravitacije prilikom mjerjenja	27
Slika 4-11 Odstupanje rezultata simulacije u montažnom stanju i dodanom utjecaju gravitacije	28
Slika 4-12 Postavke simulacije dodavanja utjecaja gravitacije u montažnom stanju.....	28
Slika 4-13 Rezultat virtualnog stezanja s kompenzacijom gravitacije	29
Slika 4-14 Postavke simulacije stezanja u montažnom stanju	29

Prilozi



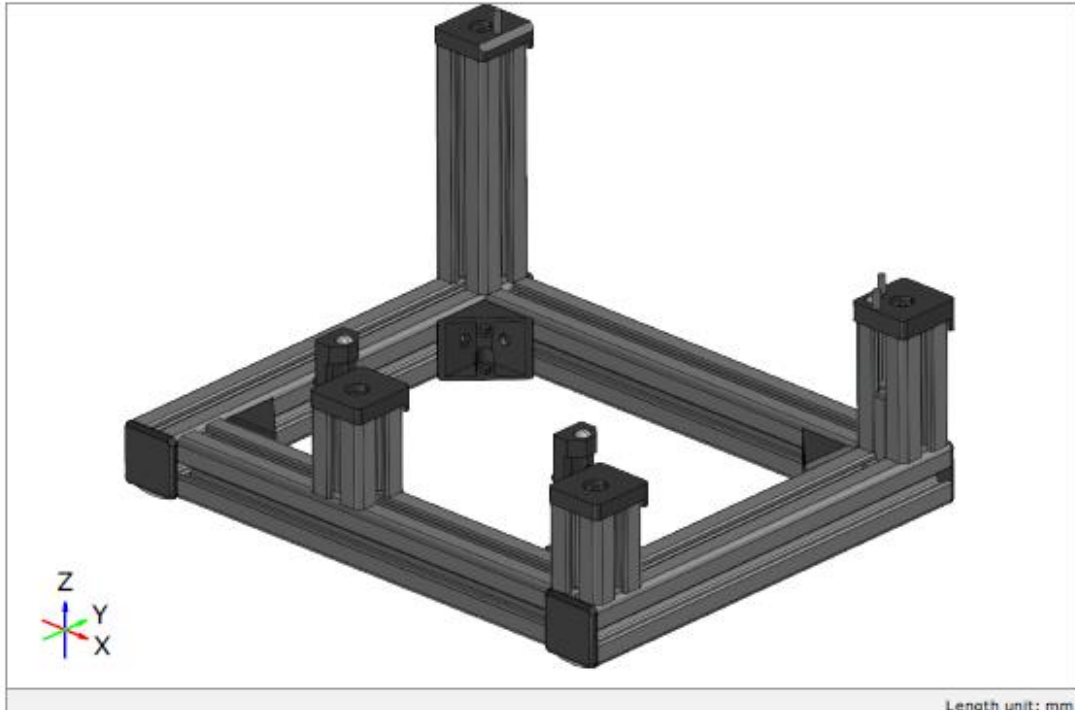
Izvješće o mjerenu: IOM-Opticko pozicioniranje

Datum izdavanja: 2020-09-21

Izvješće izdao: Luka Lukačić, bacc.ing.mech.

trodimenzionalno skeniranje, optički
mjerni sustavi i računalna obrada d.o.o.

Sjedište: Ilica 231, HR-10000 Zagreb
Laboratorij: Industrijska ulica 3, Novaki
HR-10431 Sveti Nedelja
T: +385 1 349 6010; F: +385 1 589 9722
E-mail: info@topomatika.hr
IBAN: HR2 HR86 2340 0091 1100 8406 2
ZABA: HR46 2360 0001 1028 1902 3
OIB/VAT: HR51475743156



Naručitelj: Topomatika

Predmet mjerena: Corner-Plate-Fixture

Datum mjerena: 2020-07-03

Lokacija: Sveti Nedelja

Mjeritelj: Luka Lukačić

Rezultati mjerena: na stranicama 2 do 15

Mjerni sustav: ATOS ScanBox 5120

Mjerno područje: MV500

Serijski broj: 181039

Temperatura i vlažnost: 22±1°C; 55%±10%

Napomena:

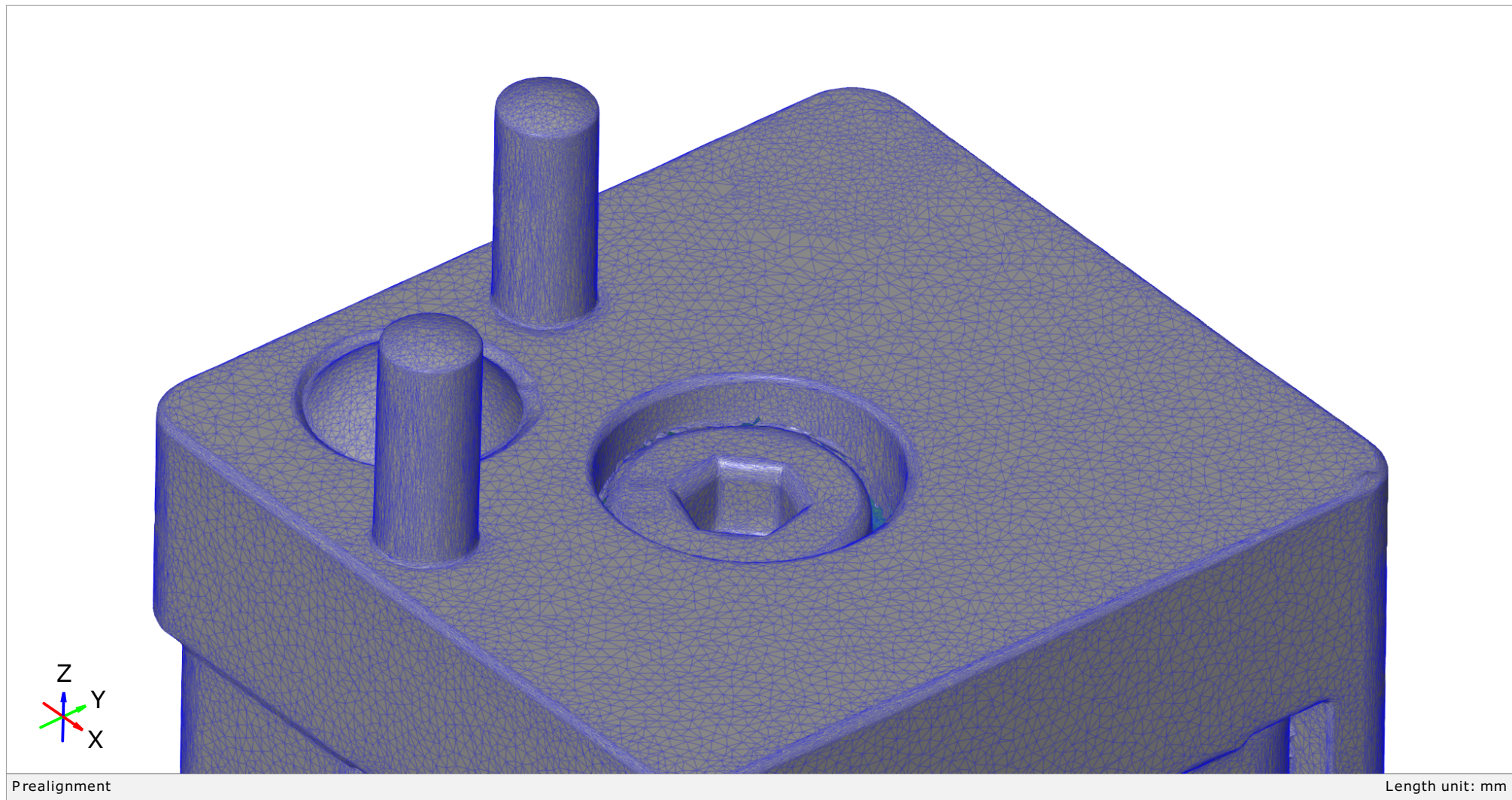
Ovaj dokument može se obnoviti samo u cijelosti. Djelomično obnavljanje moguće je samo uz pismeno odobrenje Topomatike d.o.o., uz navođenje broja pod kojim se vodi isto pismeno odobrenje.
This document may be reproduced only in full. It may be partially reproduced only by written approval of the Topomatika d.o.o., together with the quotation of the reference number of the same written.



Naslovna.....	1
Sadržaj.....	2
Rezultat skeniranja - Poligonizirana mreža trokuta	3
Oznake elemenata naprave.....	4
Poravnanje CAD modela i skenirane geometrije početnog stanja naprave.....	5
Poravnanje CAD modela i skenirane geometrije korigiranog stanja.....	6
Devijacija pravokutne baze prikazana u mapi boja.....	7
Ravnost baze (Tol. zona 0.5 mm).....	8
Devijacija stup 1.....	9
Devijacija stup 2.....	10
Devijacija stup 3.....	11
Devijacija stup 4.....	12
Pozicija pinova u smjeru X i Y osi (Tol. +/- 0.2mm).....	13
Udaljenost magnetnih sfera u odnosu na sferu S4 - (Tol. +/- 0.1mm)	14
Tablični prikaz rezultata nakon optičkog pozicioniranja naprave.....	15

Rezultat skeniranja - Poligonizirana mreža trokuta

3/15



Prealignment

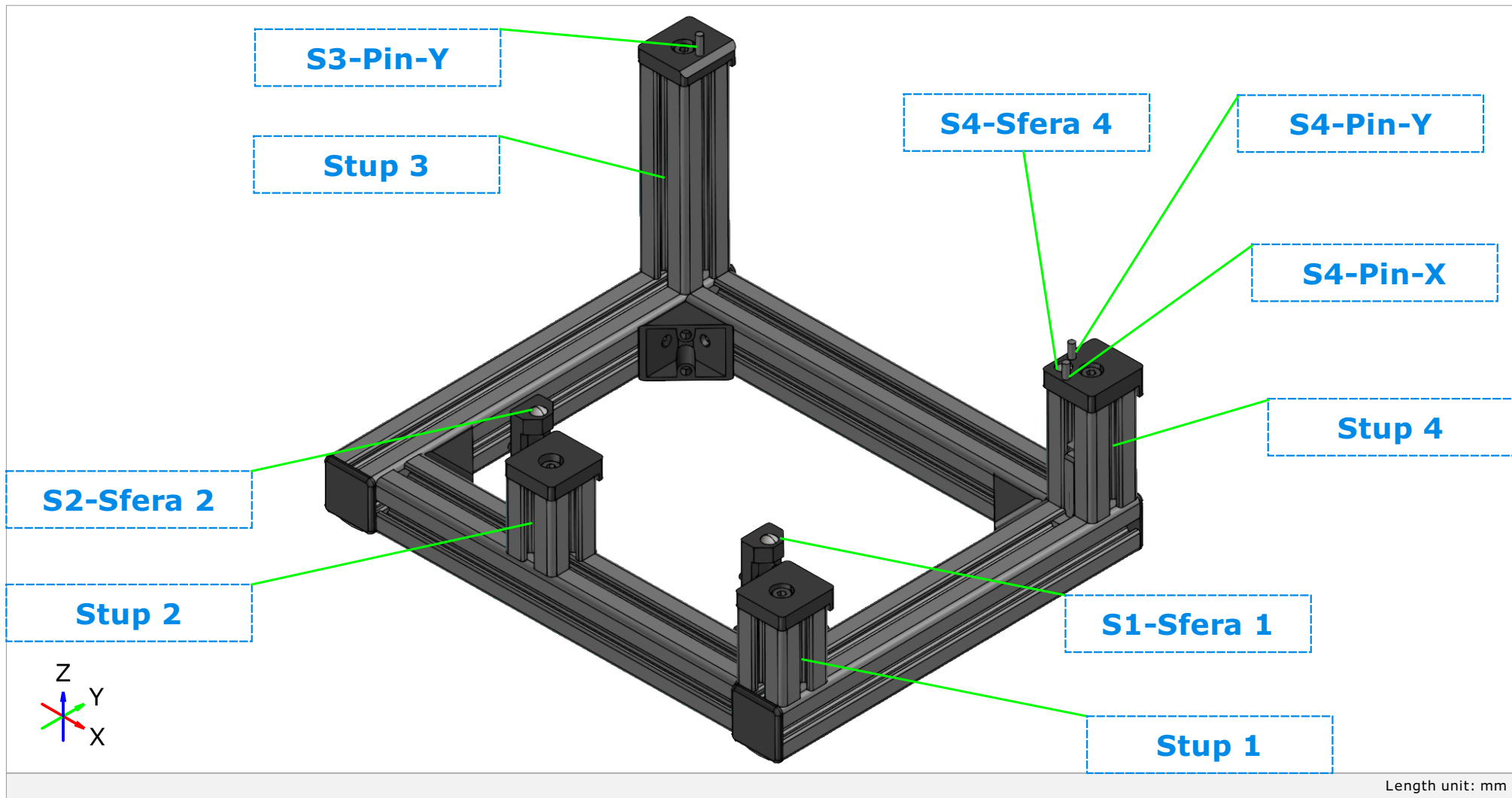
Length unit: mm

Ovaj dokument može se obnoviti samo u cijelosti. Djelomično obnavljanje moguće je samo uz pismeno odobrenje Topomatike d.o.o., uz navođenje broja pod kojim se vodi isto pismeno odobrenje.
This document may be reproduced only in full. It may be partially reproduced only by written approval of the Topomatika d.o.o., together with the quotation of the reference number of the same written.



Oznake elemenata naprave

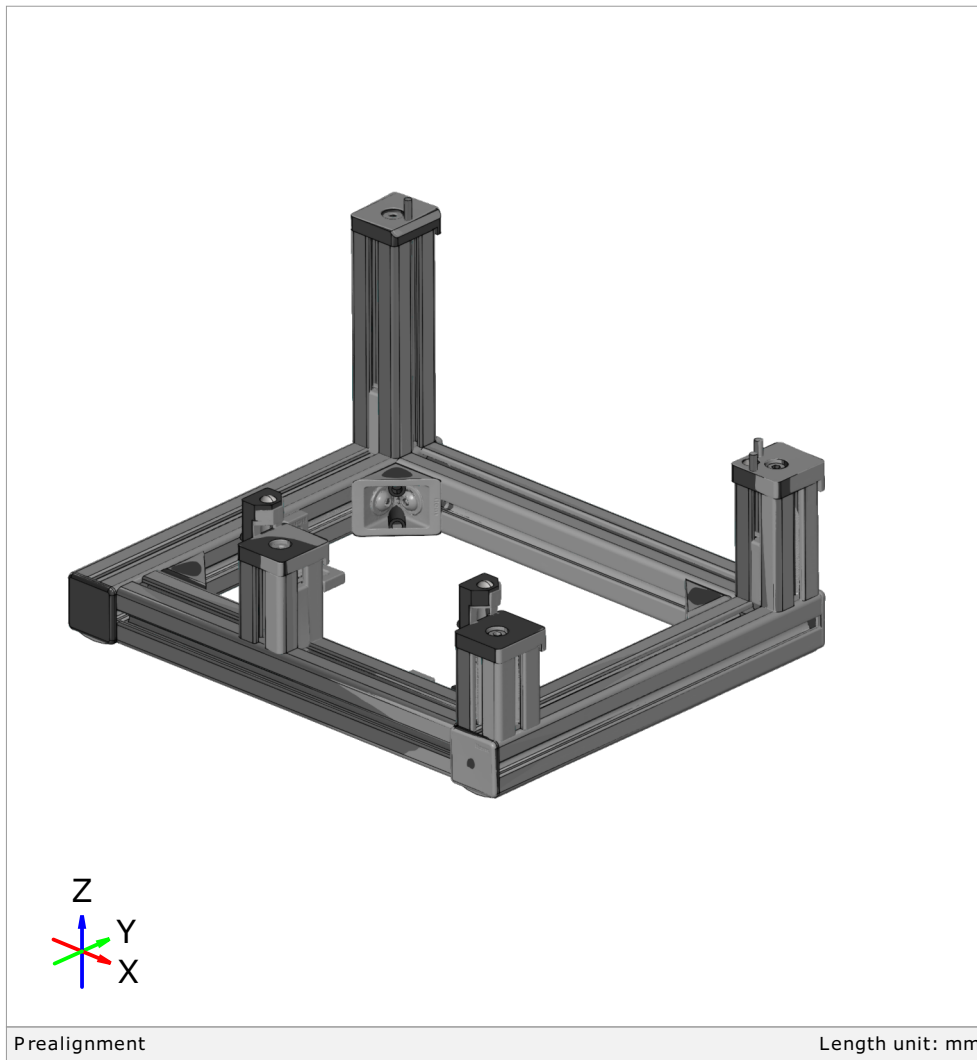
4/15



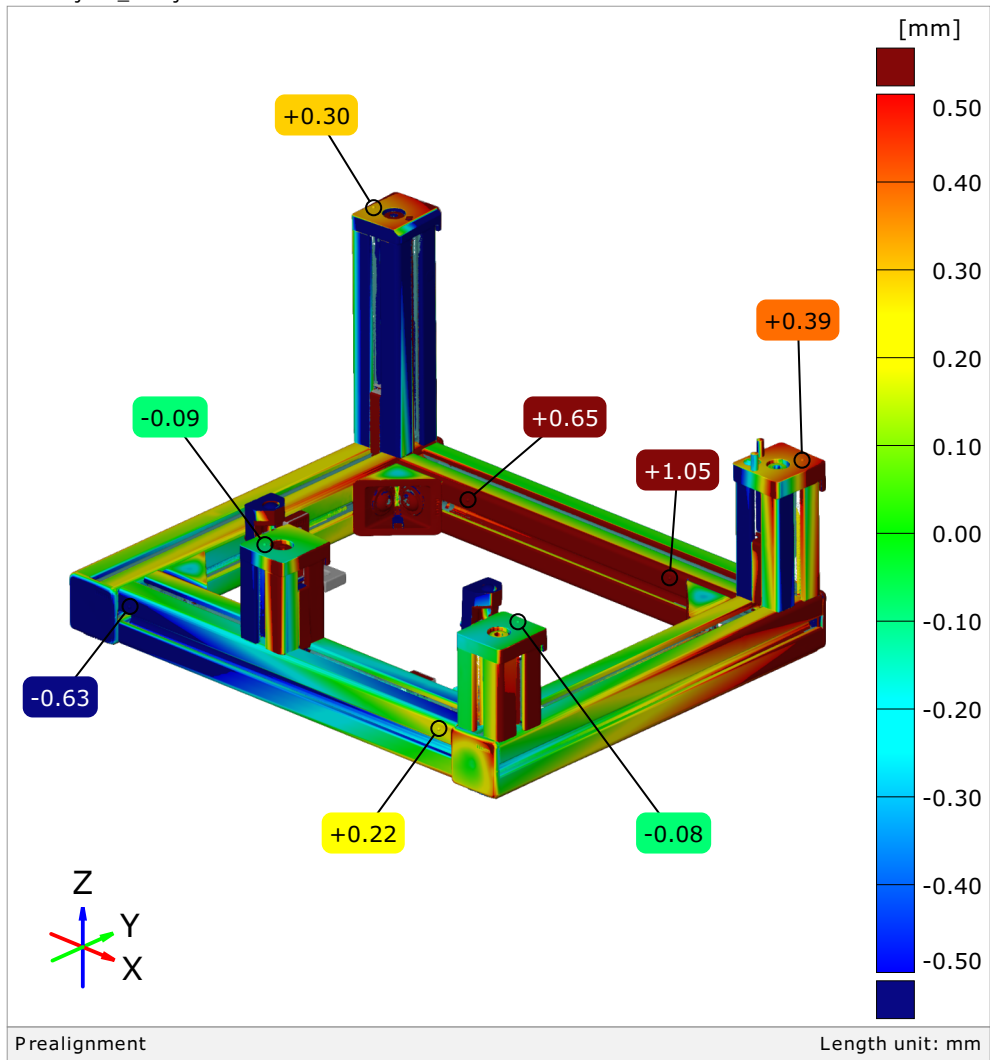
Poravnanje CAD modela i skenirane geometrije početnog stanja naprave

5/15

Postojeće_stanje



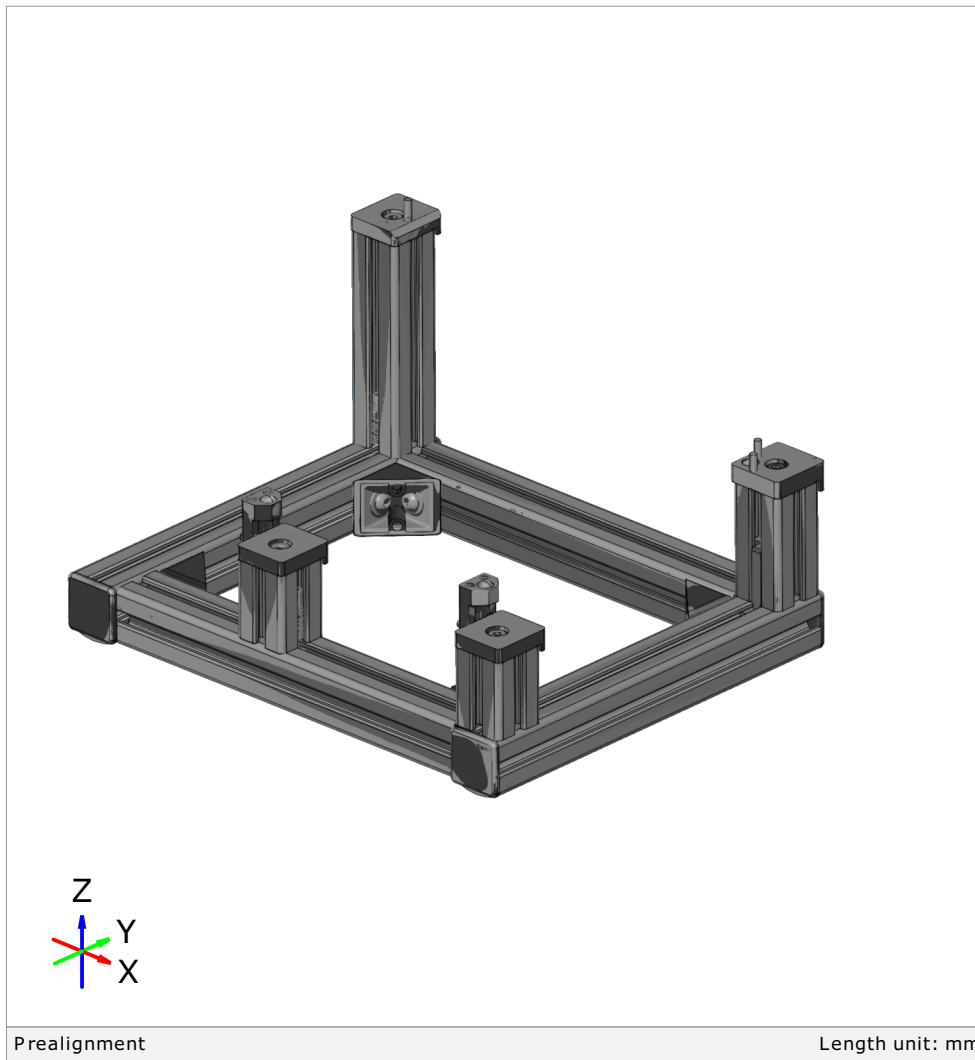
Postojeće_stanje



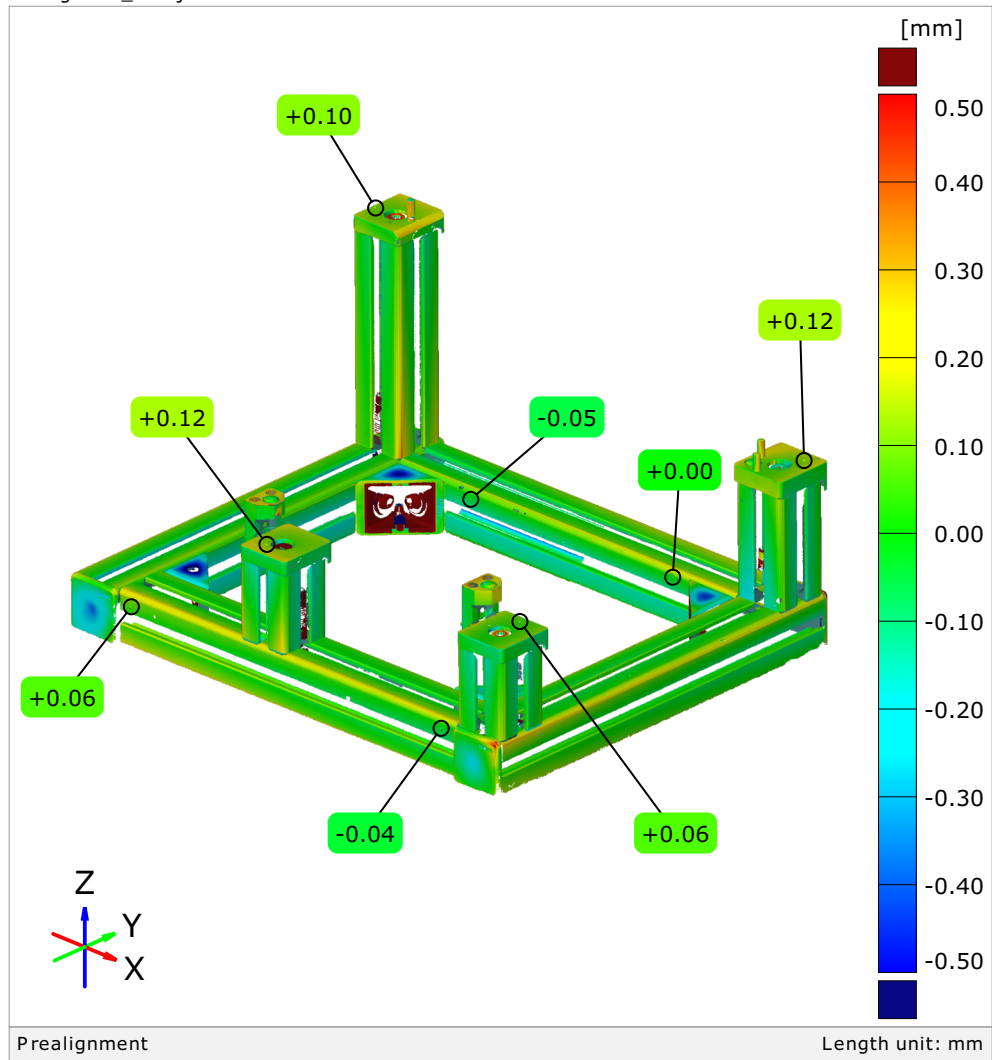
Poravnanje CAD modela i skenirane geometrije korigiranog stanja

6/15

Korigirano_stanje



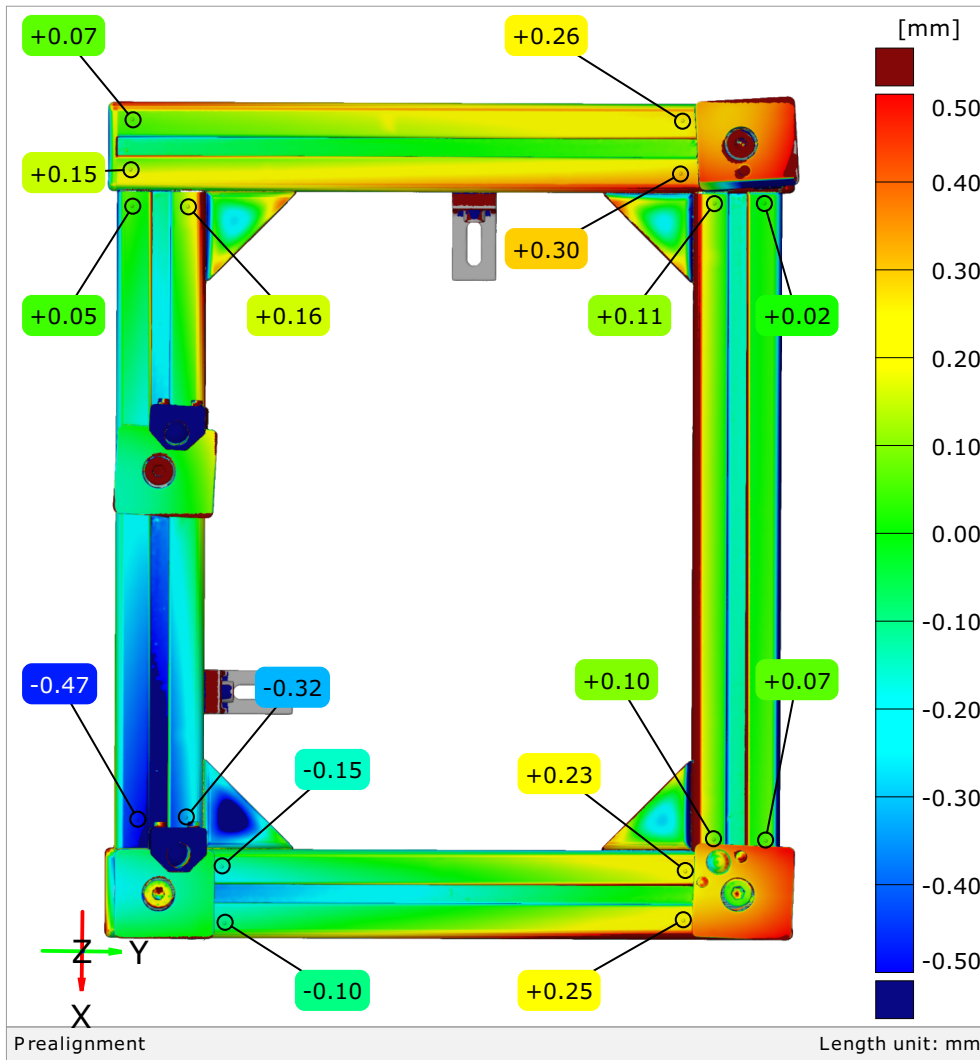
Korigirano_stanje



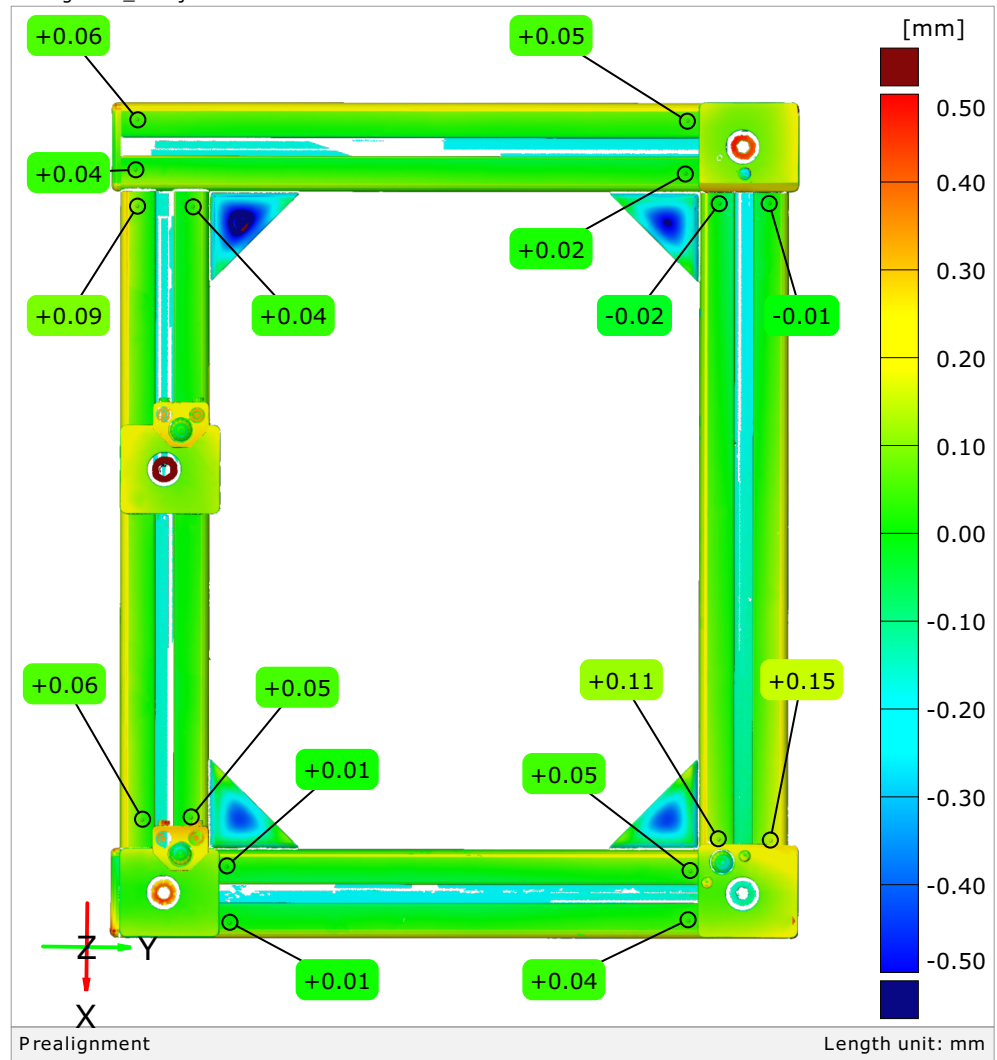
Devijacija pravokutne baze prikazana u mapi boja

7/15

Postojeće_stanje



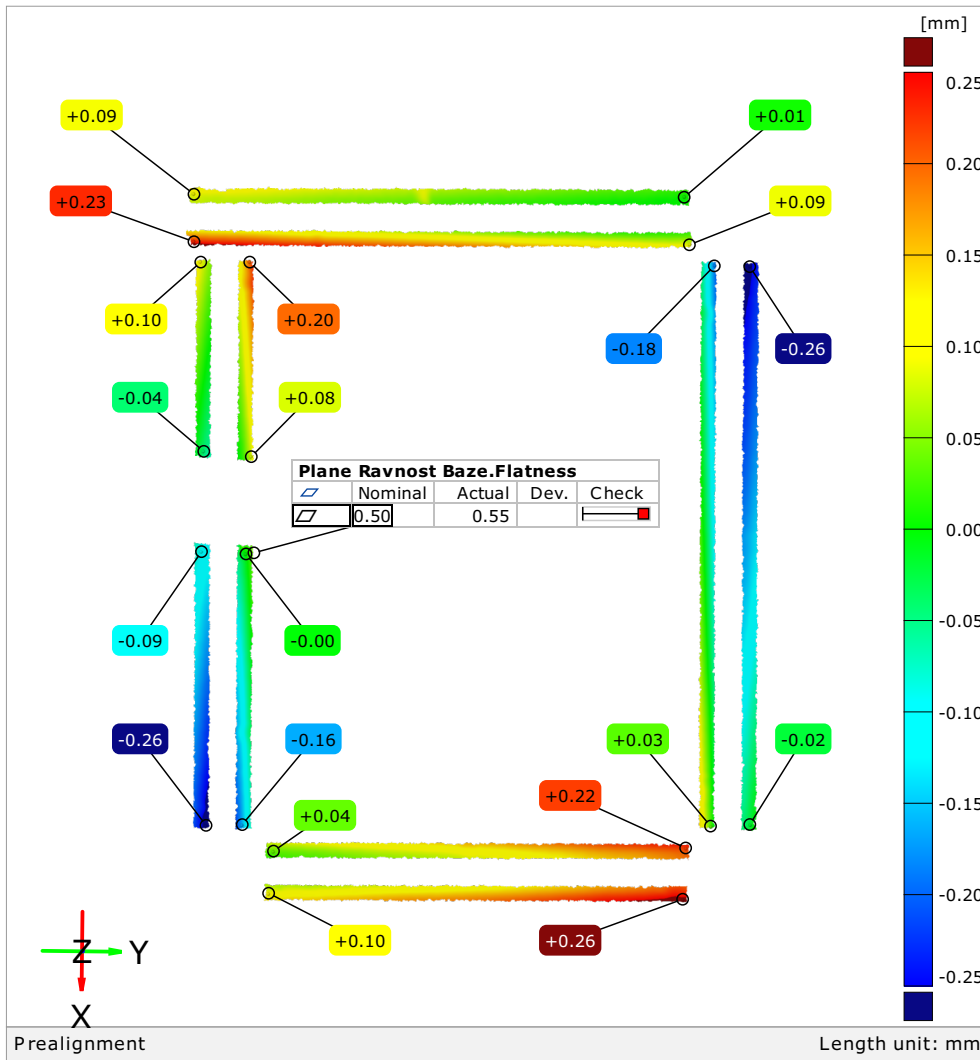
Korigirano_stanje



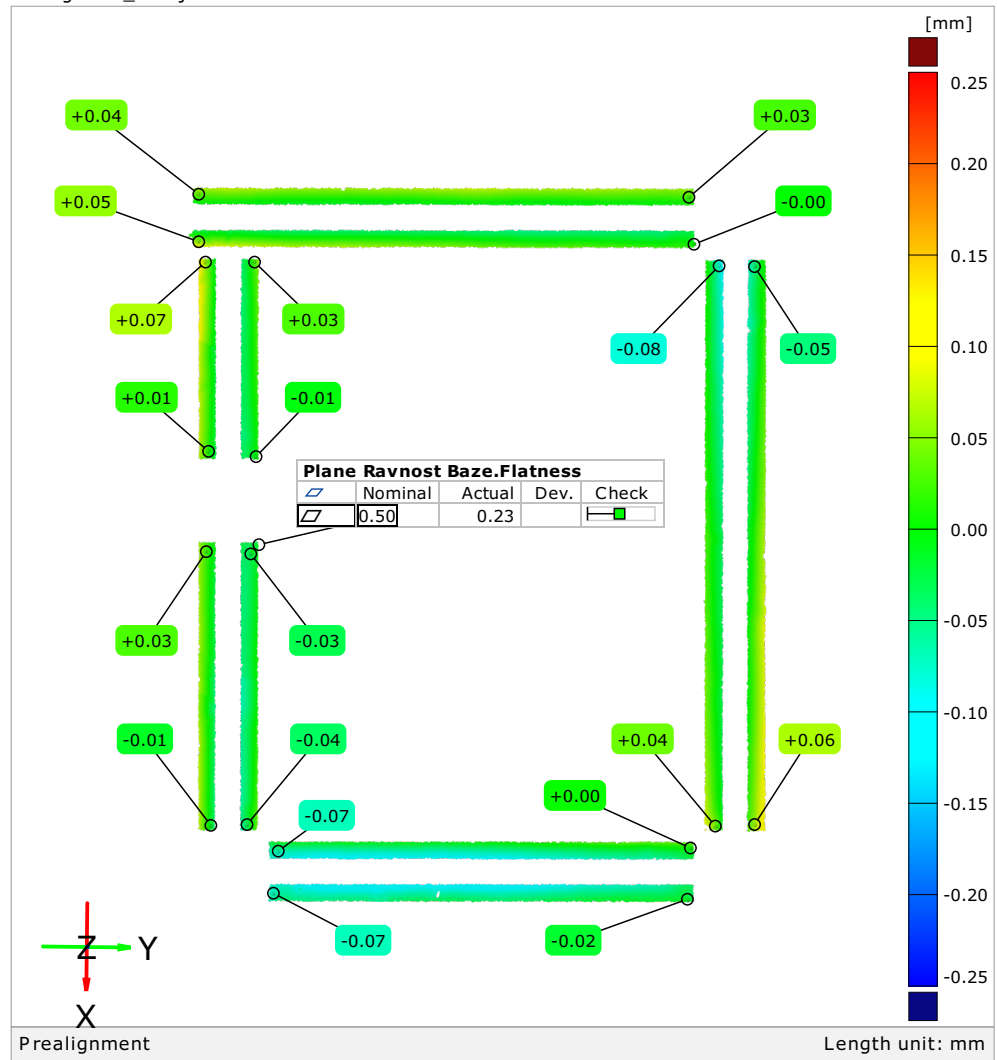
Ravnost baze (Tol. zona 0.5 mm)

8/15

Postojeće_stanje



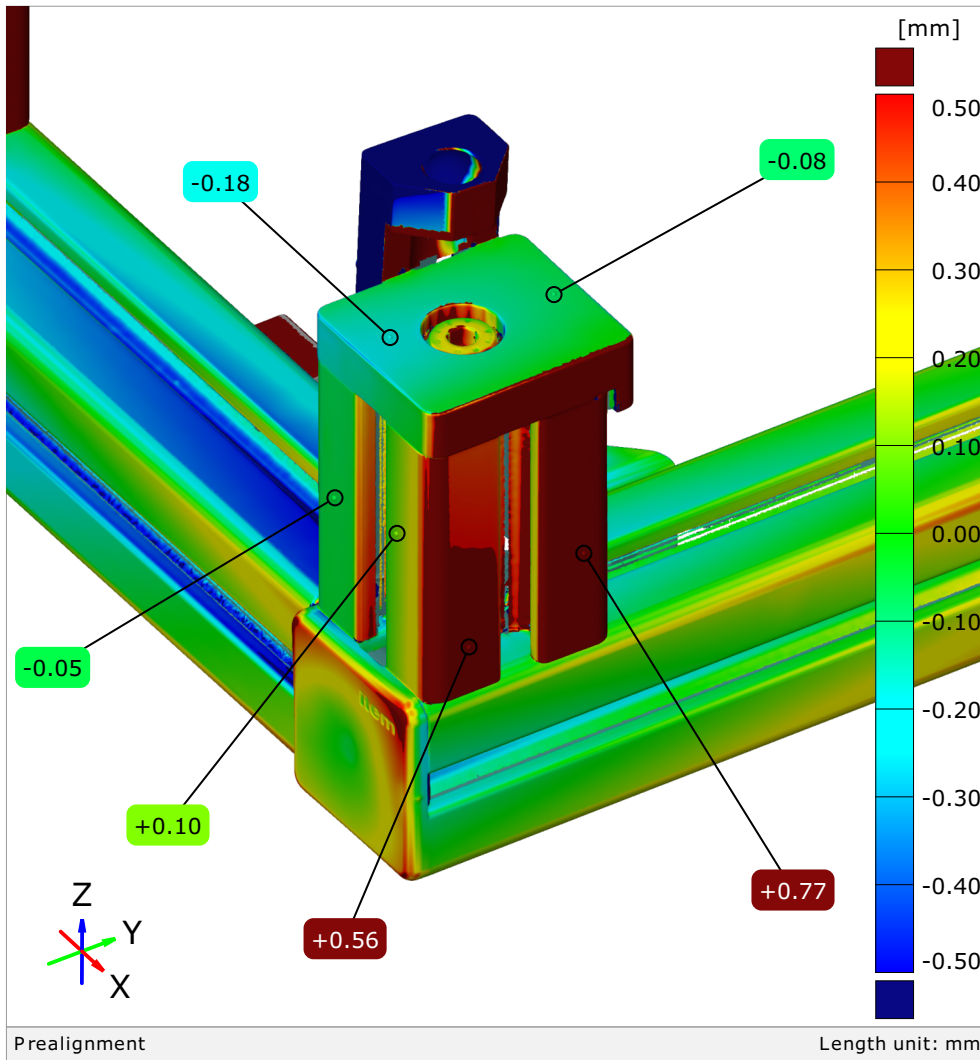
Korigirano_stanje



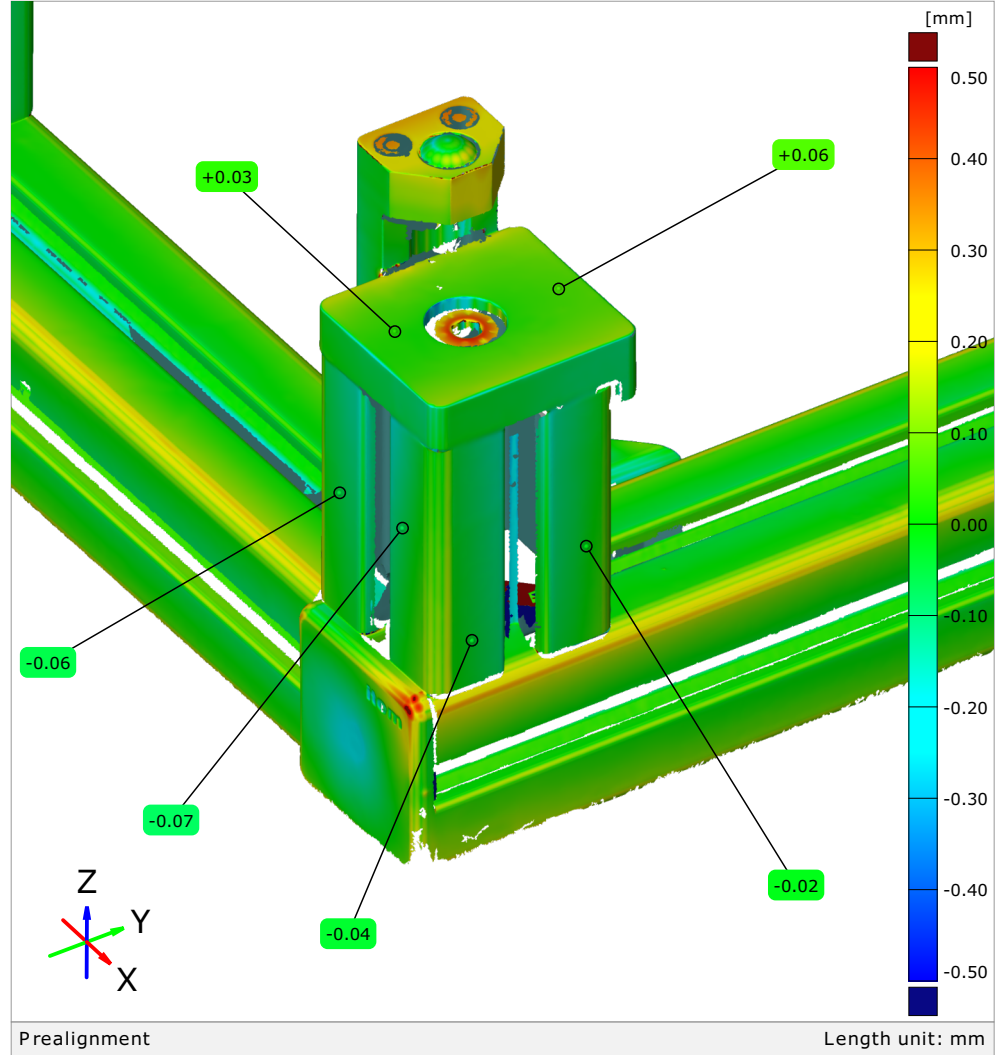
Devijacija stup 1

9/15

Postojeće_stanje



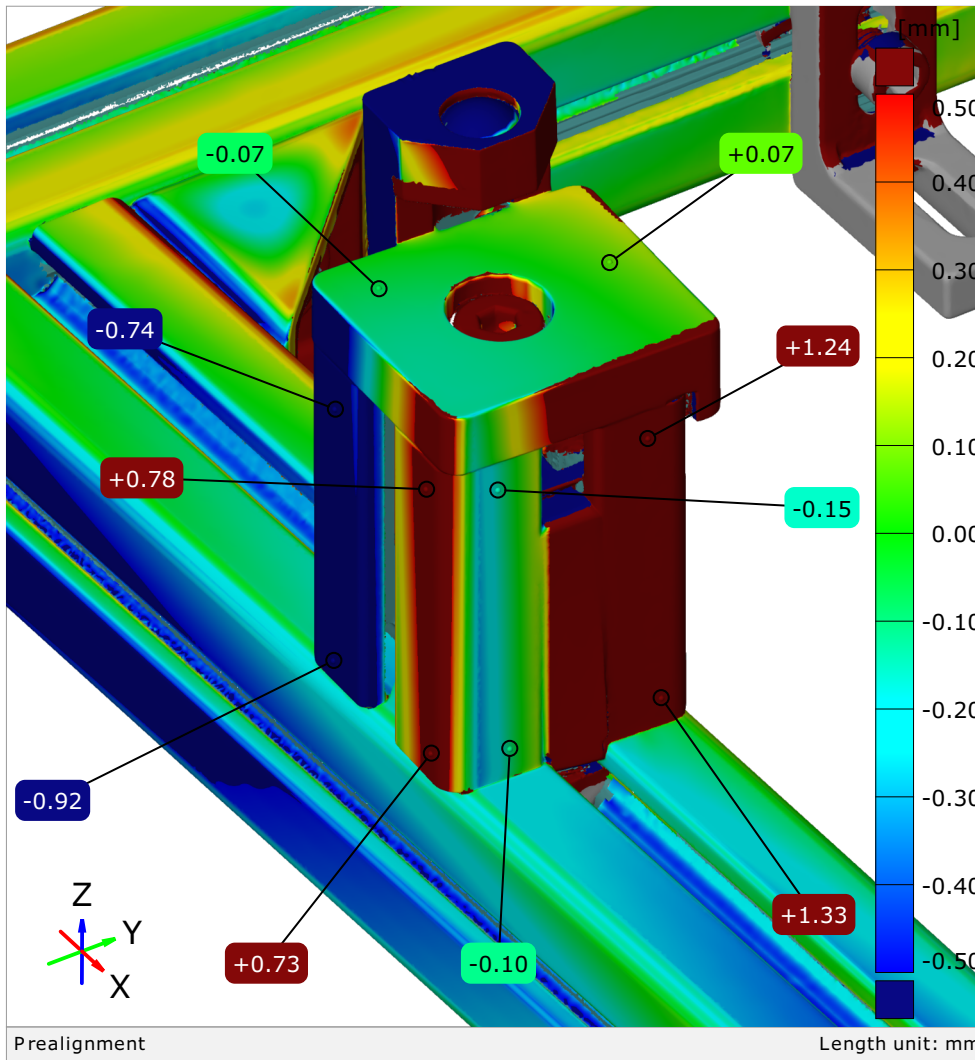
Korigirano_stanje



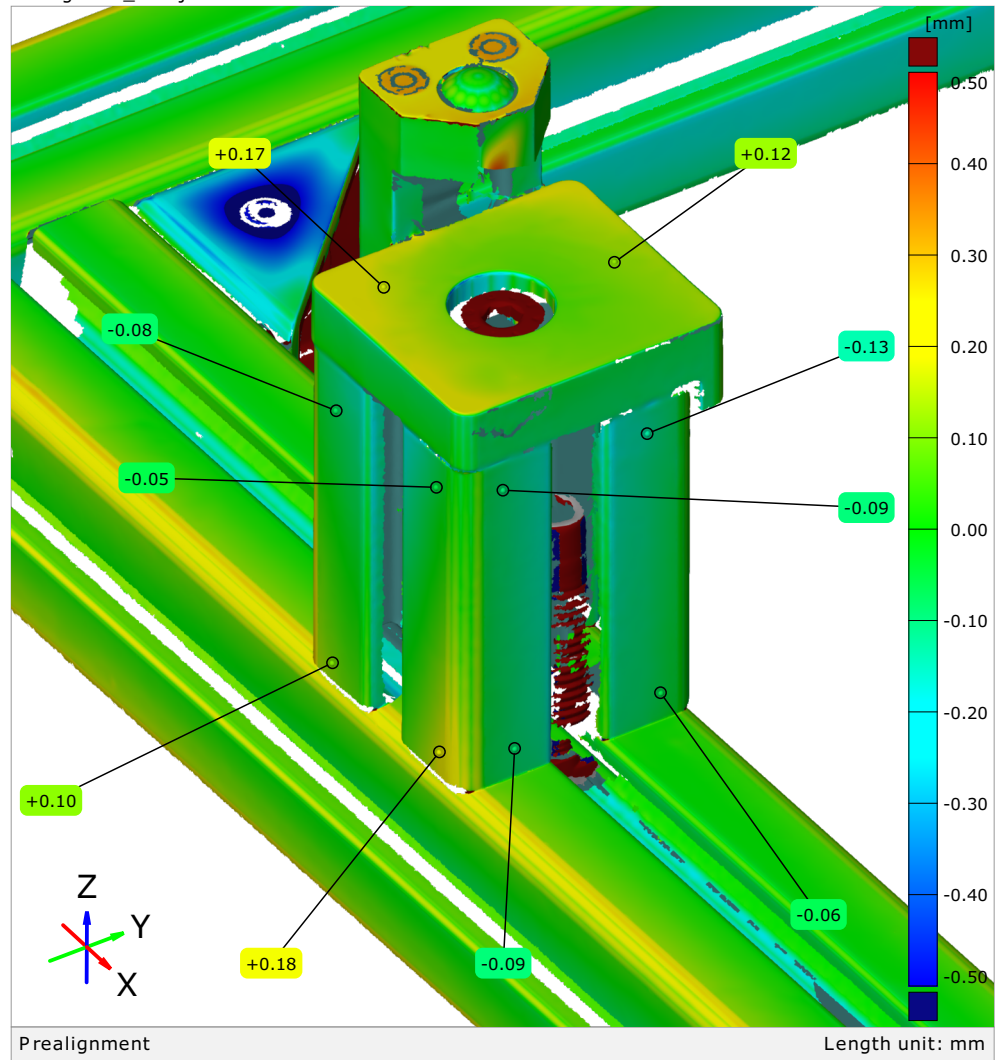
Devijacija stup 2

10/15

Postojeće_stanje

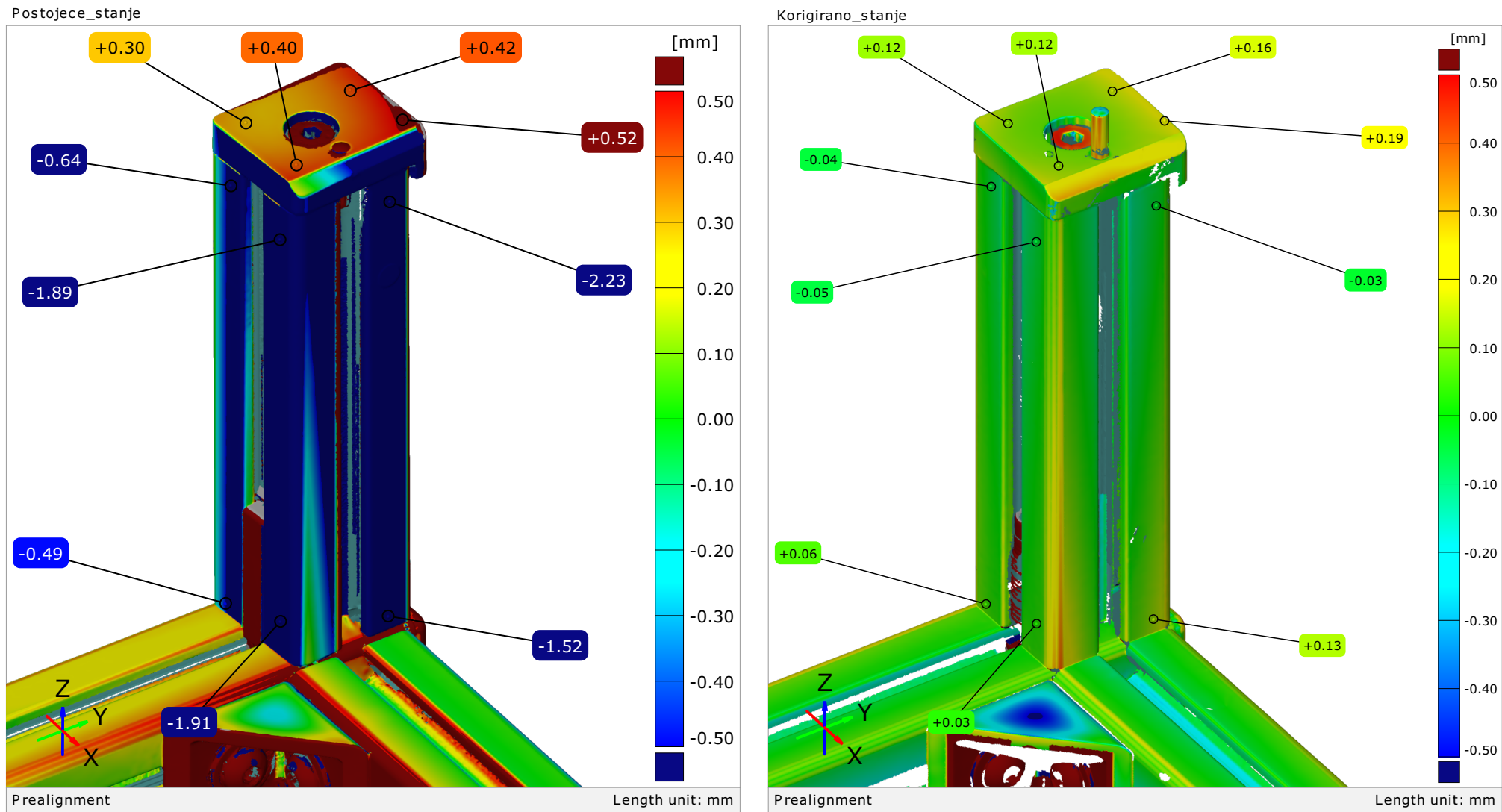


Korigirano_stanje



Devijacija stup 3

11/15



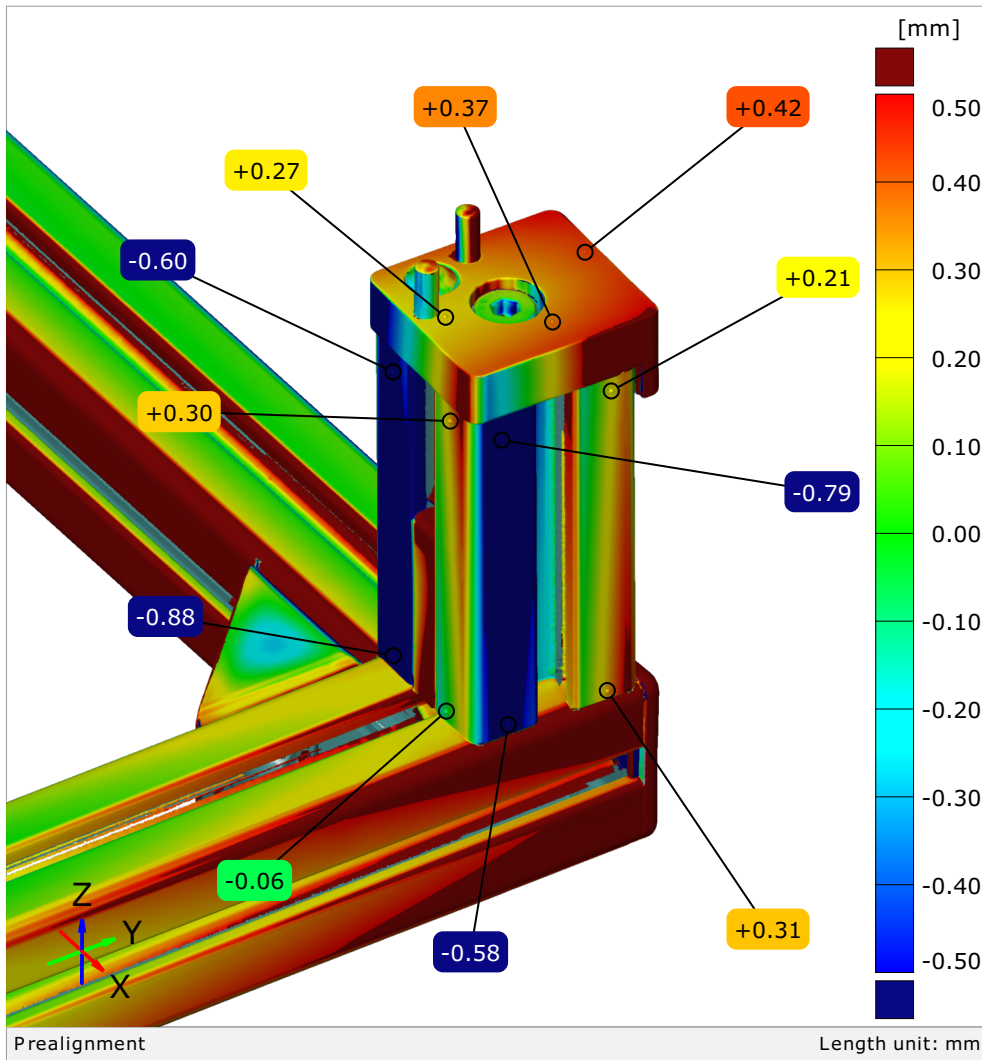
Ovaj dokument može se obnoviti samo u cijelosti. Djelomično obnavljanje moguće je samo uz pismeno odobrenje Topomatike d.o.o., uz navođenje broja pod kojim se vodi isto pismeno odobrenje.
 This document may be reproduced only in full. It may be partially reproduced only by written approval of the Topomatika d.o.o., together with the quotation of the reference number of the same written.



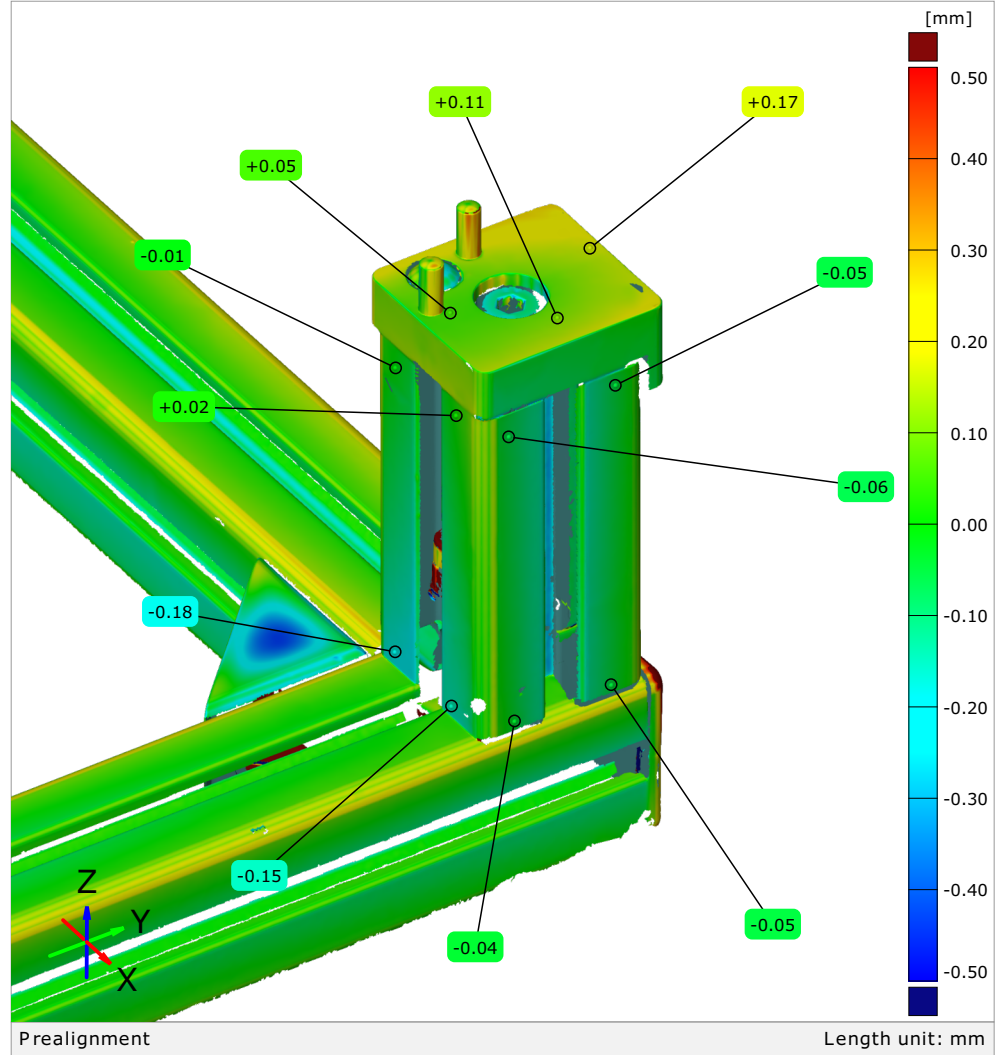
Devijacija stup 4

12/15

Postojeće_stanje



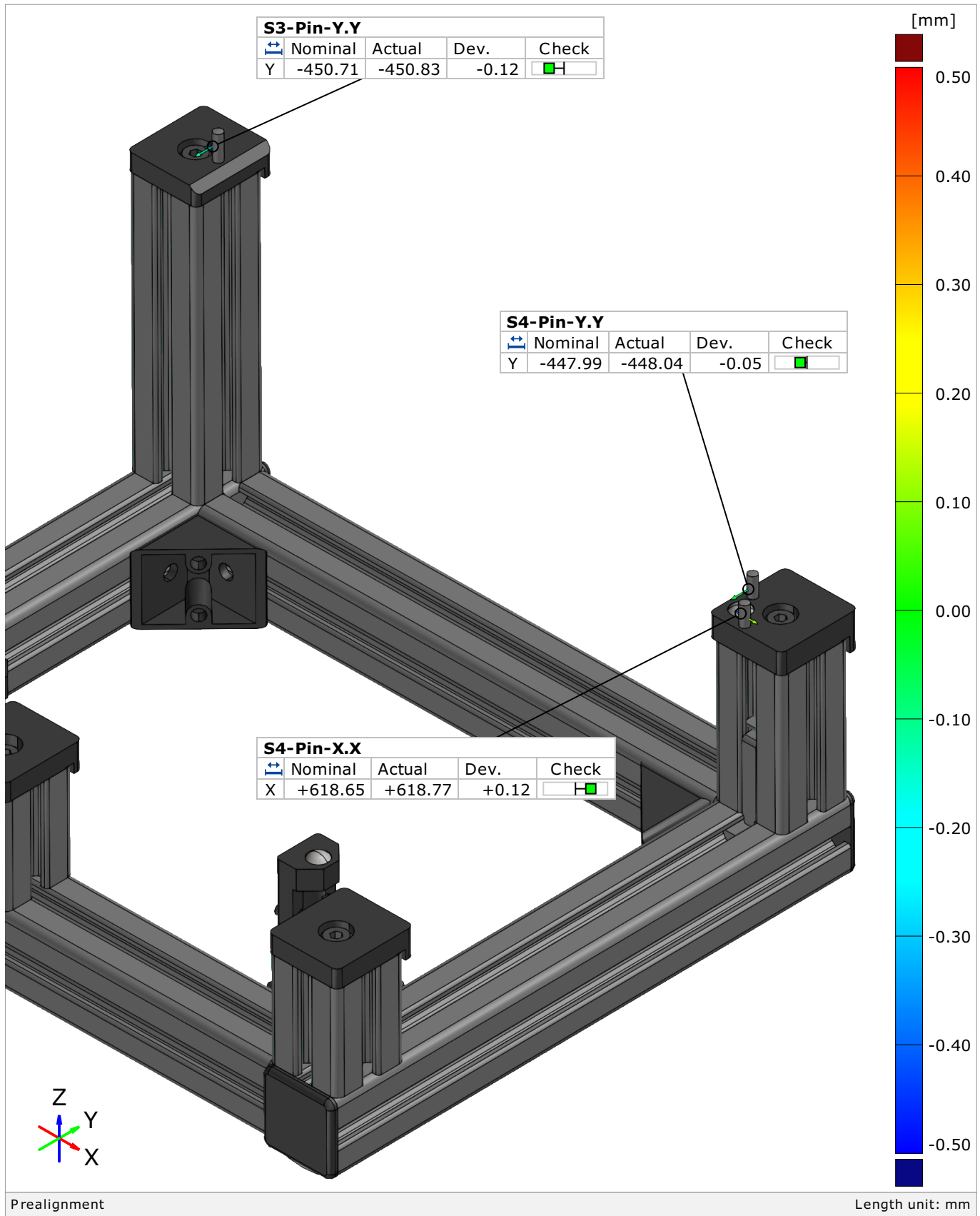
Korigirano_stanje



Pozicija pinova u smjeru X i Y osi (Tol. +/- 0.2mm)

13/15

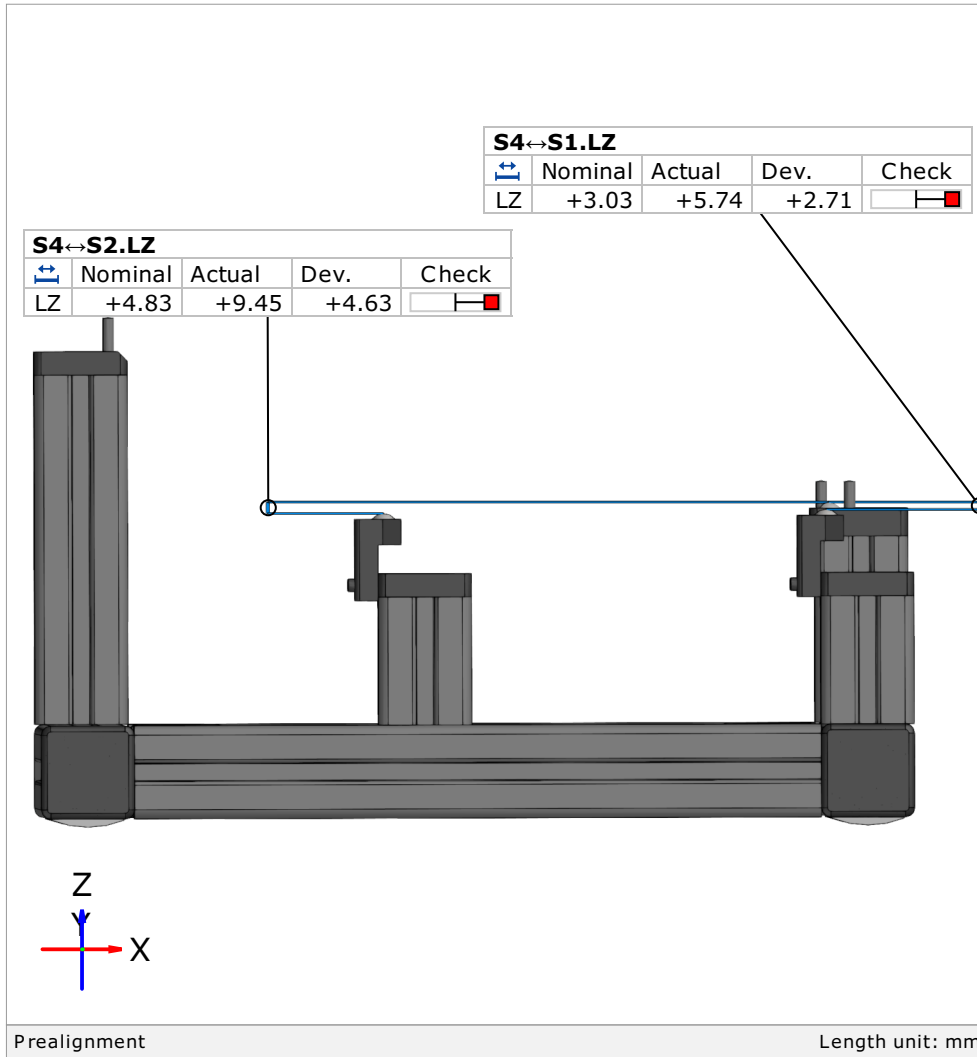
Korigirano_stanje



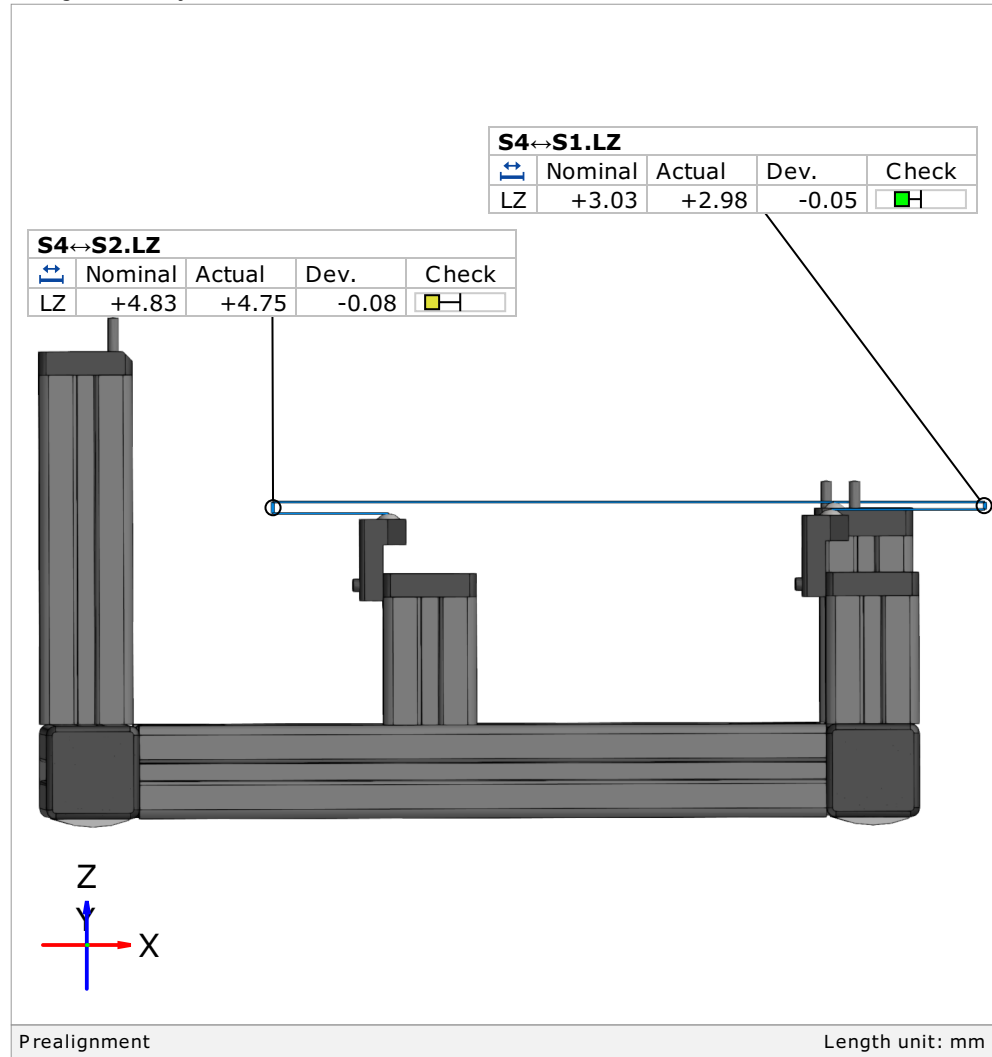
Udaljenost magnetnih sfera u odnosu na sferu S4 - (Tol. +/- 0.1mm)

14/15

Postojeće_stanje



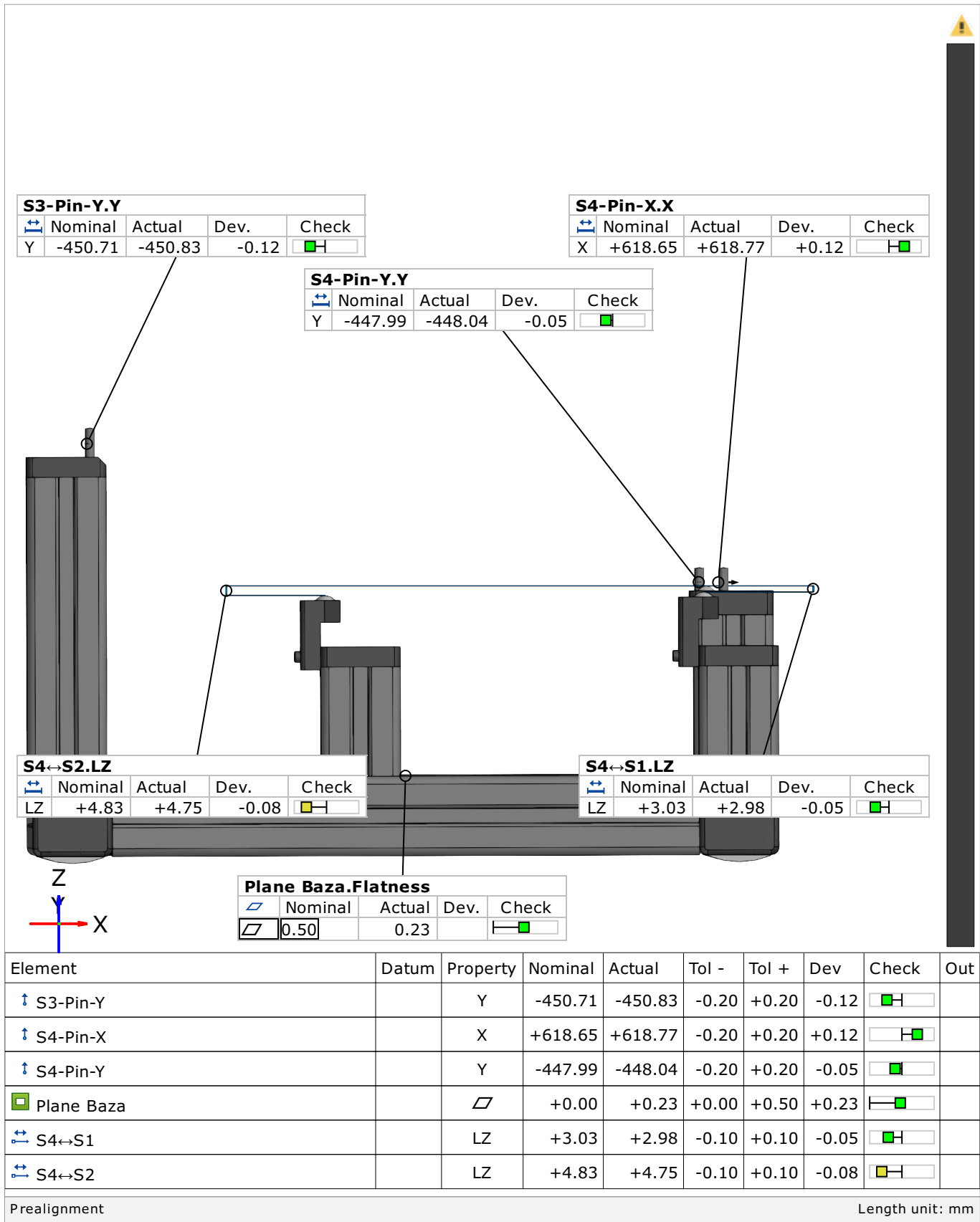
Korigirano_stanje



Tablični prikaz rezultata nakon optičkog pozicioniranja naprave

15/15

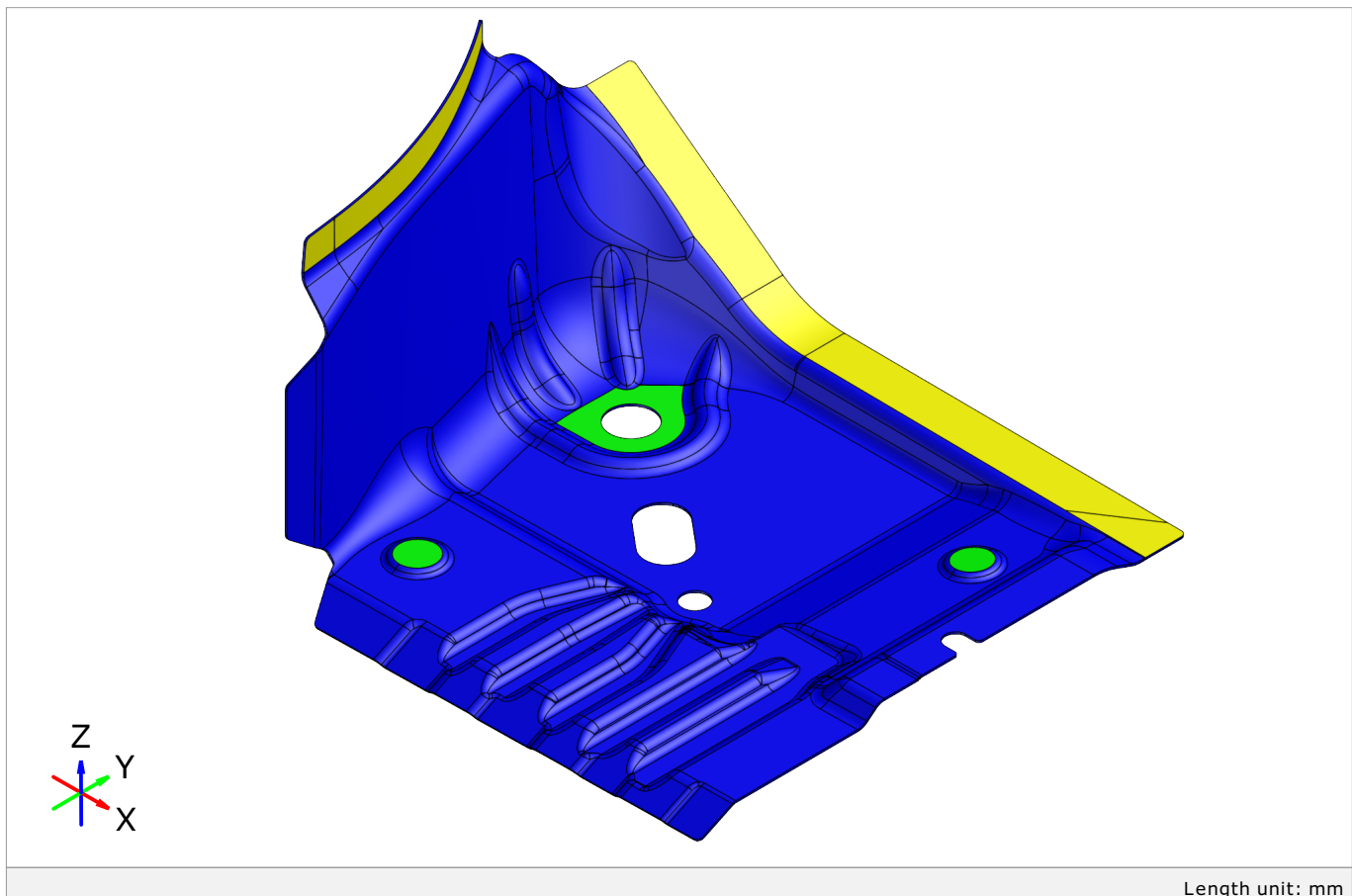
Korigirano_stanje



Izvješće o mjerenu: IOM-Diplomski rad

Datum izdavanja: 2020-09-21

Izvješće izdao: Luka Lukačić, bacc.ing.mech.



Naručitelj: Topomatika

Predmet mjerena: Corner Plare

Datum mjerena: 2020-08-03

Lokacija: Topomatika d.o.o.

Mjeritelj: Luka Lukačić

Rezultati mjerena: na stranicama 2 do 8

Mjerni sustav: ATOS ScanBox 5120

Mjerno područje: MV500

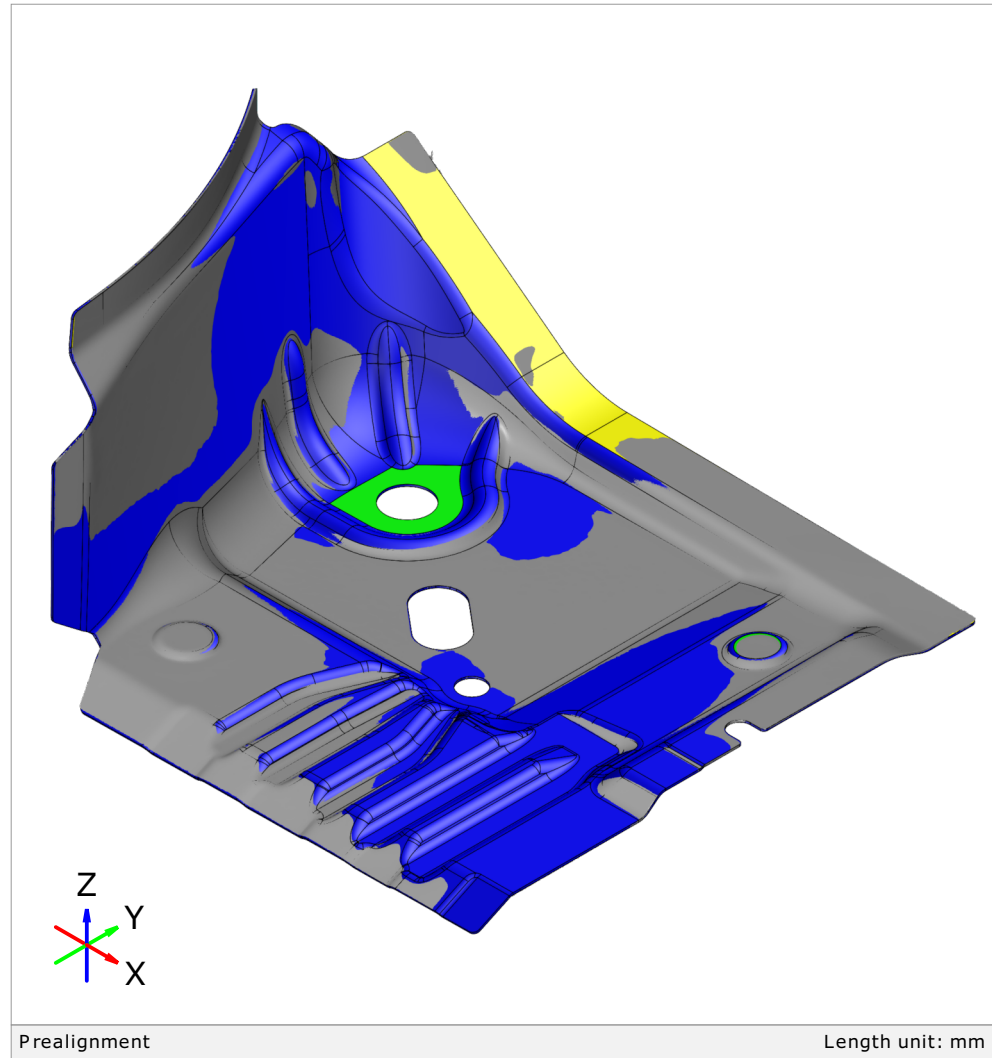
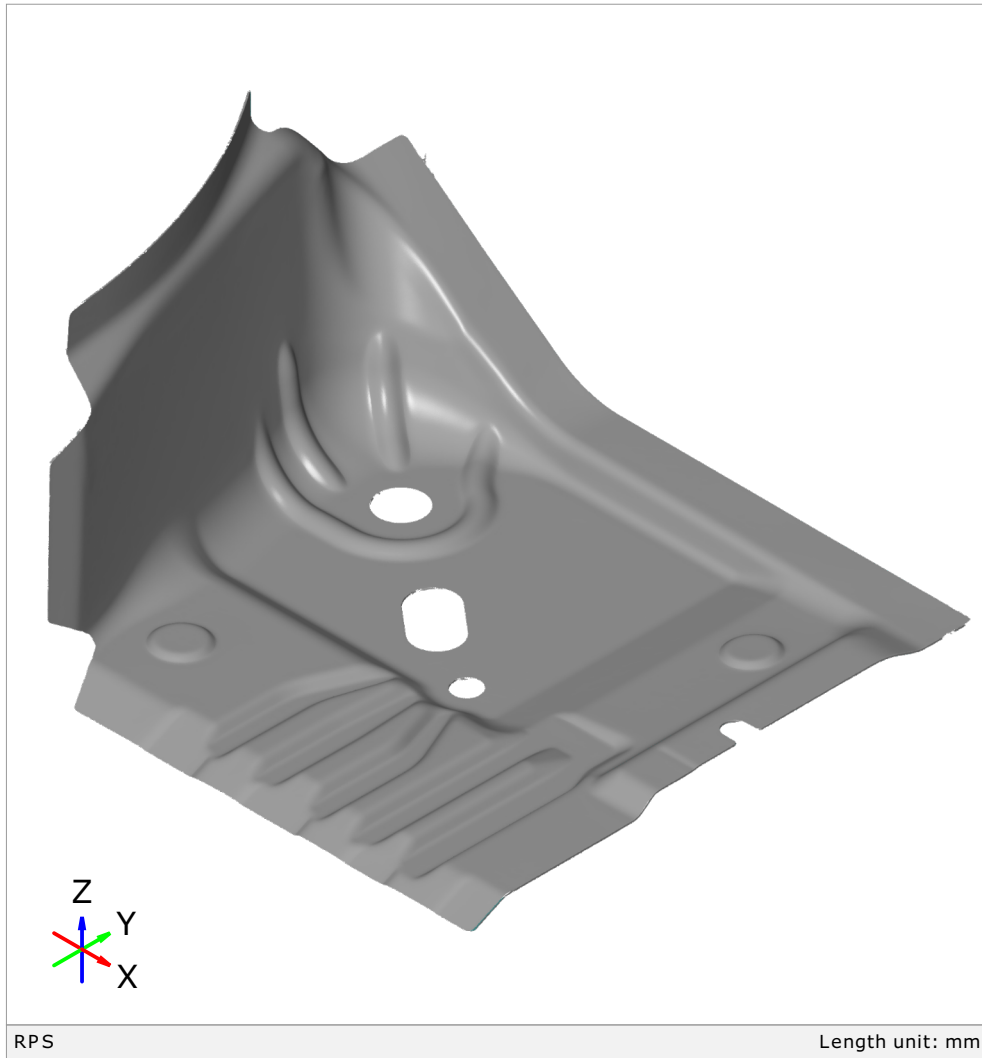
Serijski broj: 181039

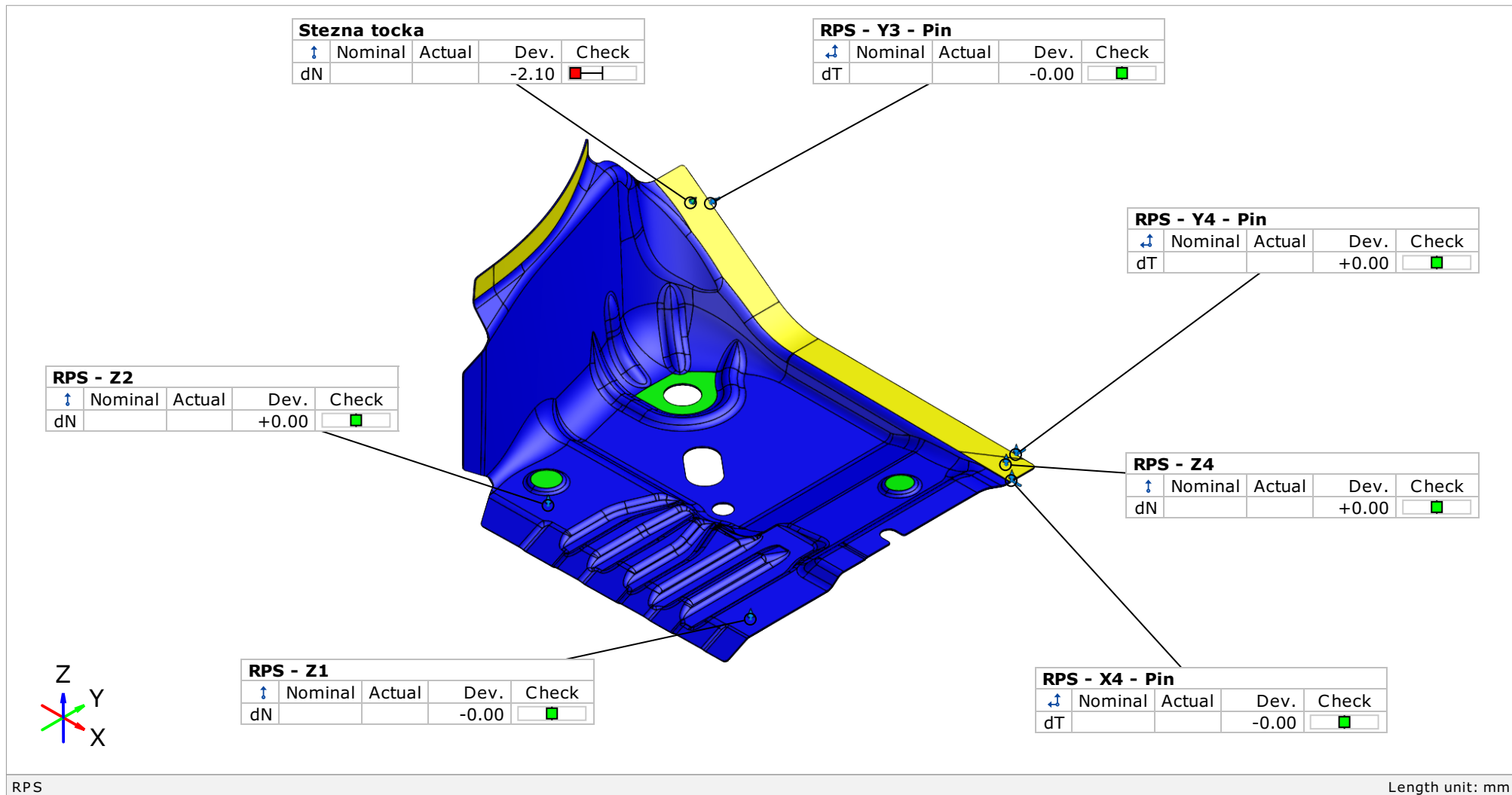
Temperatura i vlažnost: $22 \pm 1^\circ\text{C}$; $55\% \pm 10\%$

Napomena:

Rezultat skeniranja i poravnanje prema metodi najmanjih kvadrata

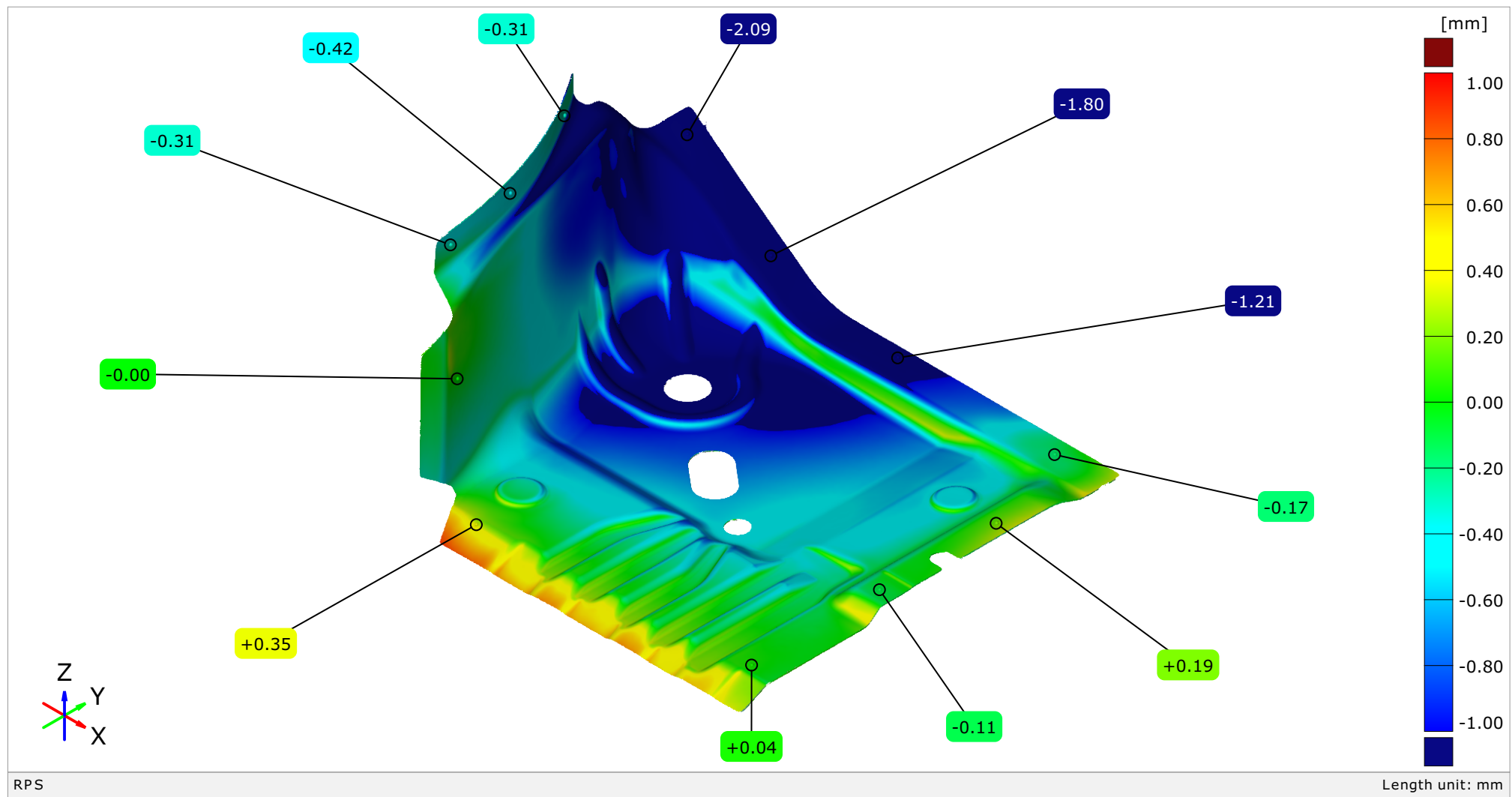
2/8





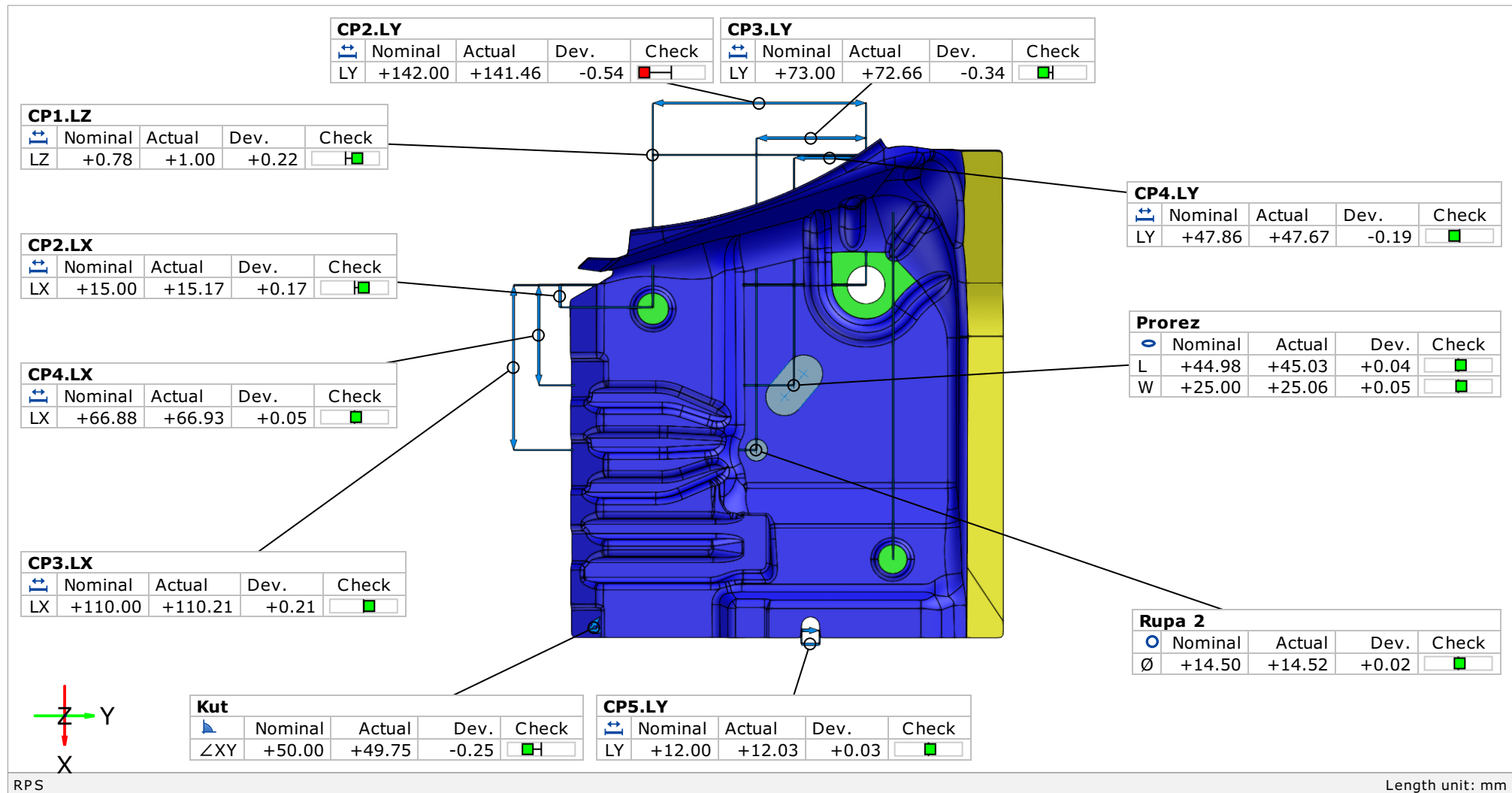
Usporedba površina CAD-Mesh u RPS poravnanju

4/8



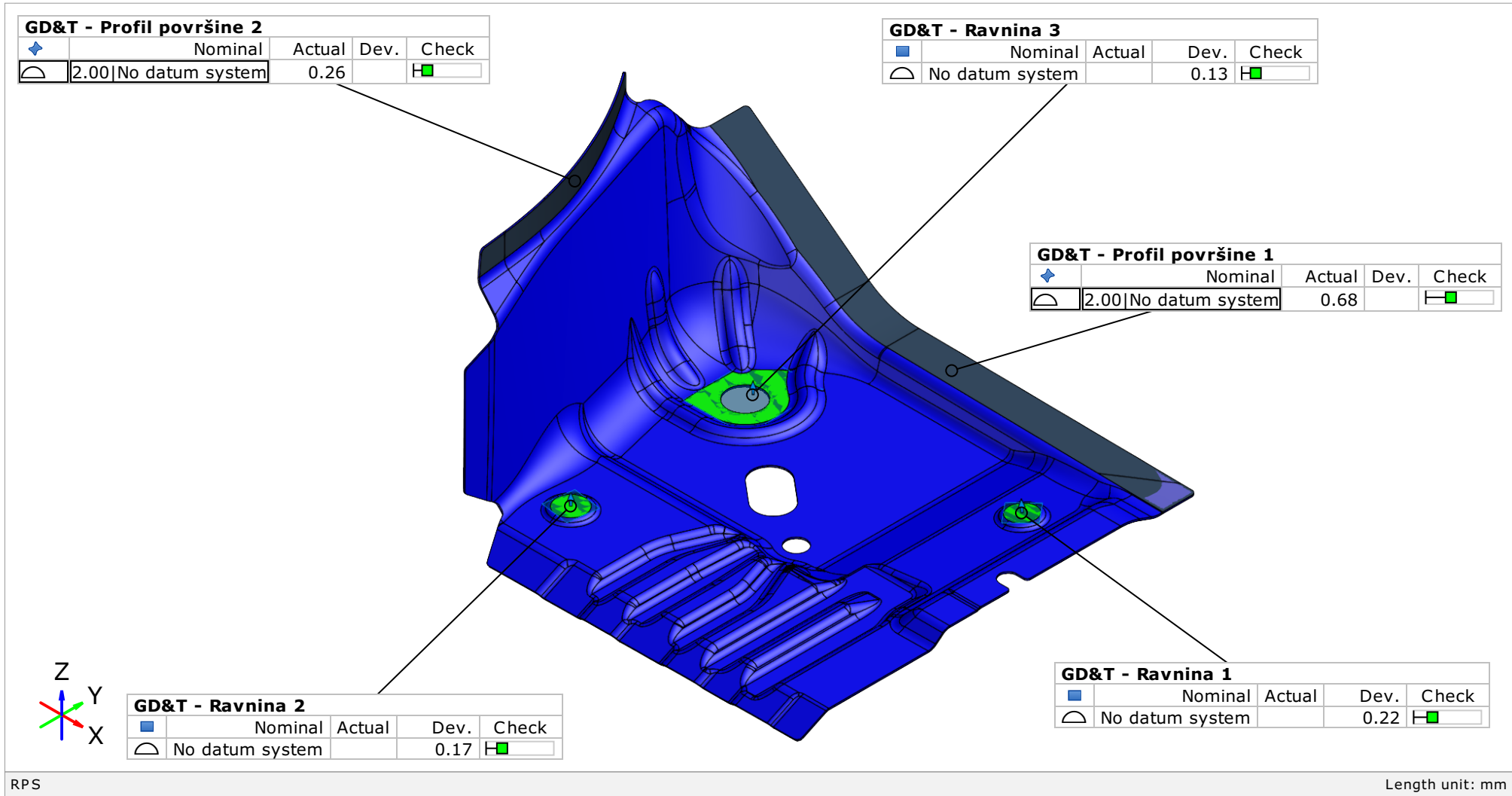
Mjerenje duljina

5/8



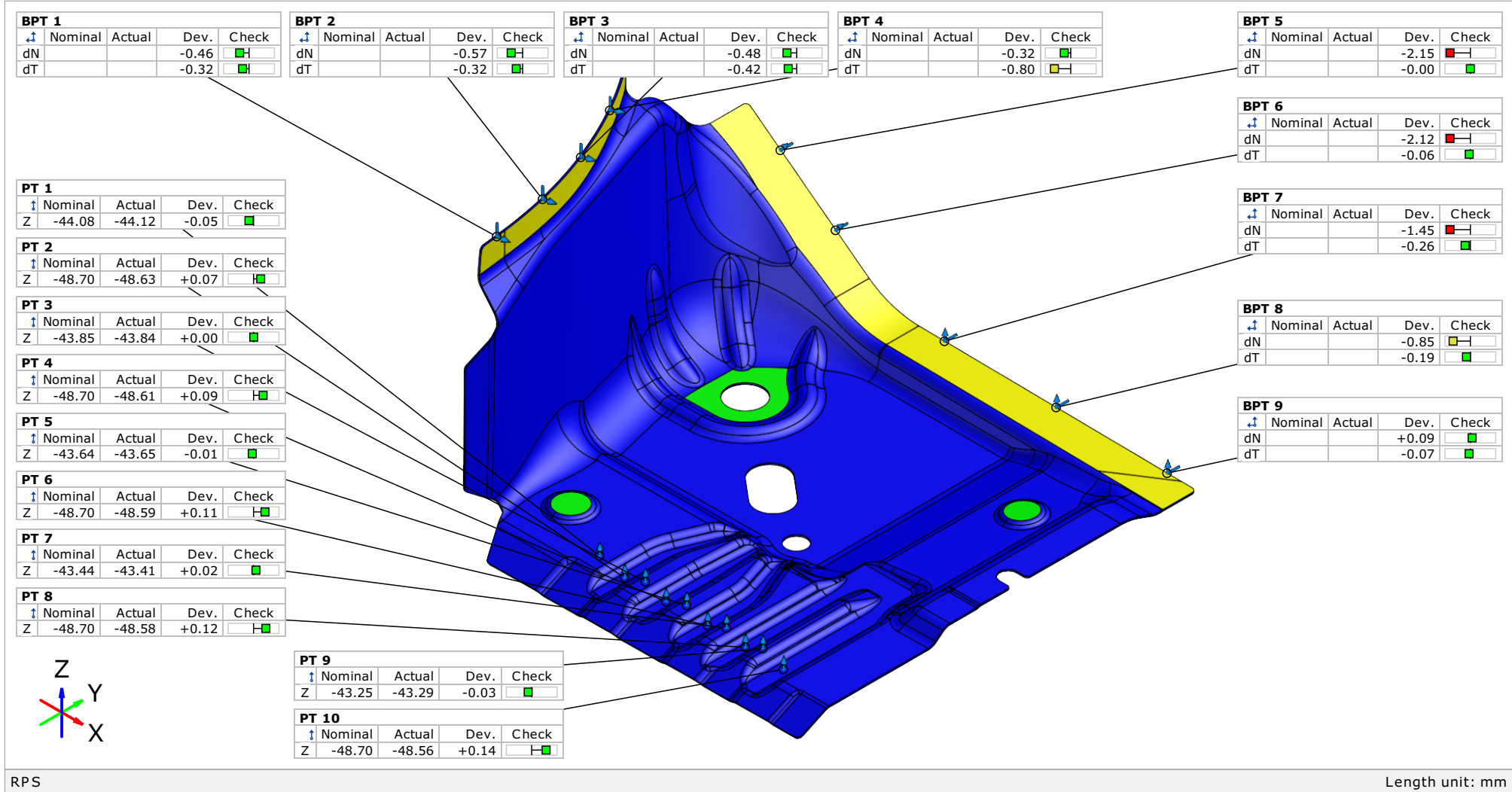
Tolerancija oblika i položaja

6/8



Kontrola površinskih i rubnih točaka

7/8



Tablica

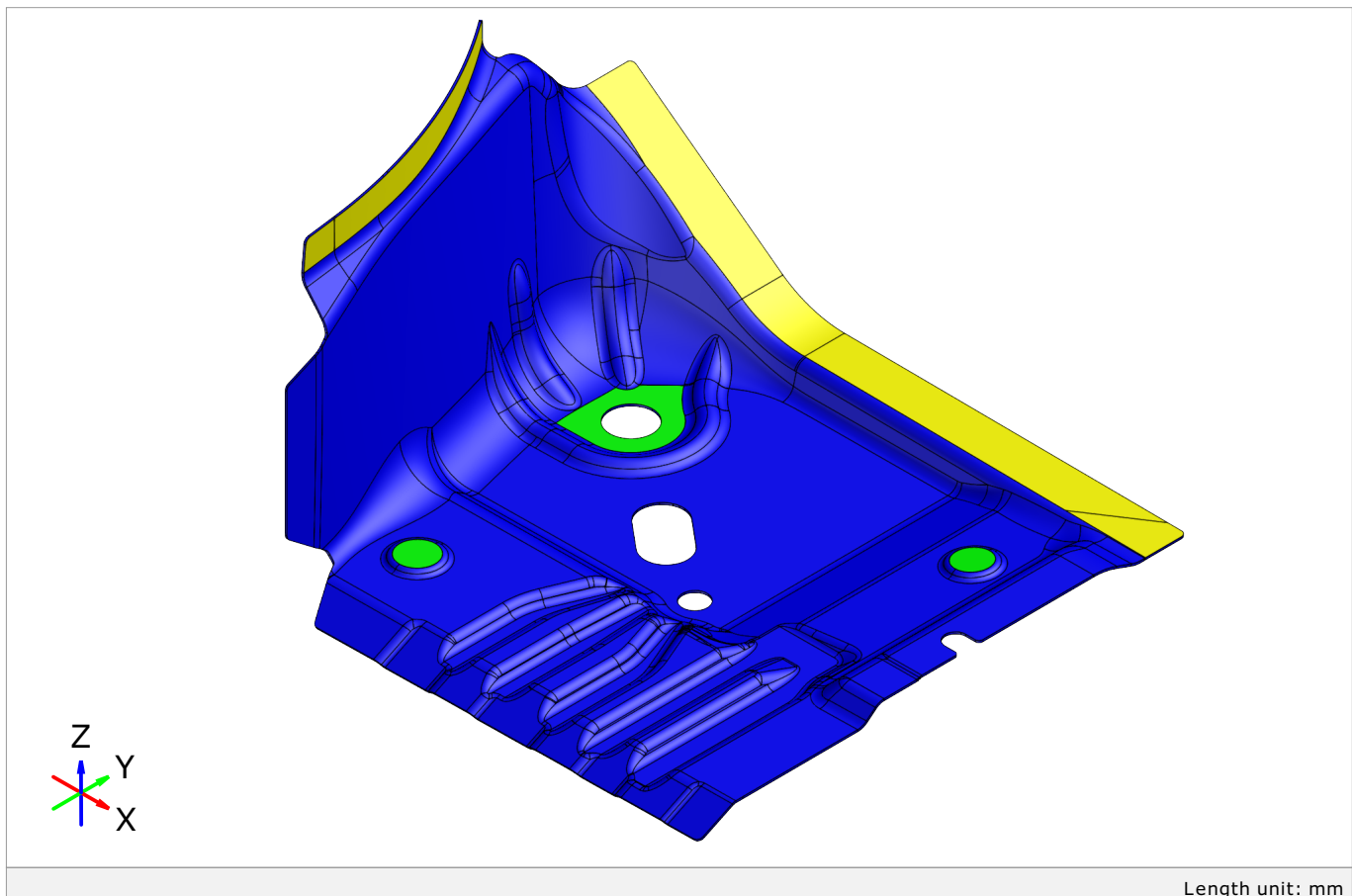
8/8

Element	Datum	Property	Nominal	Actual	Tol -	Tol +	Dev	Check	Out
↙ Kut		∠XY	+50.00	+49.75	-0.50	+0.50	-0.25	<input checked="" type="checkbox"/>	
↔ CP5		LY	+12.00	+12.03	-0.50	+0.50	+0.03	<input checked="" type="checkbox"/>	
↔ CP4		LY	+47.86	+47.67	-1.00	+1.00	-0.19	<input checked="" type="checkbox"/>	
↔ CP4		LX	+66.88	+66.93	-1.00	+1.00	+0.05	<input checked="" type="checkbox"/>	
↔ CP3		LY	+73.00	+72.66	-1.00	+1.00	-0.34	<input checked="" type="checkbox"/>	
↔ CP3		LX	+110.00	+110.21	-1.00	+1.00	+0.21	<input checked="" type="checkbox"/>	
↔ CP2		LY	+142.00	+141.46	-0.50	+0.50	-0.54	<input checked="" type="checkbox"/>	-0.04
↔ CP2		LX	+15.00	+15.17	-0.50	+0.50	+0.17	<input checked="" type="checkbox"/>	
↔ CP1		LZ	+0.78	+1.00	-0.50	+0.50	+0.22	<input checked="" type="checkbox"/>	
◆ GD&T - Profil površine 2		⌒	+0.00	+0.26	+0.00	+2.00	+0.26	<input checked="" type="checkbox"/>	
◆ GD&T - Profil površine 1		⌒	+0.00	+0.68	+0.00	+2.00	+0.68	<input checked="" type="checkbox"/>	
○ Prorez		W	+25.00	+25.06	-0.50	+0.50	+0.05	<input checked="" type="checkbox"/>	
○ Prorez		L	+44.98	+45.03	-0.50	+0.50	+0.04	<input checked="" type="checkbox"/>	
○ Rupa 2		Ø	+14.50	+14.52	-0.50	+0.50	+0.02	<input checked="" type="checkbox"/>	
■ GD&T - Ravnina 3		⌒	+0.00	+0.13	+0.00	+1.00	+0.13	<input checked="" type="checkbox"/>	
■ GD&T - Ravnina 2		⌒	+0.00	+0.17	+0.00	+1.00	+0.17	<input checked="" type="checkbox"/>	
■ GD&T - Ravnina 1		⌒	+0.00	+0.22	+0.00	+1.00	+0.22	<input checked="" type="checkbox"/>	
↔ RPS - Y3 - Pin		dT			-0.05	+0.05	-0.00	<input checked="" type="checkbox"/>	
↑ Stezna tocka		dN			-0.05	+0.05	-2.10	<input checked="" type="checkbox"/>	-2.05
↑ RPS - Z2		dN			-0.05	+0.05	+0.00	<input checked="" type="checkbox"/>	
↑ RPS - Z1		dN			-0.05	+0.05	-0.00	<input checked="" type="checkbox"/>	
RPS									Length unit: mm

Izvješće o mjerenu: IOM-Virtualno stezanje

Datum izdavanja: 2020-09-21

Izvješće izdao: Luka Lukačić, bacc.ing.mech.



Naručitelj: Topomatika

Predmet mjerena: Corner Plare

Datum mjerena: 2020-08-03

Lokacija: Topomatika d.o.o.

Mjeritelj: Luka Lukačić

Rezultati mjerena: na stranicama 2 do 8

Mjerni sustav: ATOS ScanBox 5120

Mjerno područje: MV500

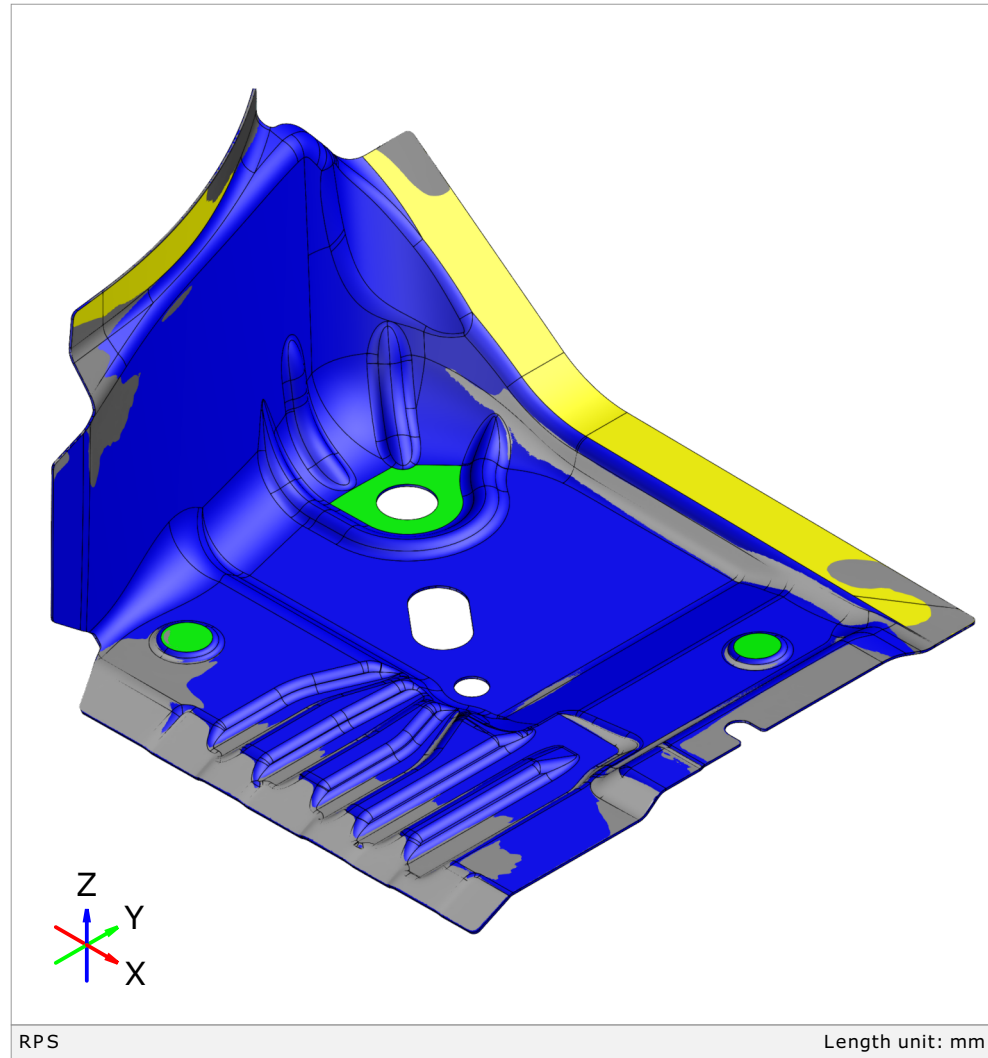
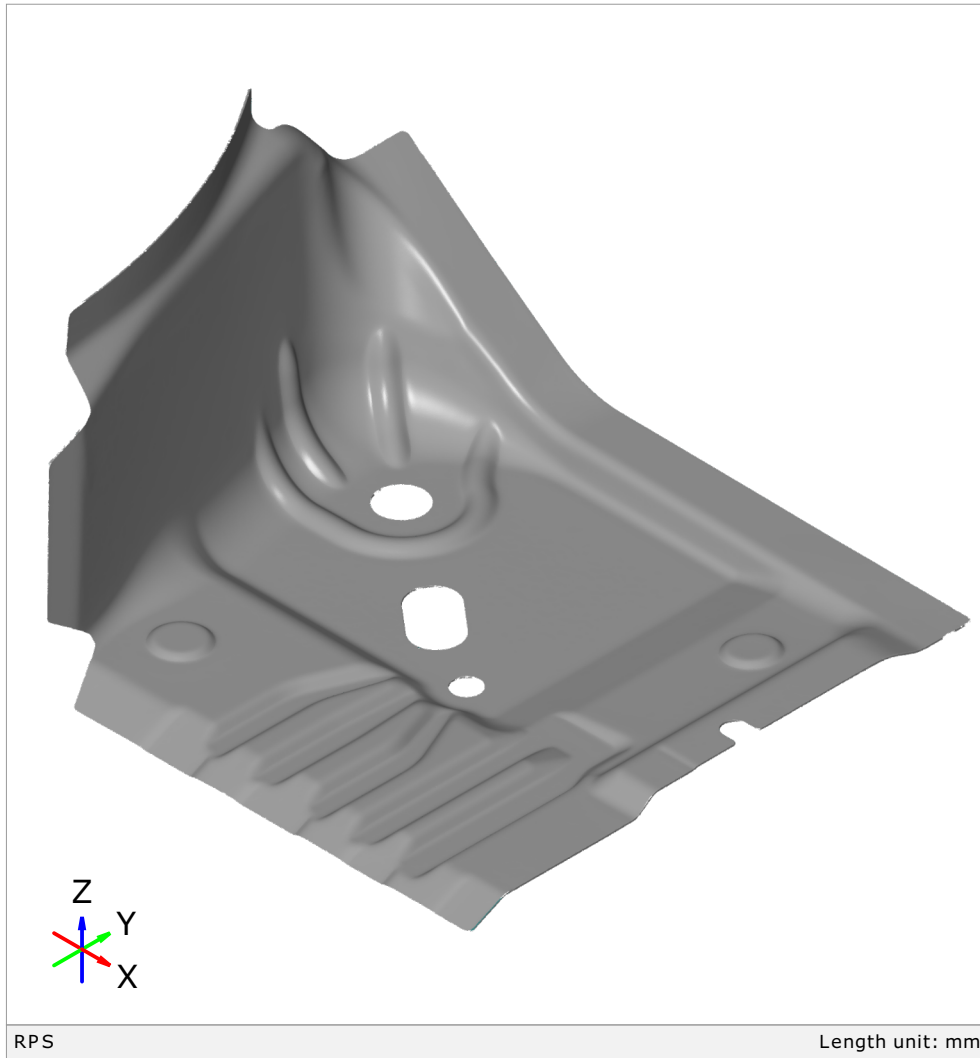
Serijski broj: 181039

Temperatura i vlažnost: $22 \pm 1^\circ\text{C}$; $55\% \pm 10\%$

Napomena:

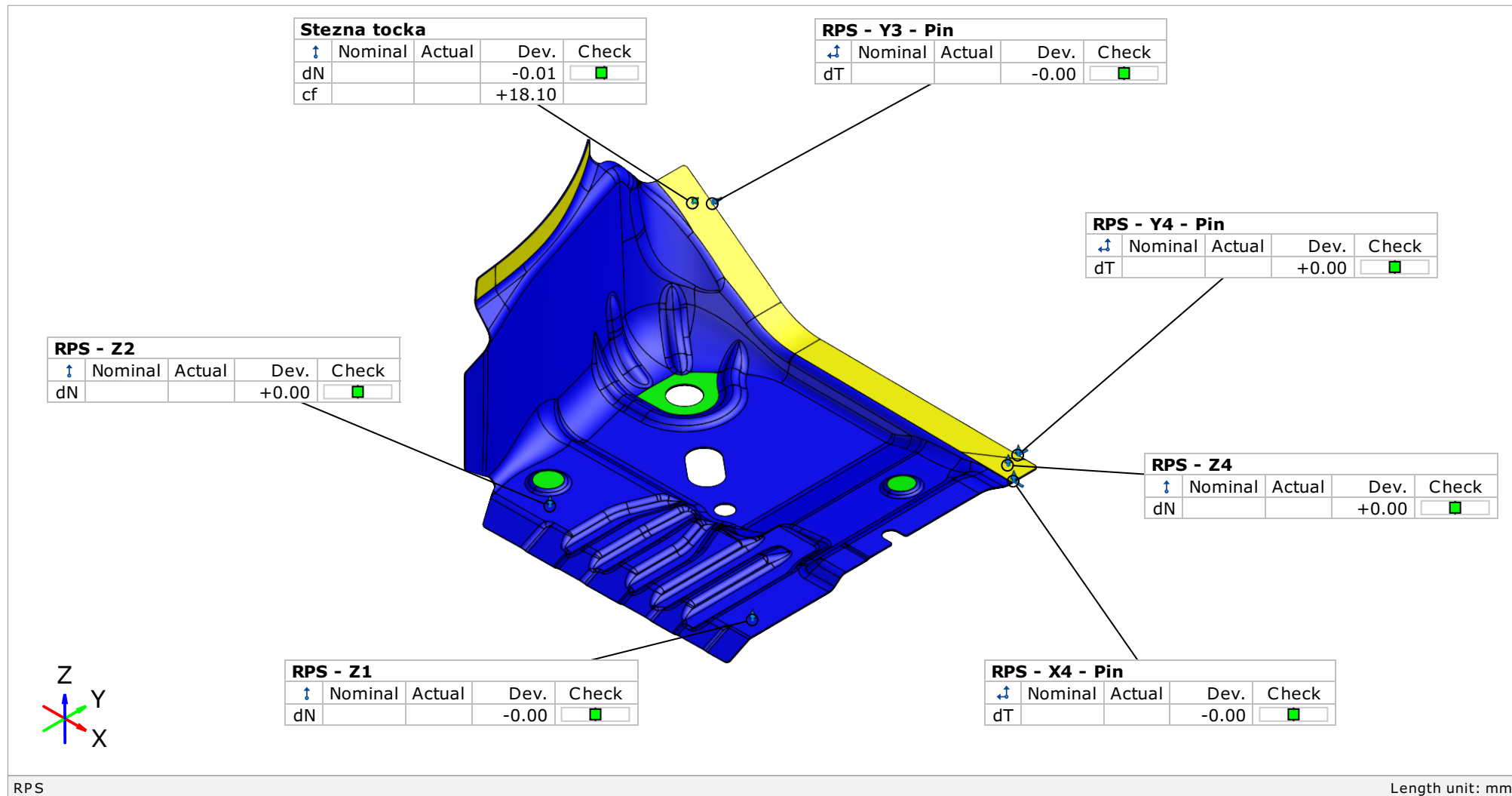
Rezultat skeniranja i poravnanje prema RPS točkama

2/8



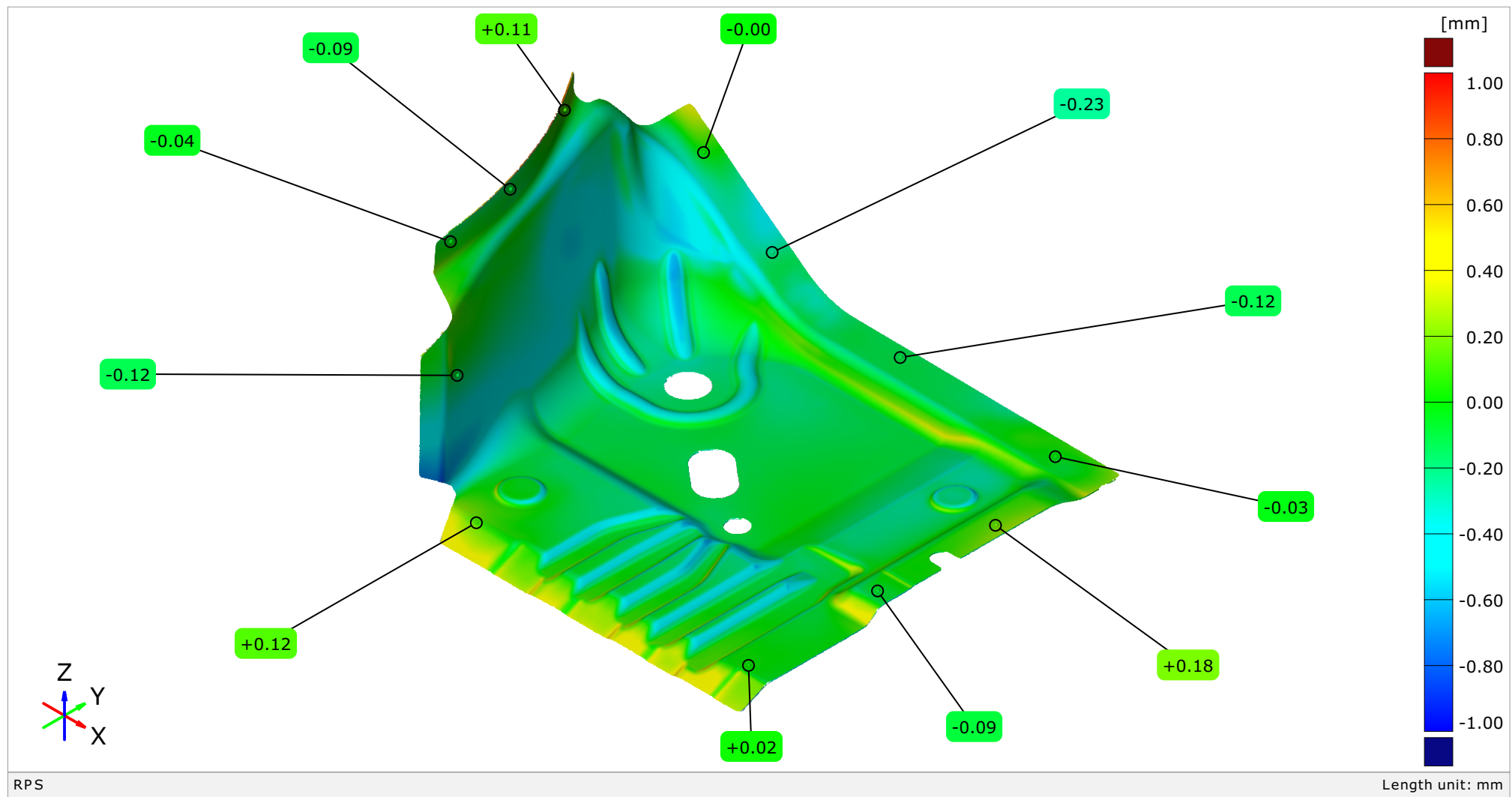
RPS poravnanje i stezna točka nakon virtualnog stezanje (cf=sila stezanja [N])

3/8



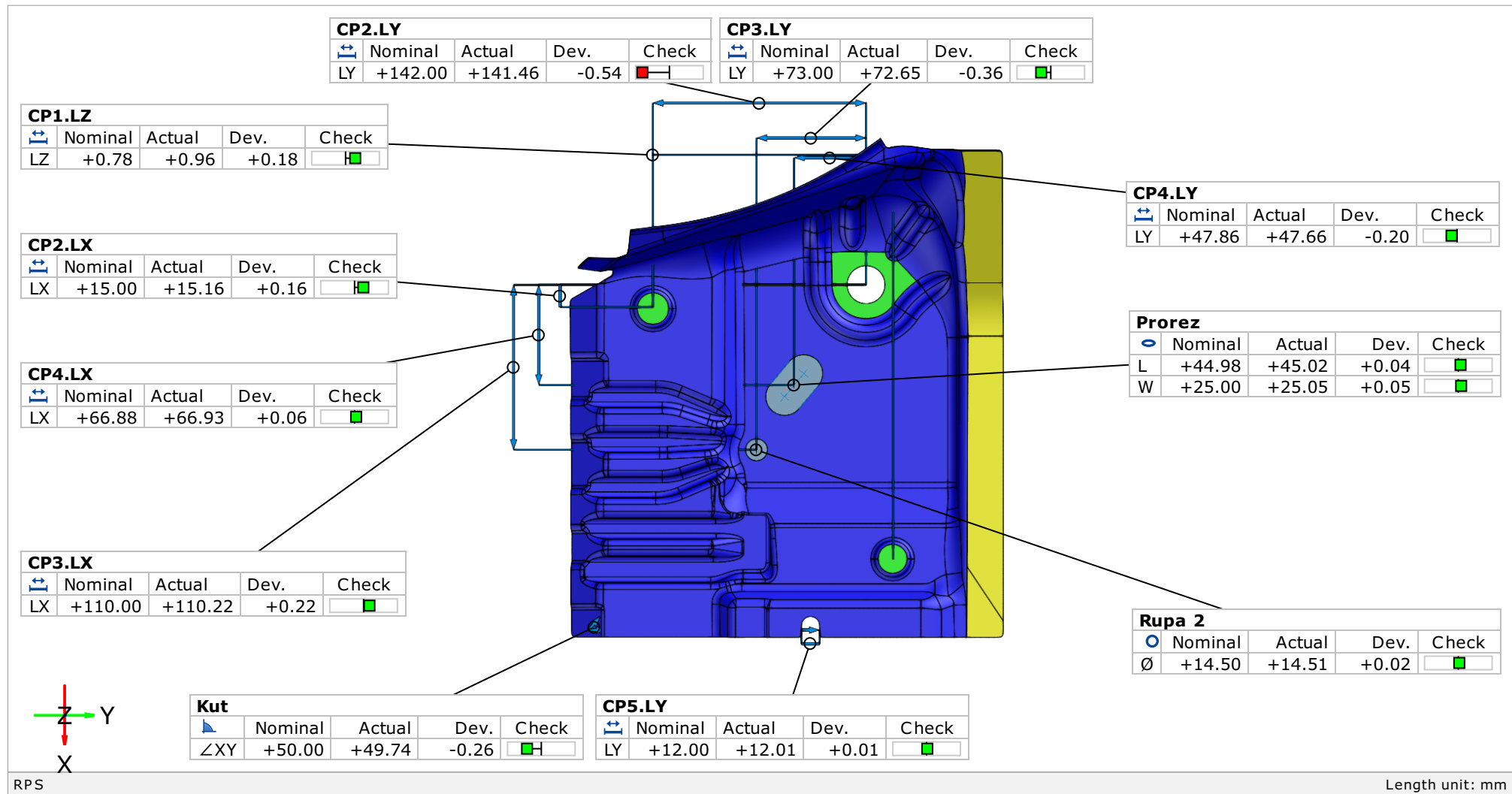
Usporedba površina CAD-Mesh u RPS poravnanju

4/8



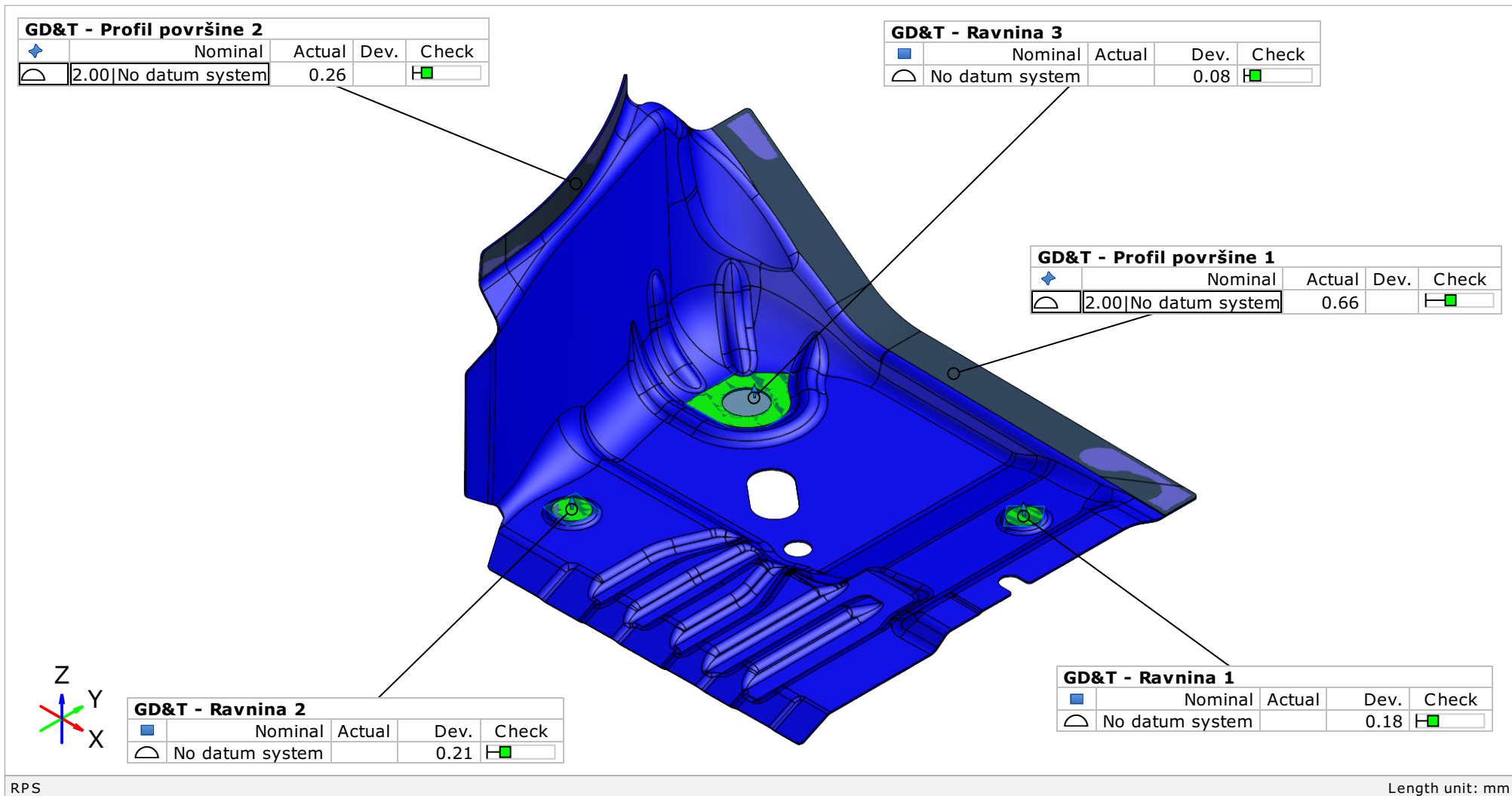
Mjerenje duljina

5/8



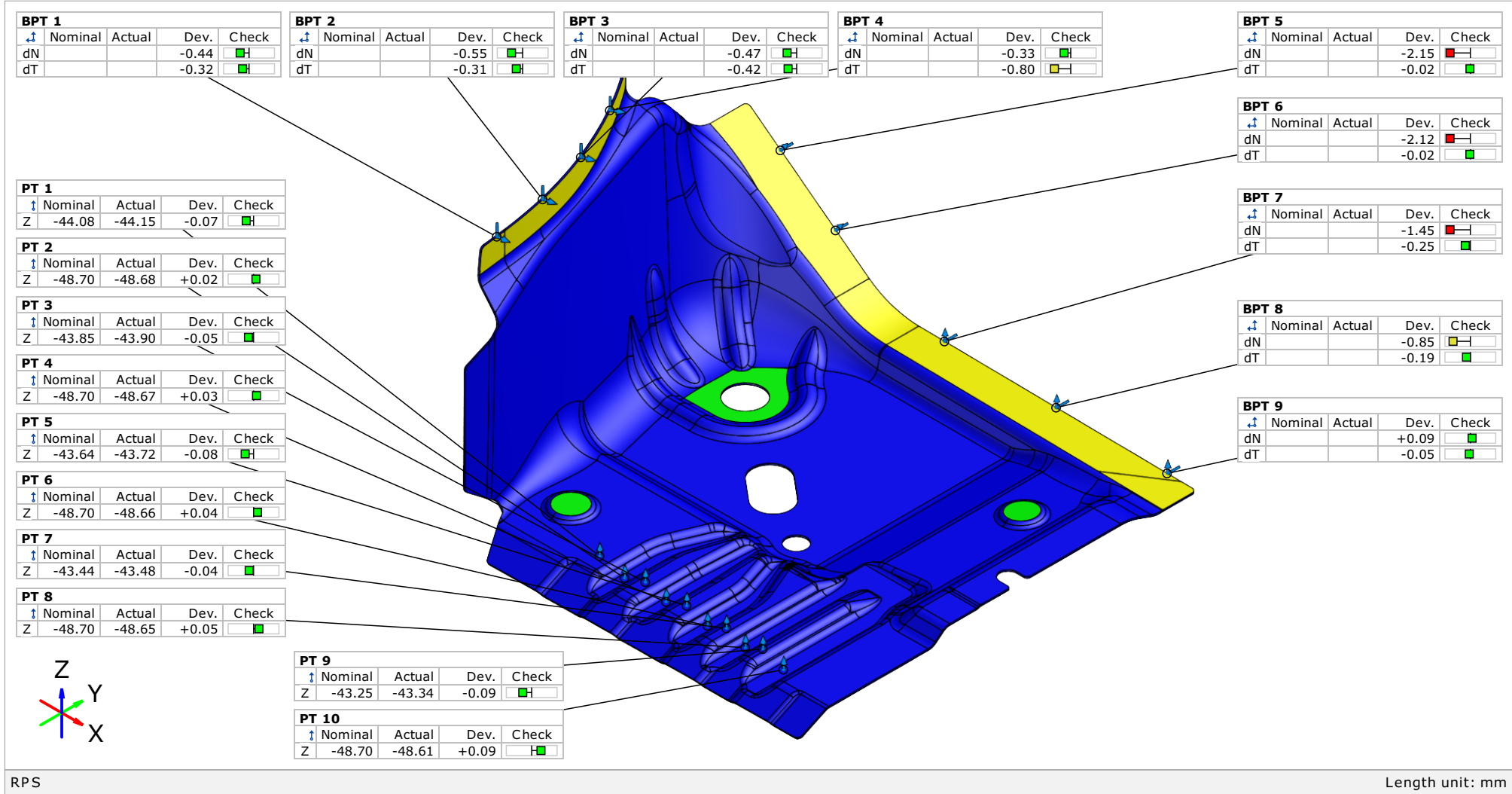
Tolerancija oblika i položaja

6/8



Ovaj dokument može se obnoviti samo u cijelosti. Djelomično obnavljanje moguće je samo uz pismeno odobrenje Topomatike d.o.o., uz navođenje broja pod kojim se vodi isto pismeno odobrenje.
 This document may be reproduced only in full. It may be partially reproduced only by written approval of the Topomatika d.o.o., together with the quotation of the reference number of the same written.





Ovaj dokument može se obnoviti samo u cijelosti. Djelomično obnavljanje moguće je samo uz pismeno odobrenje Topomatike d.o.o., uz navođenje broja pod kojim se vodi isto pismeno odobrenje.
This document may be reproduced only in full. It may be partially reproduced only by written approval of the Topomatika d.o.o., together with the quotation of the reference number of the same written.



Tablica

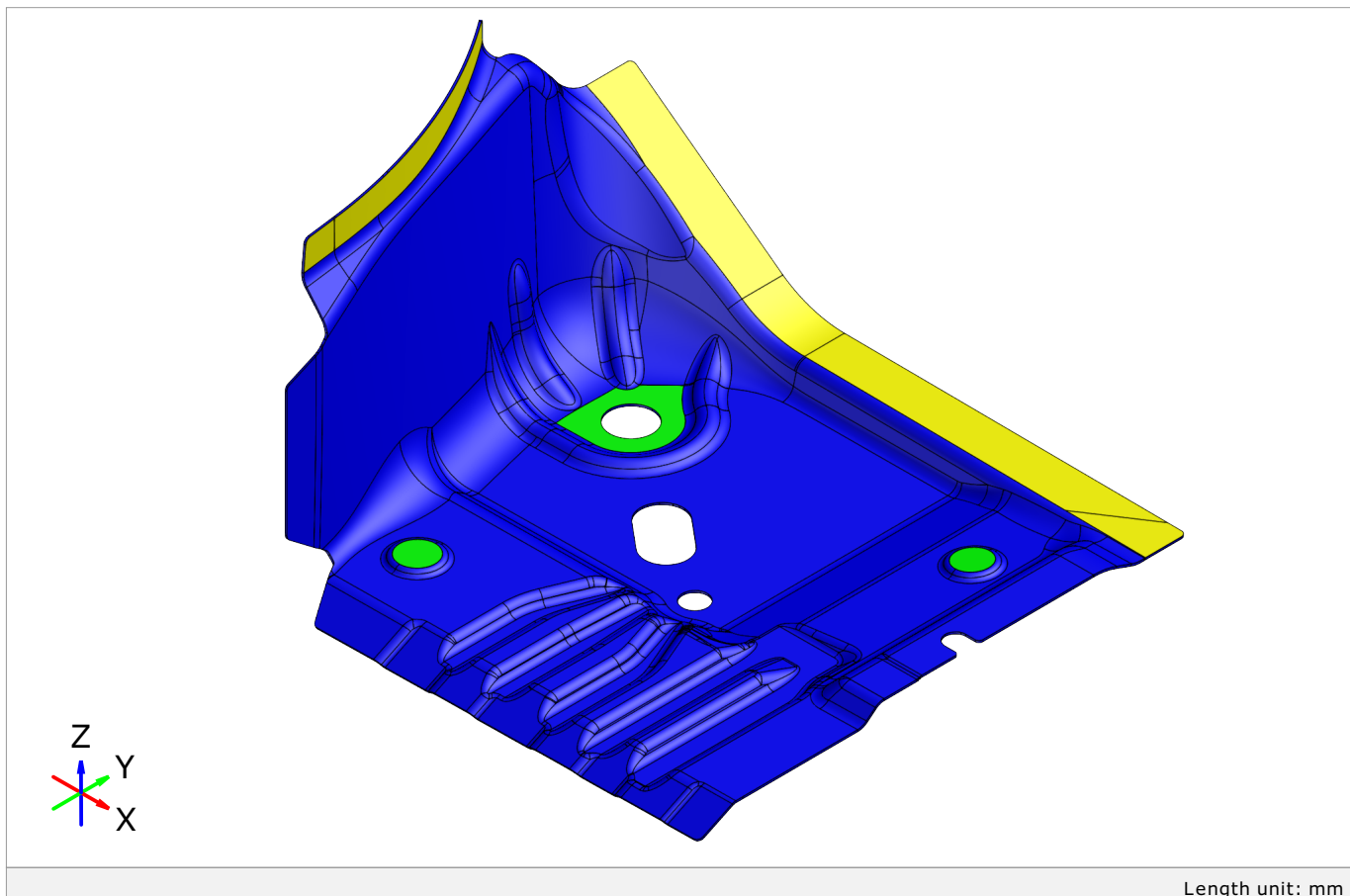
8/8

Element	Datum	Property	Nominal	Actual	Tol -	Tol +	Dev	Check	Out
↙ Kut		∠XY	+50.00	+49.74	-0.50	+0.50	-0.26	<input checked="" type="checkbox"/>	
↔ CP5		LY	+12.00	+12.01	-0.50	+0.50	+0.01	<input checked="" type="checkbox"/>	
↔ CP4		LY	+47.86	+47.66	-1.00	+1.00	-0.20	<input checked="" type="checkbox"/>	
↔ CP4		LX	+66.88	+66.93	-1.00	+1.00	+0.06	<input checked="" type="checkbox"/>	
↔ CP3		LY	+73.00	+72.65	-1.00	+1.00	-0.36	<input checked="" type="checkbox"/>	
↔ CP3		LX	+110.00	+110.22	-1.00	+1.00	+0.22	<input checked="" type="checkbox"/>	
↔ CP2		LY	+142.00	+141.46	-0.50	+0.50	-0.54	<input checked="" type="checkbox"/>	-0.04
↔ CP2		LX	+15.00	+15.16	-0.50	+0.50	+0.16	<input checked="" type="checkbox"/>	
↔ CP1		LZ	+0.78	+0.96	-0.50	+0.50	+0.18	<input checked="" type="checkbox"/>	
◆ GD&T - Profil površine 2		⌒	+0.00	+0.26	+0.00	+2.00	+0.26	<input checked="" type="checkbox"/>	
◆ GD&T - Profil površine 1		⌒	+0.00	+0.66	+0.00	+2.00	+0.66	<input checked="" type="checkbox"/>	
○ Prorez		W	+25.00	+25.05	-0.50	+0.50	+0.05	<input checked="" type="checkbox"/>	
○ Prorez		L	+44.98	+45.02	-0.50	+0.50	+0.04	<input checked="" type="checkbox"/>	
○ Rupa 2		Ø	+14.50	+14.51	-0.50	+0.50	+0.02	<input checked="" type="checkbox"/>	
■ GD&T - Ravnina 3		⌒	+0.00	+0.08	+0.00	+1.00	+0.08	<input checked="" type="checkbox"/>	
■ GD&T - Ravnina 2		⌒	+0.00	+0.21	+0.00	+1.00	+0.21	<input checked="" type="checkbox"/>	
■ GD&T - Ravnina 1		⌒	+0.00	+0.18	+0.00	+1.00	+0.18	<input checked="" type="checkbox"/>	
↔ RPS - Y4 - Pin		dT			-0.05	+0.05	+0.00	<input checked="" type="checkbox"/>	
↔ RPS - Y3 - Pin		dT			-0.05	+0.05	-0.00	<input checked="" type="checkbox"/>	
↔ RPS - X4 - Pin		dT			-0.05	+0.05	-0.00	<input checked="" type="checkbox"/>	
↑ Stezna tocka		cf					+18.10		
↑ Stezna tocka		dN			-0.05	+0.05	-0.01	<input checked="" type="checkbox"/>	
↑ RPS - Z4		dN			-0.05	+0.05	+0.00	<input checked="" type="checkbox"/>	
↑ RPS - Z2		dN			-0.05	+0.05	+0.00	<input checked="" type="checkbox"/>	
↑ RPS - Z1		dN			-0.05	+0.05	-0.00	<input checked="" type="checkbox"/>	
RPS									Length unit: mm

Izvješće o mjerenu: IOM-Mehanicko stezanje

Datum izdavanja: 2020-09-21

Izvješće izdao: Luka Lukačić, bacc.ing.mech.



Naručitelj: Topomatika

Predmet mjerena: Corner Plare

Datum mjerena: 2020-08-03

Lokacija: Topomatika d.o.o.

Mjeritelj: Luka Lukačić

Rezultati mjerena: na stranicama 2 do 8

Mjerni sustav: ATOS ScanBox 5120

Mjerno područje: MV500

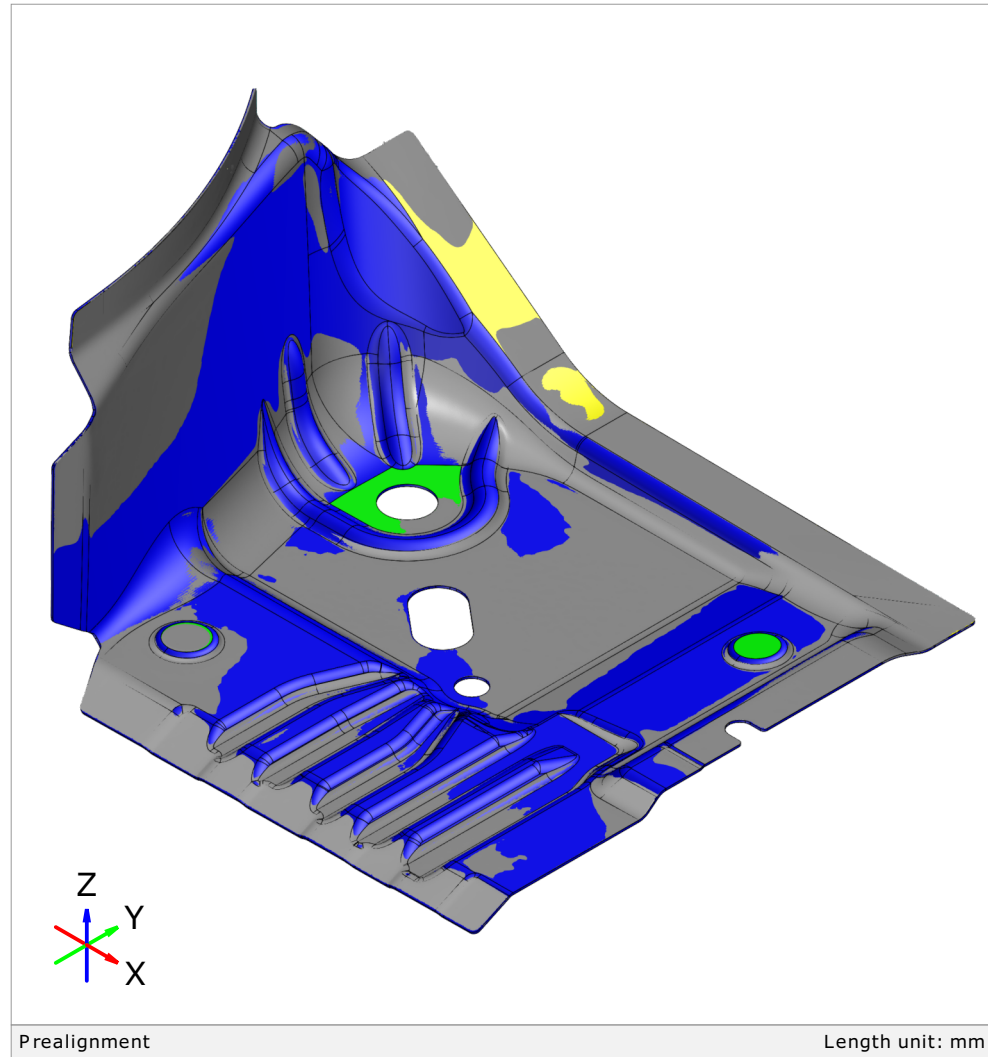
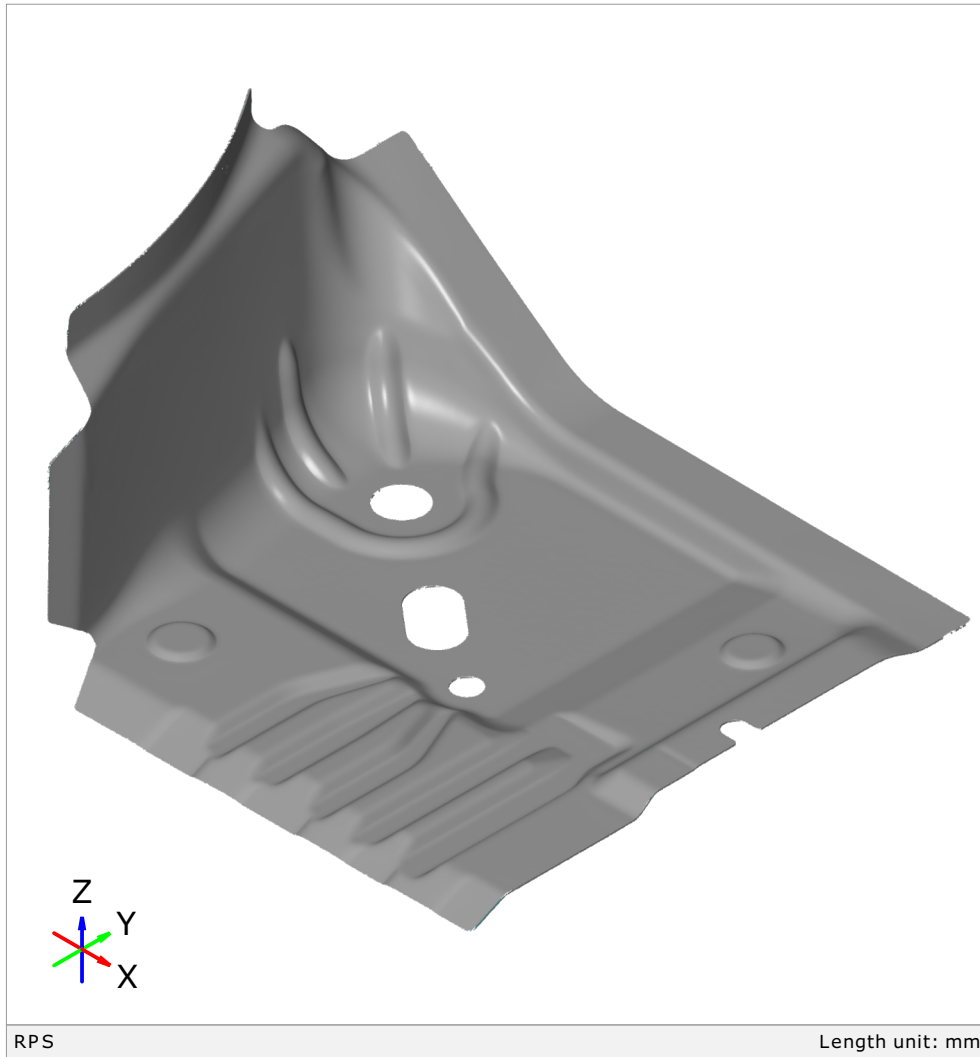
Serijski broj: 181039

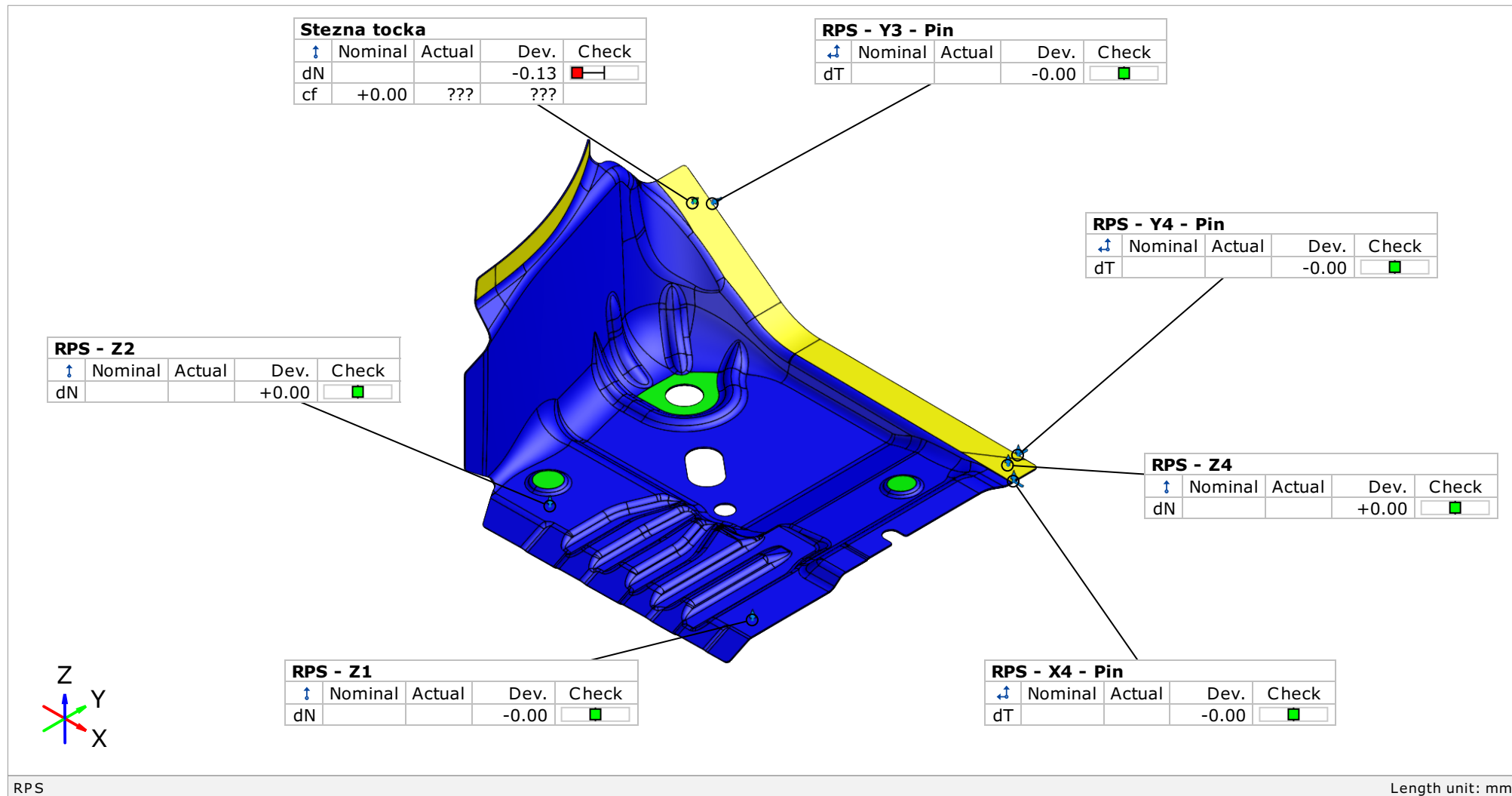
Temperatura i vlažnost: $22 \pm 1^\circ\text{C}$; $55\% \pm 10\%$

Napomena:

Rezultat skeniranja i poravnanje prema metodi najmanjih kvadrata

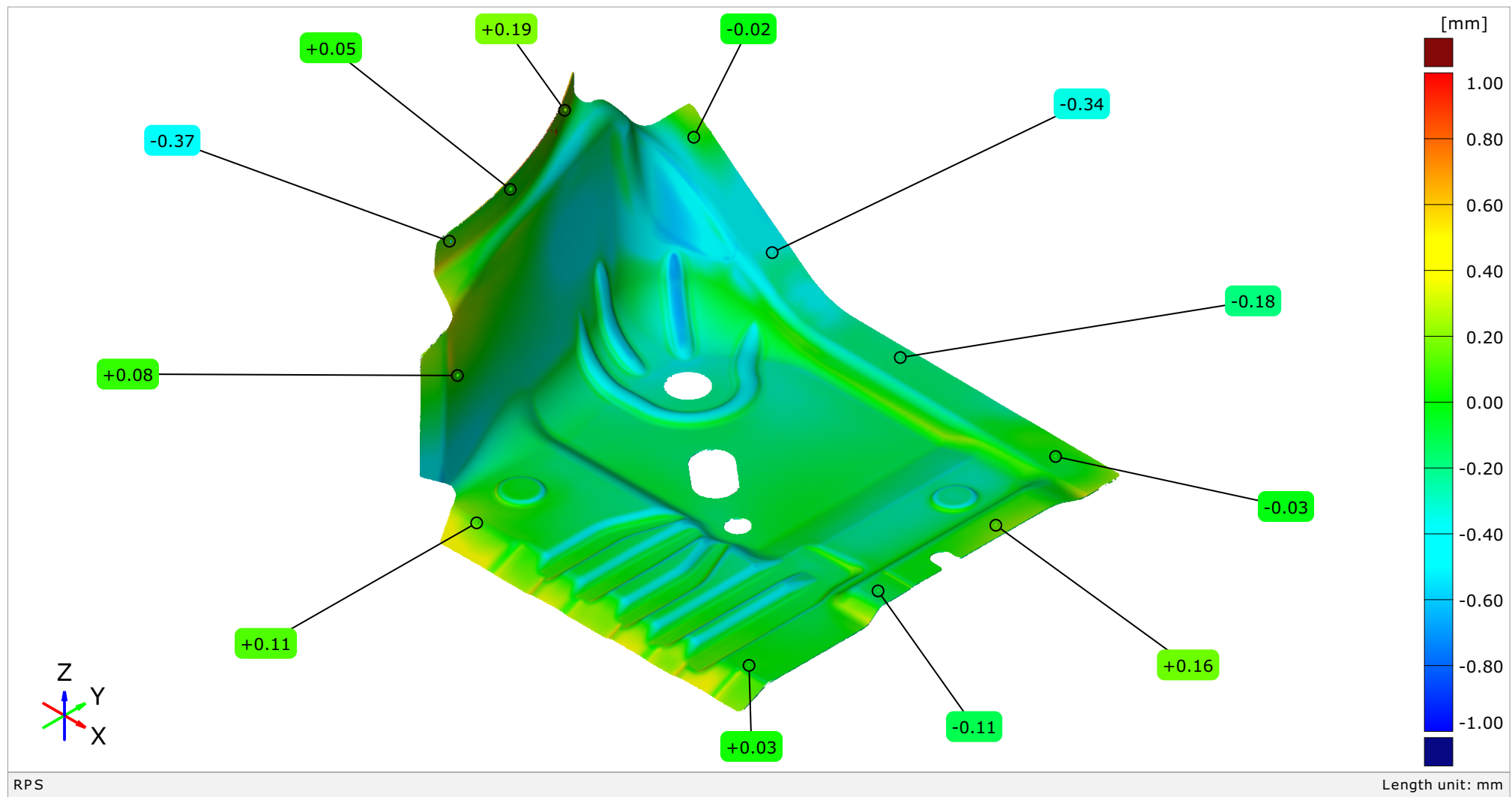
2/8





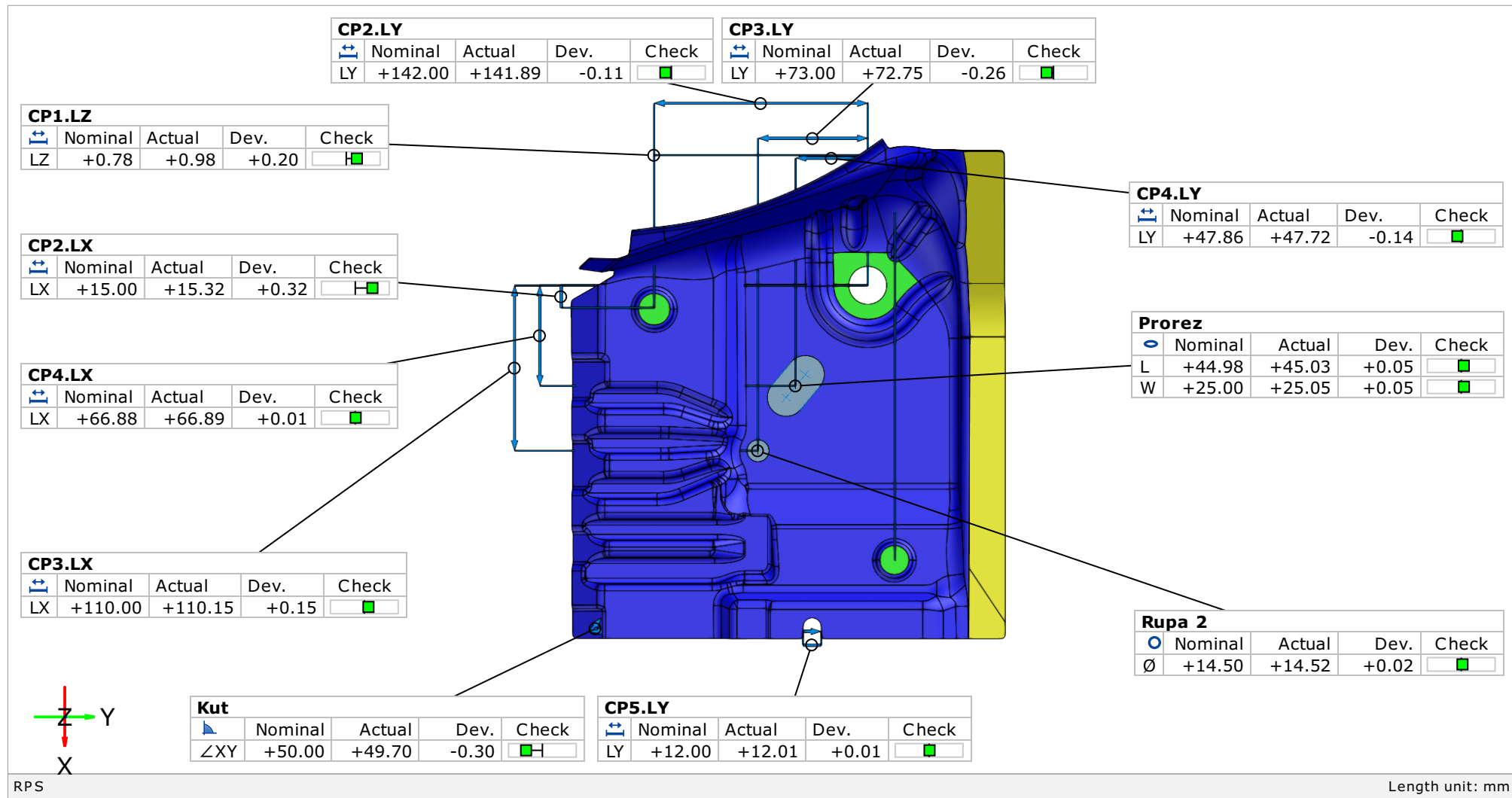
Usporedba površina CAD-Mesh u RPS poravnanju

4/8



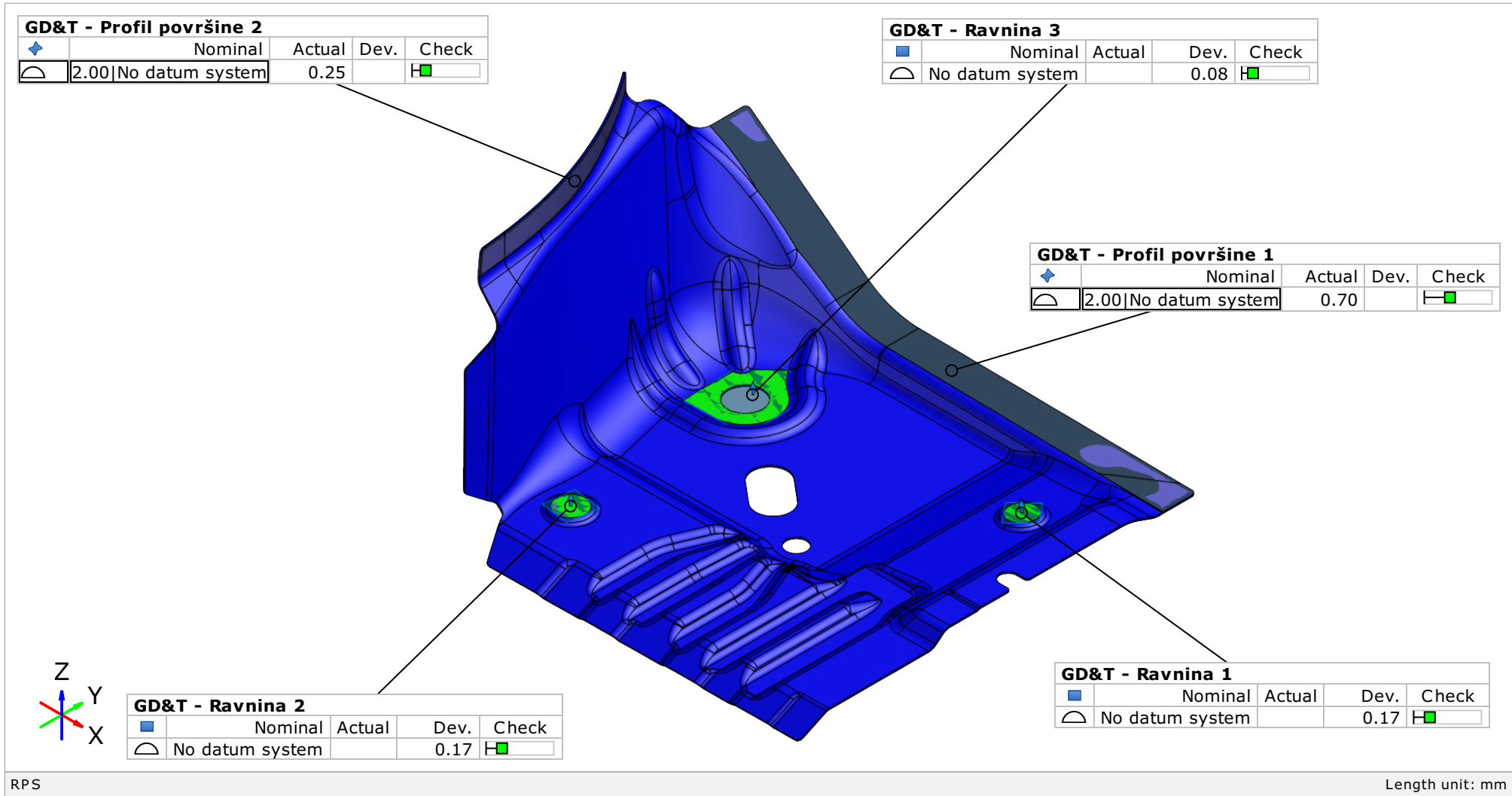
Mjerenje duljina

5/8



Tolerancija oblika i položaja

6/8

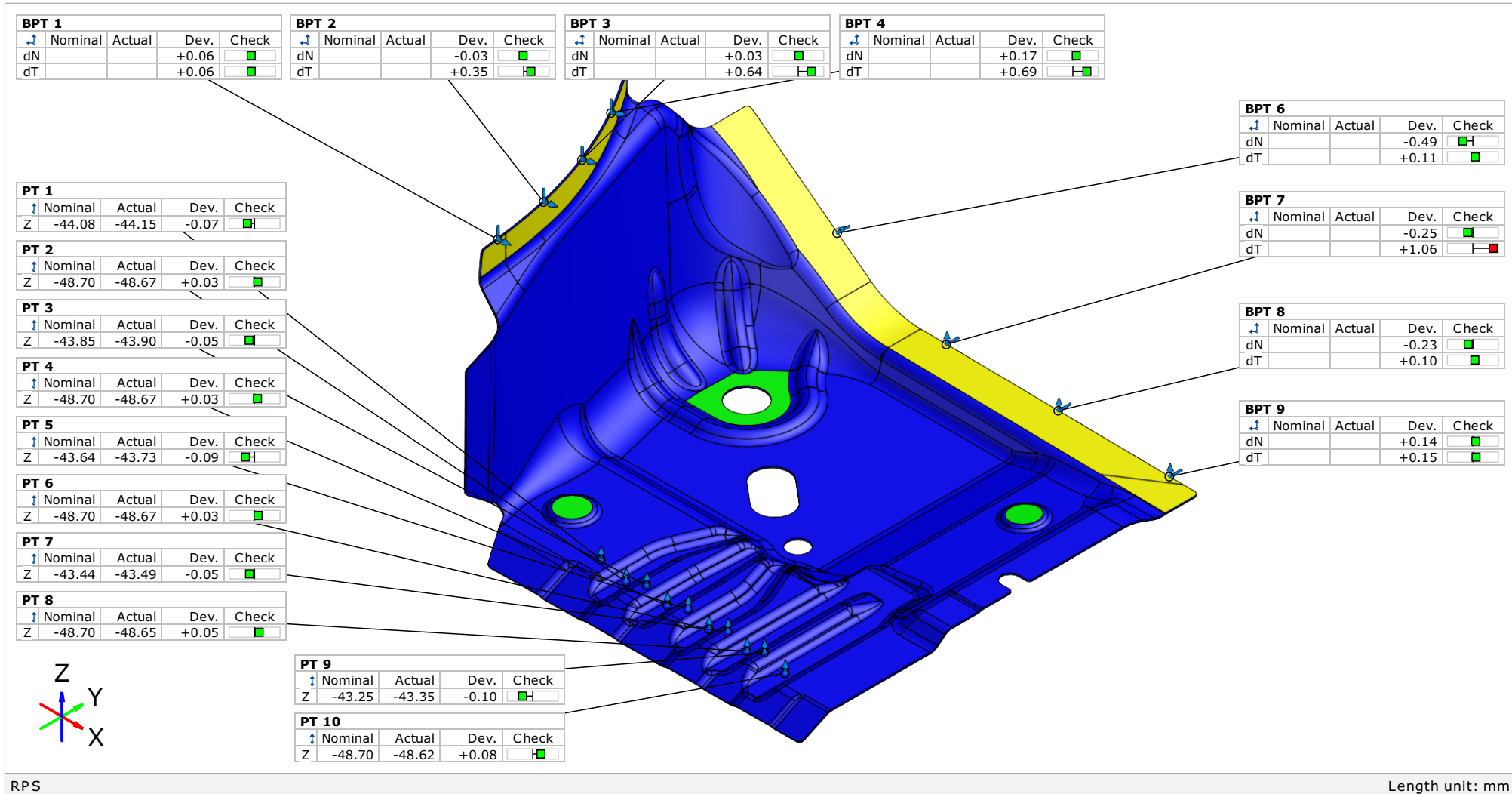


Ovaj dokument može se obnoviti samo u cijelosti. Djelomično obnavljanje moguće je samo uz pismeno odobrenje Topomatike d.o.o., uz navođenje broja pod kojim se vodi isto pismeno odobrenje.
 This document may be reproduced only in full. It may be partially reproduced only by written approval of the Topomatika d.o.o., together with the quotation of the reference number of the same written.



Kontrola površinskih i rubnih točaka

7/8



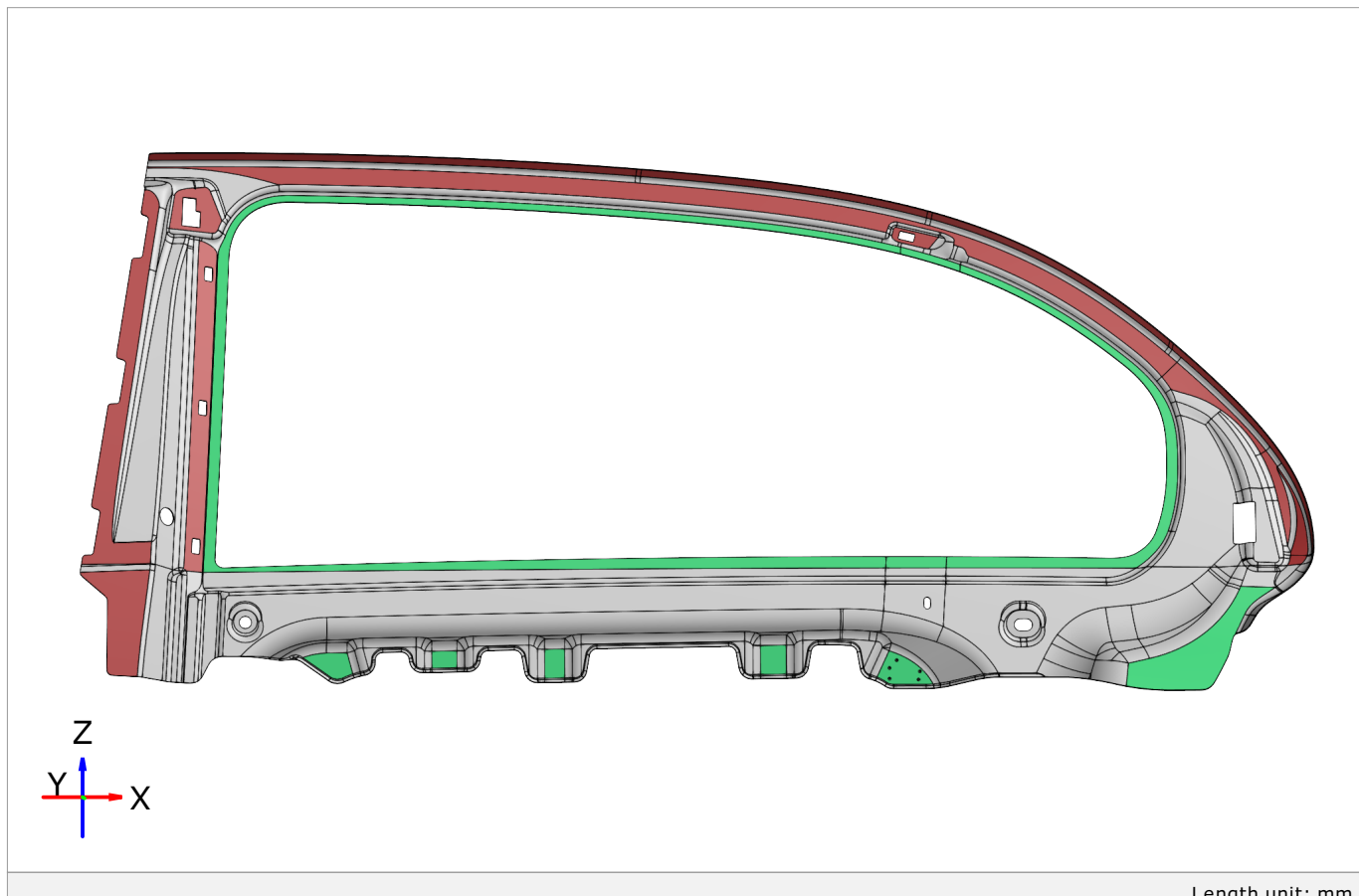
Tablica

Element	Datum	Property	Nominal	Actual	Tol -	Tol +	Dev	Check	Out
↙ Kut		∠XY	+50.00	+49.70	-0.50	+0.50	-0.30	<input checked="" type="checkbox"/>	
↔ CP5		LY	+12.00	+12.01	-0.50	+0.50	+0.01	<input checked="" type="checkbox"/>	
↔ CP4		LY	+47.86	+47.72	-1.00	+1.00	-0.14	<input checked="" type="checkbox"/>	
↔ CP4		LX	+66.88	+66.89	-1.00	+1.00	+0.01	<input checked="" type="checkbox"/>	
↔ CP3		LY	+73.00	+72.75	-1.00	+1.00	-0.26	<input checked="" type="checkbox"/>	
↔ CP3		LX	+110.00	+110.15	-1.00	+1.00	+0.15	<input checked="" type="checkbox"/>	
↔ CP2		LY	+142.00	+141.89	-0.50	+0.50	-0.11	<input checked="" type="checkbox"/>	
↔ CP2		LX	+15.00	+15.32	-0.50	+0.50	+0.32	<input checked="" type="checkbox"/>	
↔ CP1		LZ	+0.78	+0.98	-0.50	+0.50	+0.20	<input checked="" type="checkbox"/>	
◆ GD&T - Profil površine 2		⌒	+0.00	+0.25	+0.00	+2.00	+0.25	<input checked="" type="checkbox"/>	
◆ GD&T - Profil površine 1		⌒	+0.00	+0.70	+0.00	+2.00	+0.70	<input checked="" type="checkbox"/>	
○ Prorez		W	+25.00	+25.05	-0.50	+0.50	+0.05	<input checked="" type="checkbox"/>	
○ Prorez		L	+44.98	+45.03	-0.50	+0.50	+0.05	<input checked="" type="checkbox"/>	
○ Rupa 2		Ø	+14.50	+14.52	-0.50	+0.50	+0.02	<input checked="" type="checkbox"/>	
■ GD&T - Ravnina 3		⌒	+0.00	+0.08	+0.00	+1.00	+0.08	<input checked="" type="checkbox"/>	
■ GD&T - Ravnina 2		⌒	+0.00	+0.17	+0.00	+1.00	+0.17	<input checked="" type="checkbox"/>	
■ GD&T - Ravnina 1		⌒	+0.00	+0.17	+0.00	+1.00	+0.17	<input checked="" type="checkbox"/>	
↔ RPS - Y4 - Pin		dT			-0.05	+0.05	-0.00	<input checked="" type="checkbox"/>	
↔ RPS - Y3 - Pin		dT			-0.05	+0.05	-0.00	<input checked="" type="checkbox"/>	
↔ RPS - X4 - Pin		dT			-0.05	+0.05	-0.00	<input checked="" type="checkbox"/>	
↑ Stezna tocka		cf	+0.00	???			???		
↑ Stezna tocka		dN			-0.05	+0.05	-0.13	<input checked="" type="checkbox"/>	-0.08
↑ RPS - Z4		dN			-0.05	+0.05	+0.00	<input checked="" type="checkbox"/>	
↑ RPS - Z2		dN			-0.05	+0.05	+0.00	<input checked="" type="checkbox"/>	
↑ RPS - Z1		dN			-0.05	+0.05	-0.00	<input checked="" type="checkbox"/>	
RPS									Length unit: mm

Izvješće o mjerenu: IOM- **Mjerenje deformabilnog proizvoda**

Datum izdavanja: 2020-09-21

Izvješće izdao: Luka Lukačić, bacc.ing.mech.



Naručitelj: Diplomski rad

Predmet mjerena: Door frame

Datum mjerena: 2020-08-12

Lokacija: Topomatika d.o.o.

Mjeritelj: Luka Lukačić

Rezultati mjerena: na stranicama 2 do 11

Mjerni sustav: ATOS 5

Mjerno područje: MV500 + Fotogrametrija MV1000

Serijski broj: 181039

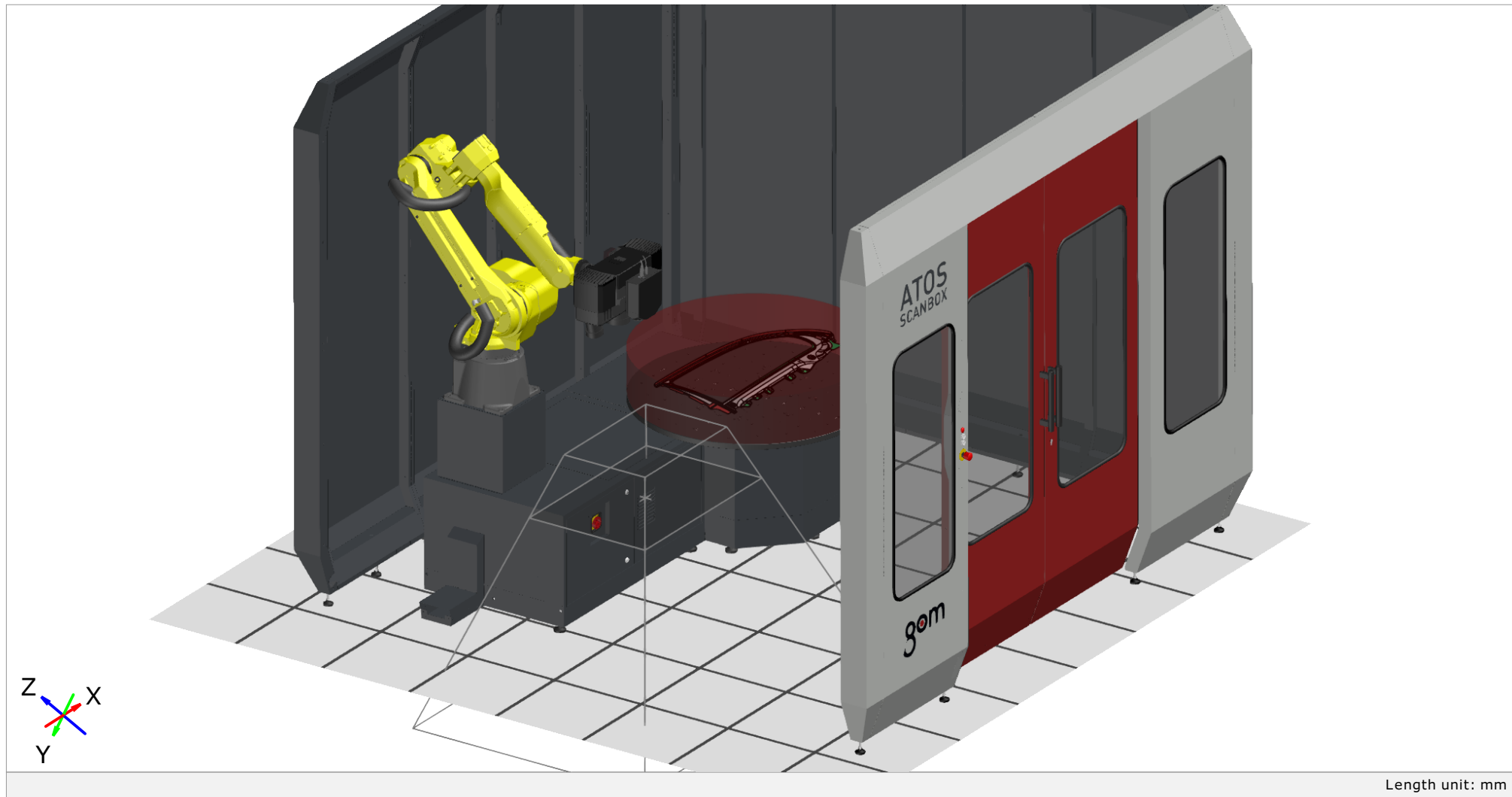
Temperatura i vlažnost: $22 \pm 1^\circ\text{C}$; $55\% \pm 10\%$

Napomena:

Naslovna.....	1
Sadržaj.....	2
Mjerna postava: ScanBox 5120 - ATOS 5 MV500 - PlusBox MV1000.....	3
CAD model i RPS elementi limenog proizvoda karoserije vrata automobila.....	4
RPS i Stezne točke na kontrolniku [Holding points - Y1, Y2, Y3, Z4/X6, Z5 --- Clamping points - Y7, Y8, Y9, Y10].....	5
Mapa boja - Horizontalno mjerjenje.....	6
Mapa boja - Horizontalno mjerjenje - bez utjecaja gravitacije.....	7
Mapa boja - Montazno stanje - dodan utjecaj gravitacije.....	8
Mapa boja - Montazno stanje - Virtualno stezanje.....	9
Mjerjenje dimenzija provrta lima	10
Tablični prikaz rezultata mjerena dimenzija provrta.....	11

Mjerna postava: ScanBox 5120 - ATOS 5 MV500 - PlusBox MV1000

3/11

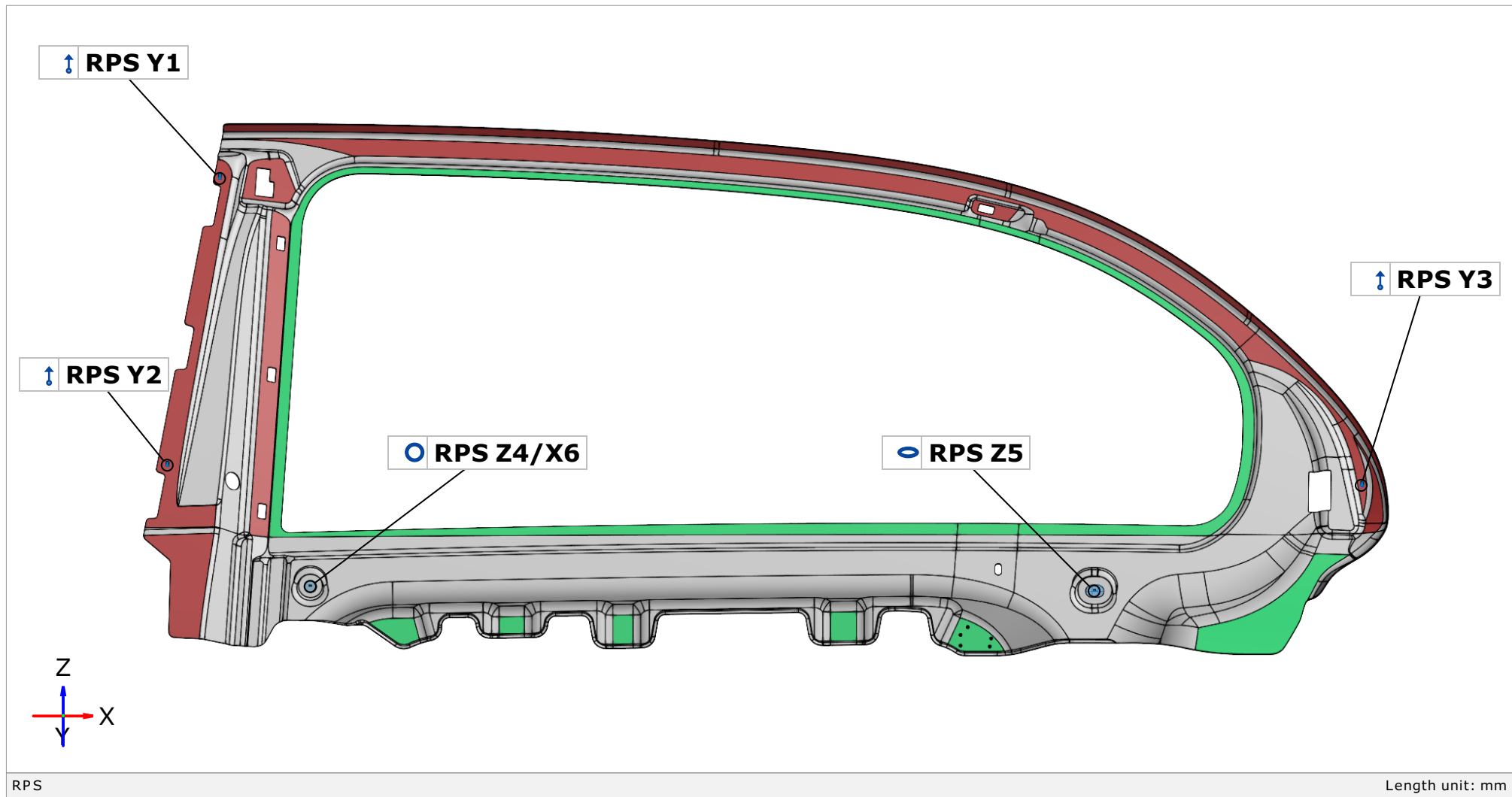


Ovaj dokument može se obnoviti samo u cijelosti. Djelomično obnavljanje moguće je samo uz pismeno odobrenje Topomatike d.o.o., uz navođenje broja pod kojim se vodi isto pismeno odobrenje.
This document may be reproduced only in full. It may be partially reproduced only by written approval of the Topomatika d.o.o., together with the quotation of the reference number of the same written.

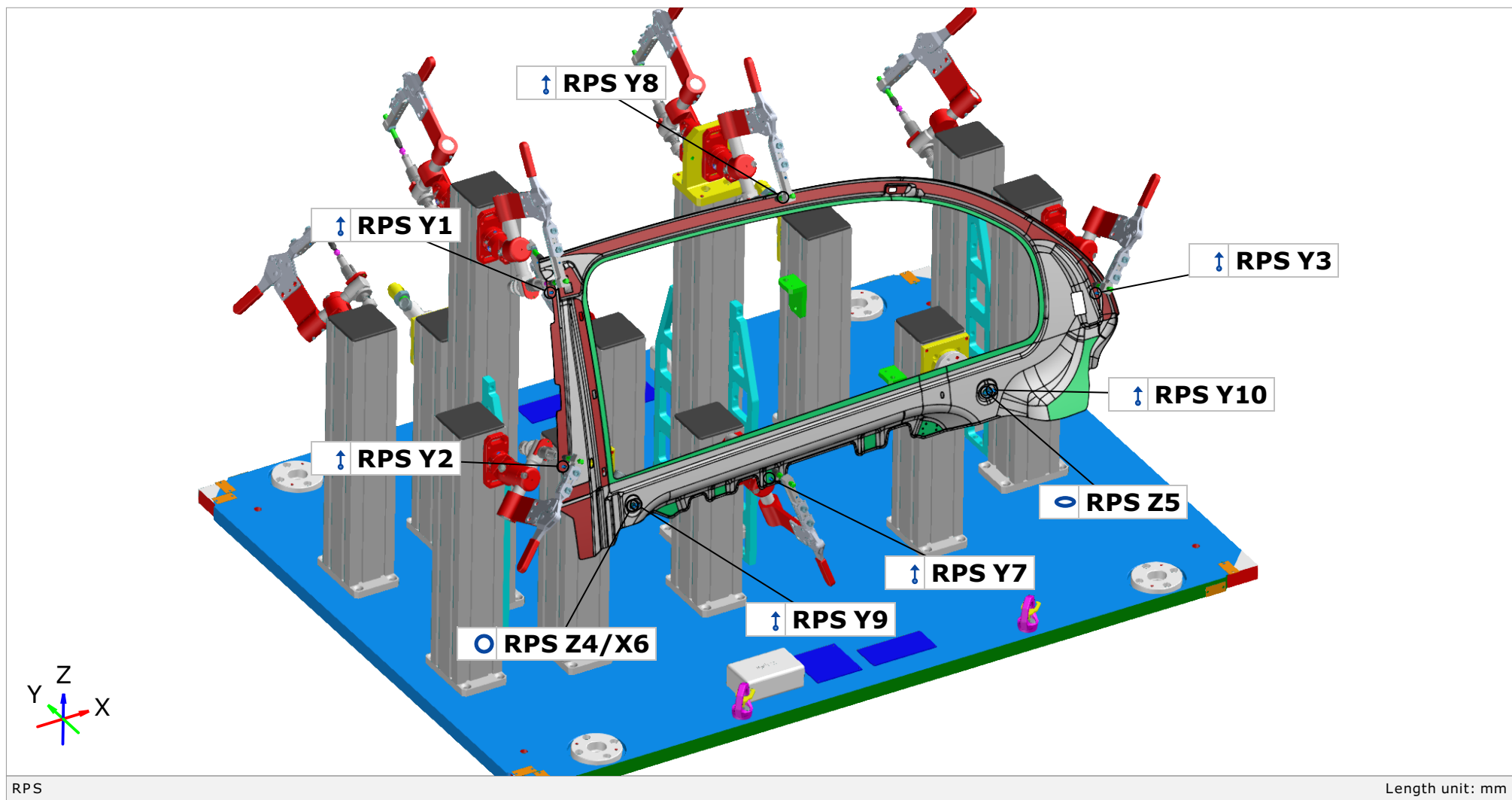


CAD model i RPS elementi limenog proizvoda karoserije vrata automobila

4/11

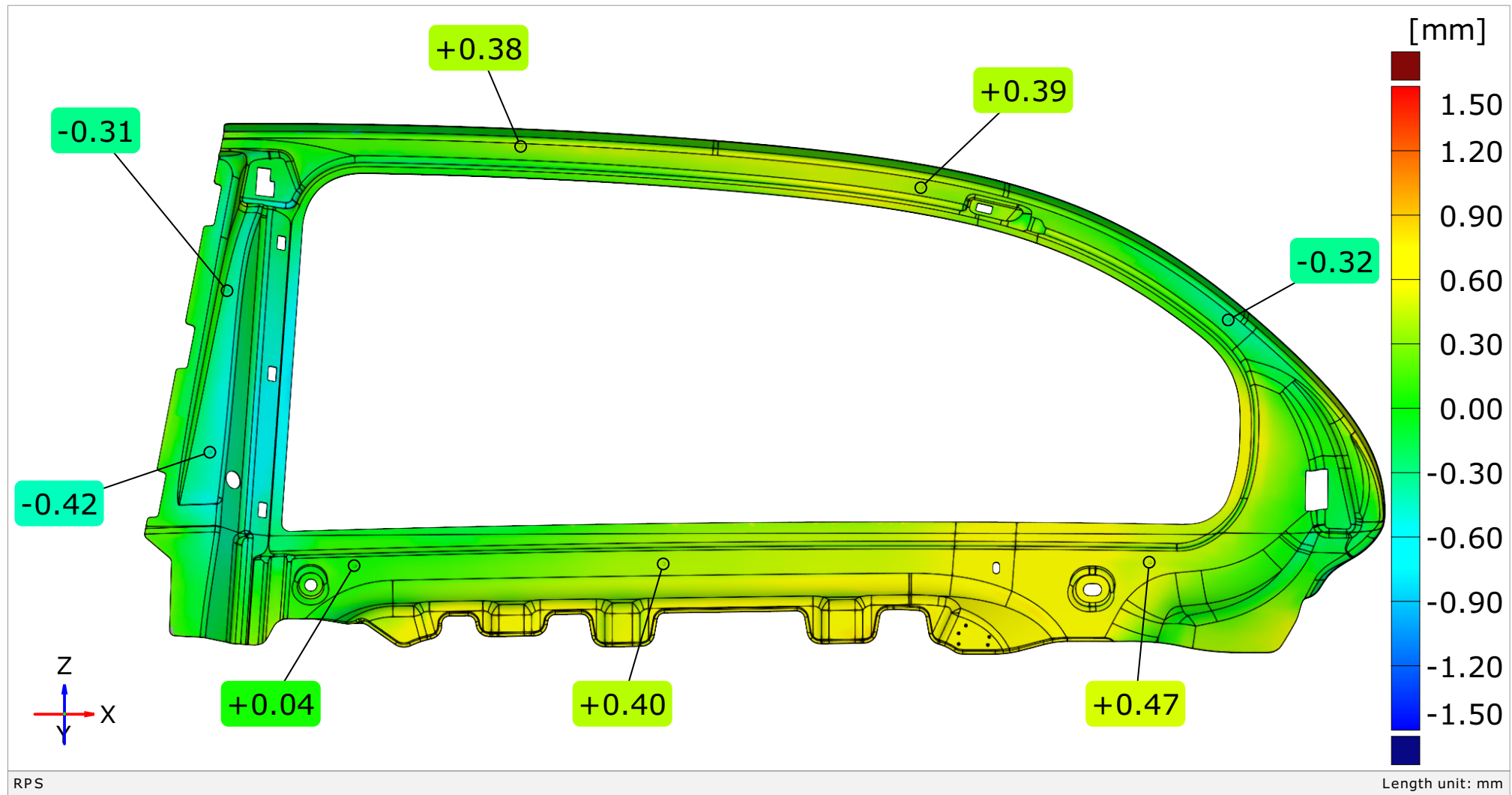


RPS i Stezne točke na kontrolniku [Holding points - Y1, Y2, Y3, Z4/X6, Z5 --- Clamping points - Y7, Y8, Y9, Y10] 5/11



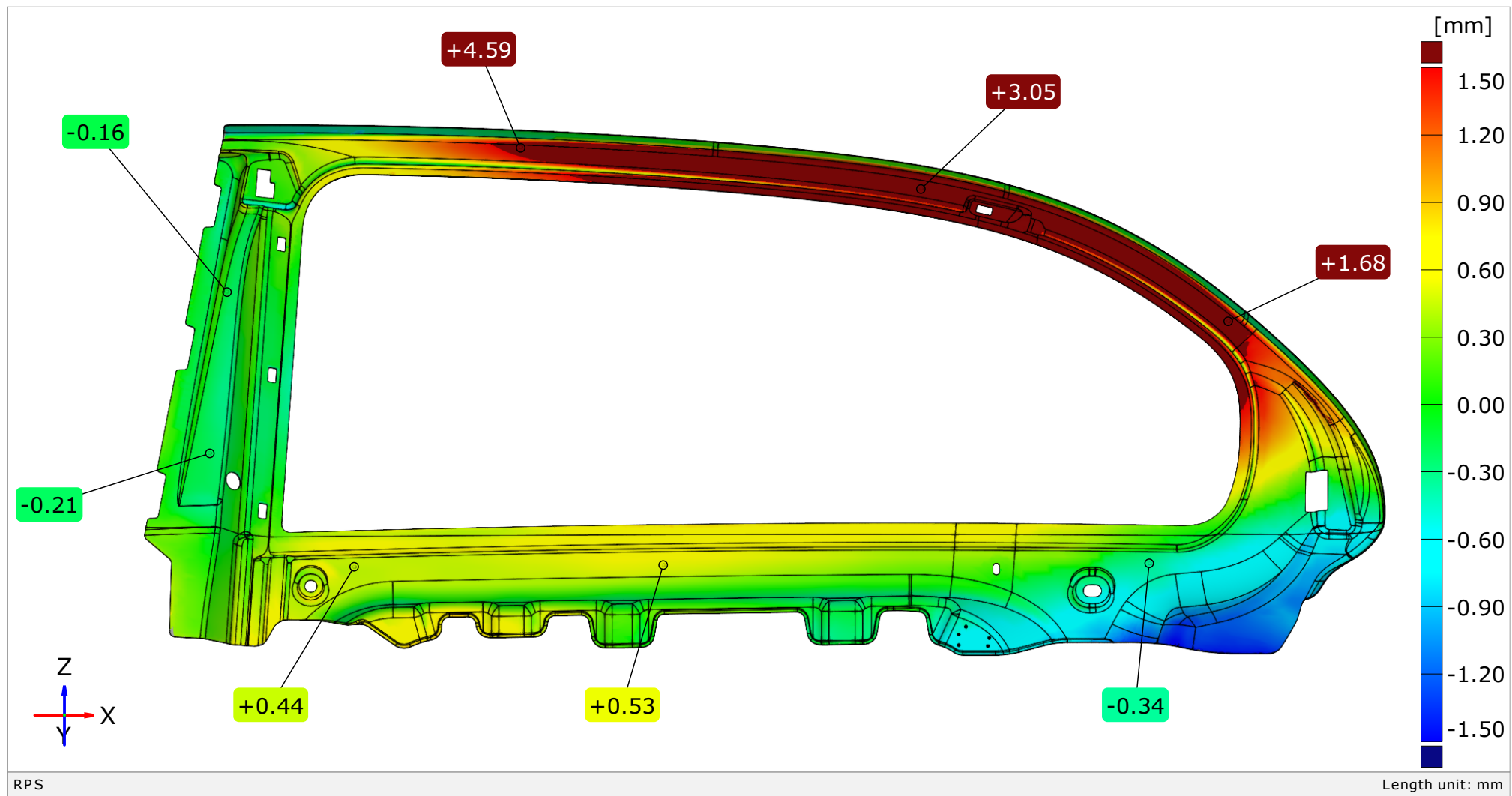
Mapa boja - Horizontalno mjerene

6/11



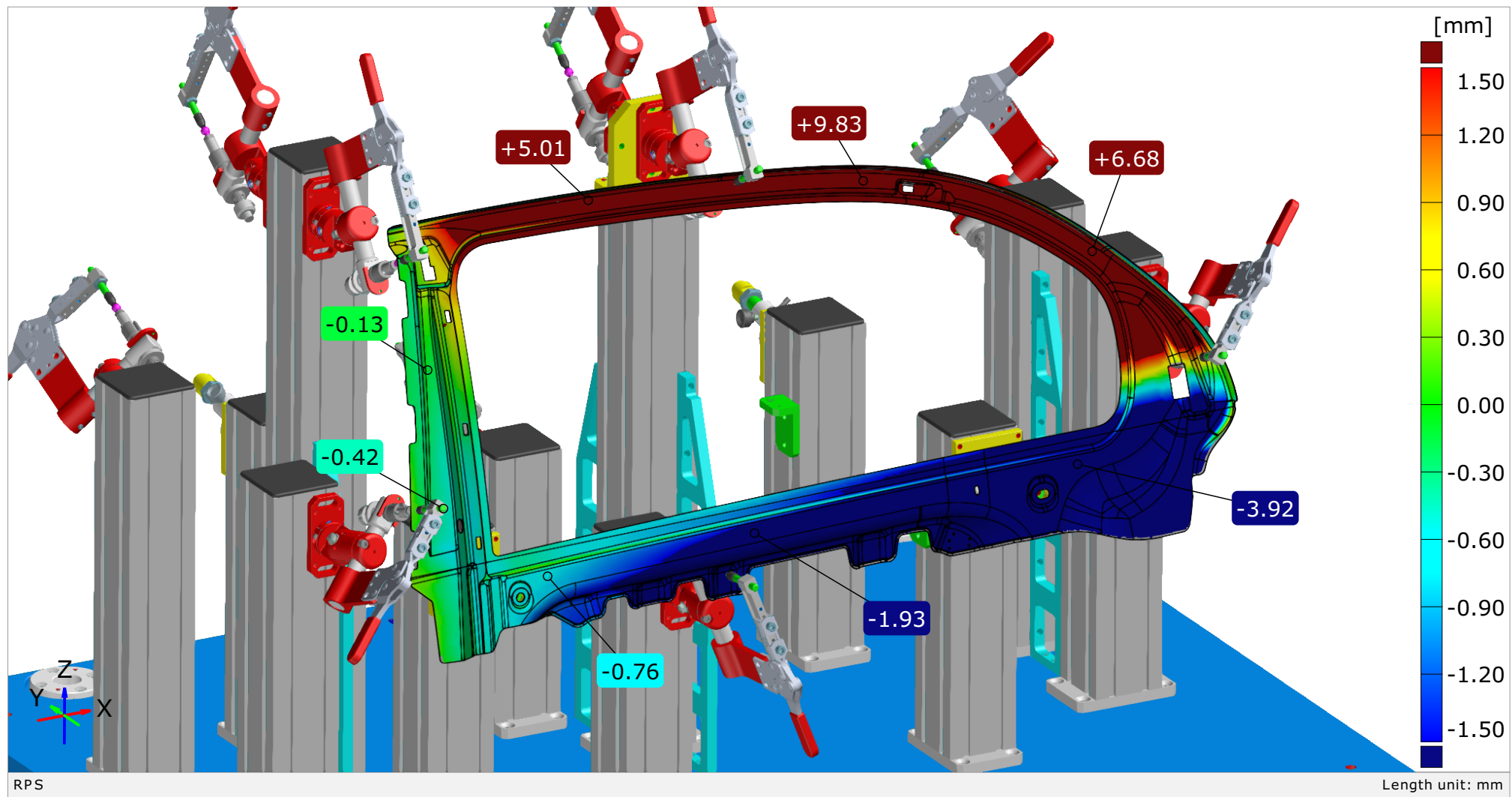
Mapa boja - Horizontalno mjerene - bez utjecaja gravitacije

7/11



Mapa boja - Montazno stanje - dodan utjecaj gravitacije

8/11

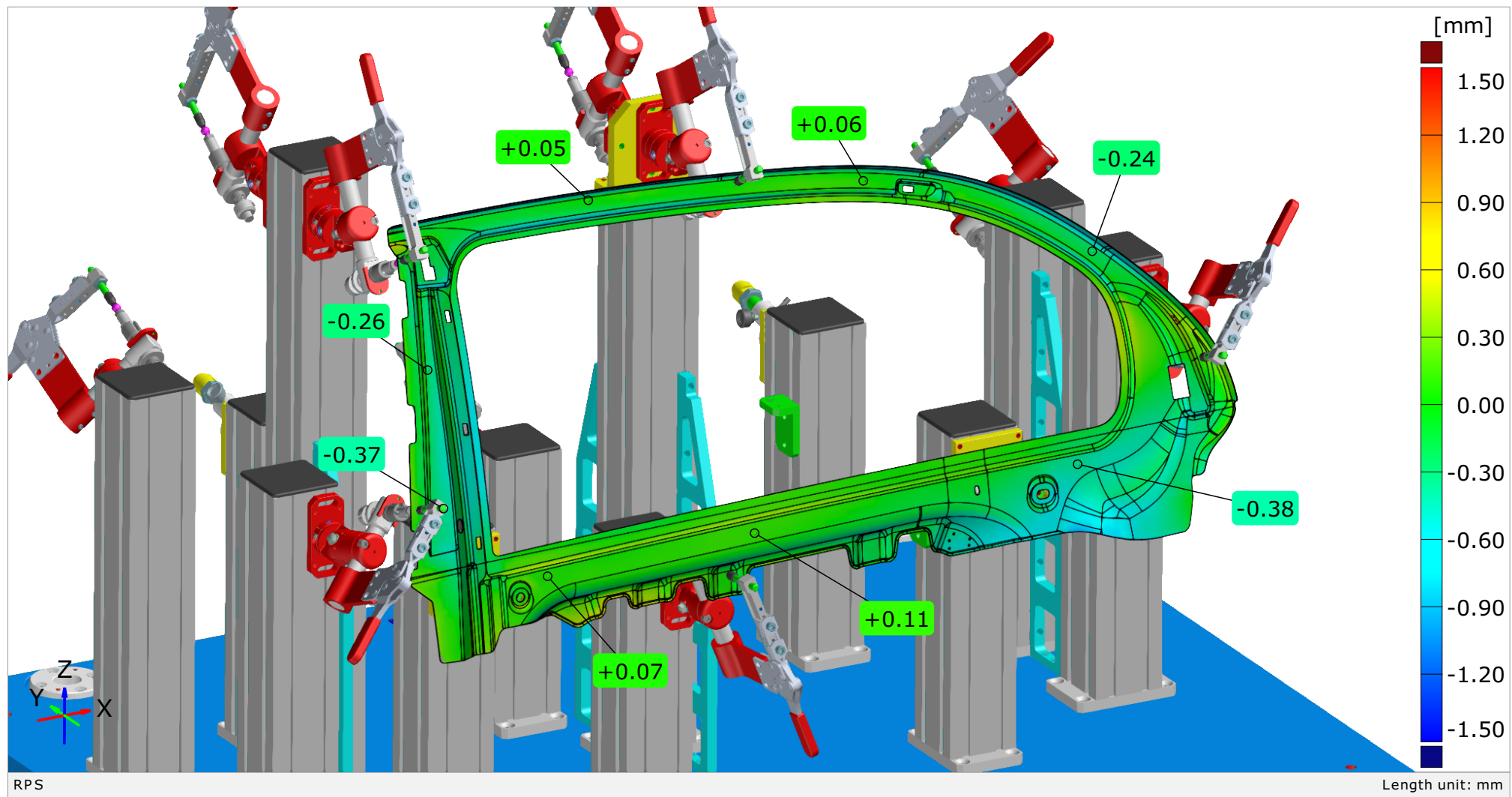


Ovaj dokument može se obnoviti samo u cijelosti. Djelomično obnavljanje moguće je samo uz pismeno odobrenje Topomatike d.o.o., uz navođenje broja pod kojim se vodi isto pismeno odobrenje.
This document may be reproduced only in full. It may be partially reproduced only by written approval of the Topomatika d.o.o., together with the quotation of the reference number of the same written.



Mapa boja - Montazno stanje - Virtualno stezanje

9/11

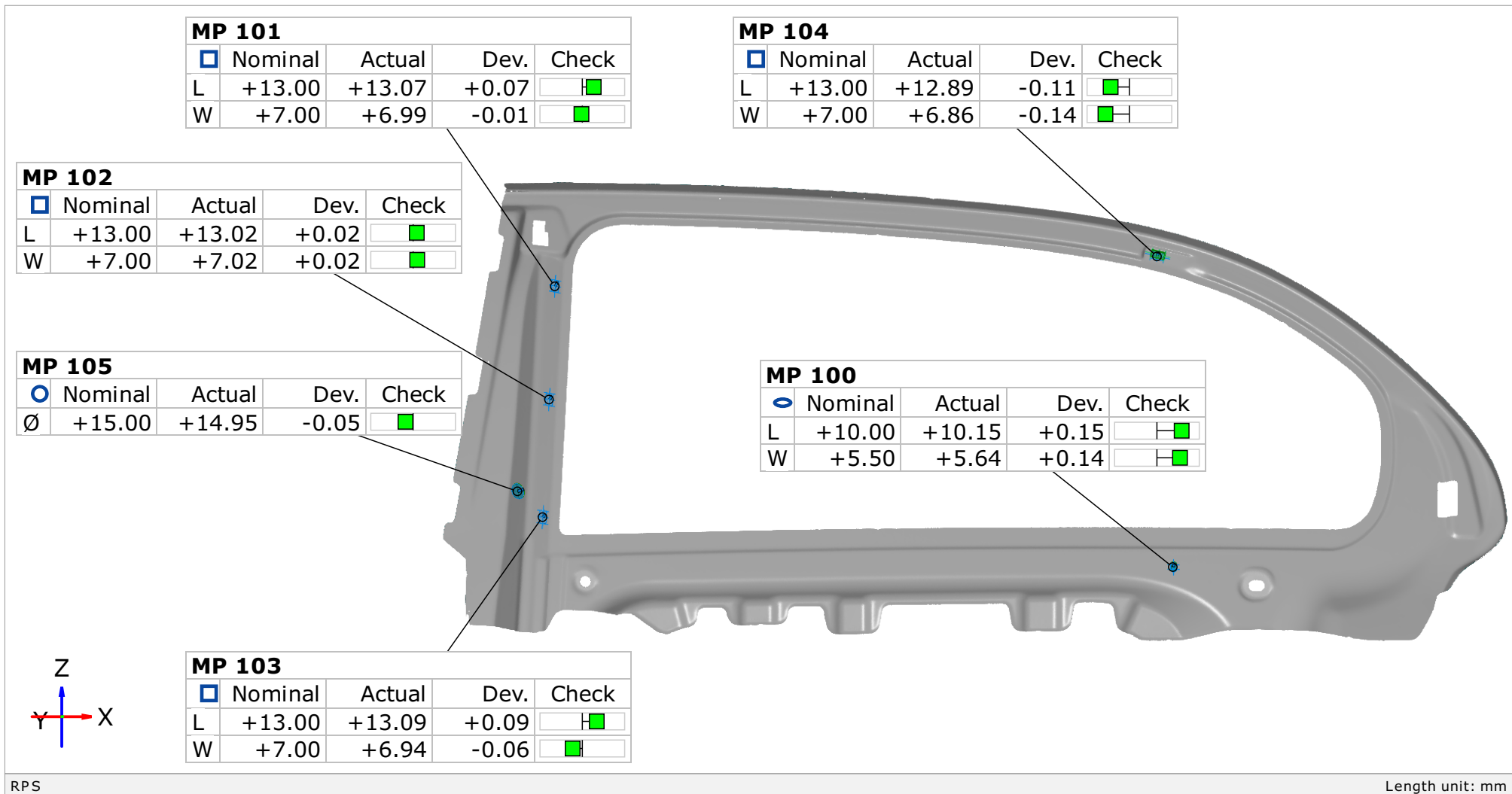


Ovaj dokument može se obnoviti samo u cijelosti. Djelomično obnavljanje moguće je samo uz pismeno odobrenje Topomatike d.o.o., uz navođenje broja pod kojim se vodi isto pismeno odobrenje.
This document may be reproduced only in full. It may be partially reproduced only by written approval of the Topomatika d.o.o., together with the quotation of the reference number of the same written.



Mjerenje dimenzija prvrta lima

10/11



Tablični prikaz rezultata mjerena dimenzija pravila

11/11

Element	Datum	Property	Nominal	Actual	Tol -	Tol +	Dev	Check	Out
○ MP 105		Ø	+15.00	+14.95	-0.20	+0.20	-0.05	<input checked="" type="checkbox"/>	
○ MP 100		L	+10.00	+10.15	-0.20	+0.20	+0.15	<input checked="" type="checkbox"/>	
○ MP 100		W	+5.50	+5.64	-0.20	+0.20	+0.14	<input checked="" type="checkbox"/>	
□ MP 101		L	+13.00	+13.07	-0.20	+0.20	+0.07	<input checked="" type="checkbox"/>	
□ MP 101		W	+7.00	+6.99	-0.20	+0.20	-0.01	<input checked="" type="checkbox"/>	
□ MP 102		L	+13.00	+13.02	-0.20	+0.20	+0.02	<input checked="" type="checkbox"/>	
□ MP 102		W	+7.00	+7.02	-0.20	+0.20	+0.02	<input checked="" type="checkbox"/>	
□ MP 103		L	+13.00	+13.09	-0.20	+0.20	+0.09	<input checked="" type="checkbox"/>	
□ MP 103		W	+7.00	+6.94	-0.20	+0.20	-0.06	<input checked="" type="checkbox"/>	
□ MP 104		L	+13.00	+12.89	-0.20	+0.20	-0.11	<input checked="" type="checkbox"/>	
□ MP 104		W	+7.00	+6.86	-0.20	+0.20	-0.14	<input checked="" type="checkbox"/>	

RPS

Length unit: mm